

75070

**YENİ SÜBSTİTÜE FTALOSİYANİNLERİN SENTEZİ VE
ÖZELLİKLERİNİN İNCELENMESİ**

DOKTORA TEZİ

Y.Müh. Şebnur MEREY

Tezin Enstitüye Verildiği Tarih : 4 Eylül 1998

Tezin Savunulduğu Tarih : 4 Kasım 1998

Tez Danışmanı : Prof.Dr. Özer BEKAROĞLU

Diğer Juri Üyeleri : Prof.Dr. Ahmet GÜL

Prof.Dr. Ali İhsan OKUR

Prof.Dr. Vefa AHSEN

Prof.Dr. Ulvi AVCIATA

ÖNSÖZ

İTÜ Fen-Edebiyat Fakültesi, Kimya Bölümünde çalışma hayatımı başladığım andan itibaren her türlü imkani sağlayan, değerli önerileriyle yol gösteren tez yöneticim Hocam sayın Prof.Dr. Özer BEKAROĞLU'na;

Çalışmalarım süresince, yardımlarını gördüğüm Prof.Dr. Ahmet GÜL, Prof.Dr. Ali İhsan OKUR, Doç.Dr. Ali CiHAN, Doç.Dr. Makbule KOÇAK ve Tüm Anorganik Kimya Anabilim Dalı elemanlarına teşekkürü bir borç bilirim.

TÜBİTAK, TBAG-1608 projesi kapsamında yapılmış olan bu çalışmada yardımlarından dolayı TÜBİTAK'a teşekkür ederim.

İstanbul, 1998

Şebnur MEREY

İÇİNDEKİLER

	<u>SayfaNo</u>
ÖNSÖZ	ii
KISALTMALAR	v
ŞEKİL LİSTESİ	vii
ÖZET	xii
SUMMARY	xiii
BÖLÜM 1. GiRiŞ	1
BÖLÜM 2. GENEL BİLGİLER	4
2.1 Ftalosiyaninler	4
2.1.1 Ftalosiyaninlerin Uygulamaları	7
2.1.2 Ftalosiyaninlerin Sentez Yöntemleri	17
2.1.2.1 Simetrik ftalosiyaninlerin sentezi	17
2.1.2.2 Asimetrik ftalosiyaninlerin sentezi	22
2.1.3 Ftalosiyaninlerin Reaksiyon Mekanizmaları	25
2.1.4 Ftalosiyaninlerin Saflaştırma Yöntemleri	30
2.1.5 Ftalosiyaninlerin Kimyasal Özellikleri	31
2.1.6 Ftalosiyaninlerin Fiziksel Özellikleri	32
2.1.7 Ftalosiyaninlerin Sübstansiyon Reaksiyonları ve Türevleri	36
2.1.8 Ftalosiyaninlerin Redoks Reaksiyonları	37
2.1.9 Polimerik Ftalosiyaninler	38
2.1.10 Ftalosiyaninlerin Spektral Özellikleri	41
2.1.11 Yeni Tip Ftalosiyaninler	46
2.2 Çalışmanın Amacı	57
BÖLÜM 3. KULLANILAN MADDE VE ALETLER	59
3.1 Maddeler	59
3.2 Aletler	59
BÖLÜM 4. DENEYSEL KISIM	60
4.1 Başlangıç Maddelerinin ve Yeni Maddelerin Sentezi	60
4.1.1 5,6-Dikloro-1,3-izobenzofurandion Sentezi	60

4.1.2	5,6-Dikloro-1H-izoindol-1,3 (2H)-dion Sentezi	60
4.1.3	4,5-Dikloro-1,2-benzendikarboksamid Sentezi	61
4.1.4	4,5-Dikloro-1,2-disiyanobenzen Sentezi (1)	61
4.1.5	2-(2'Piridil)benzotiazolin Sentezi (2a)	62
4.1.6	2-Metil-2-(2'-piridil)benzotiazolin Sentezi (2b)	62
4.1.7	2-[N-(2'-pikolil)amino]fenilmerkaptan Sentezi (3a)	63
4.1.8	2-{N-[1-(2'-piridil)ethyl]amino}fenilmerkaptan Sentezi (3b)	63
4.1.9	4-[2-{N-(2'-pikolil)amino}fenilsülfanil]-5-kloro-1,2-disiyanobenzen Sentezi (4a)	64
4.1.10	4-[2-{N-[1-(2'-piridil)ethyl]amino}-fenilsülfanil]-5-kloro-1,2-disiyanobenzen Sentezi (4b)	65
4.1.11	Metalsız Ftalosiyanın Sentezi (5a)	65
4.1.12	Metalsız Ftalosiyanın Sentezi (5b)	66
4.1.13	Çinko(II) Ftalosiyanın Sentezi (6a)	66
4.1.14	Çinko(II) Ftalosiyanın Sentezi (6b)	66
4.1.15	Nikel(II) Ftalosiyanın Sentezi (7a)	67
4.1.16	Nikel(II) Ftalosiyanın Sentezi (7b)	67
4.1.17	Lutesyum Bis(ftalosiyanın) Sentezi (8a)	69
BÖLÜM 5. SONUÇLAR VE YORUMLAR		70
5.1	2- {N-[1-(2'-piridil)ethyl]amino}fenilmerkaptan (3b)	71
5.2	Dinitril Türevleri (4a-4b)	75
5.3	Metalsız Ftalosiyanınlar (5a-5b)	84
5.4	Çinko(II) Ftalosiyanınlar (6a-6b)	90
5.5	Nikel(II) Ftalosiyanınlar (7a-7b)	97
5.6	Lutesyum Bis(ftalosiyanın) (8a)	101
KAYNAKLAR		107
ÖZGEÇMIŞ		108

KISALTMALAR

Å	: Angström
APT	: Attached proton test (Bağlı proton test)
CR	: Crown ether (Taç eter)
DBN	: 1,5-Diazabicyclo[4.3.0]non-5-ne(pyrrolidino[1.2:a] 1,4,5,6-tetrahydropyrimidine)
DBU	: 1,8-Diazabicyclo[5.4.0]undec-ene(octahydropyrimido (1.2a)azepine)
DMF	: Dimetil formamid
DMSO	: Dimetil sülfovksit
EI	: Electron Impact (Elektron çarpması)
ESR	: Elektron spin rezonans
FAB	: Fast atom bombardment (Hızlı atom bombardımanı)
g	: Spekroskopik yarılma faktörü
G	: Manyetik alan
ΔH	: Çizgi genişliği
HPLC	: High pressure liquid chromatography (Yüksek basınçlı sıvı kromatografisi)
IR	: Infra-red
L	: Ligand
Ln	: Lantanit elementleri
LuPc₂	: Lutesyum bis(stalosiyananin)
M	: Metal
MS	: Kütle spektroskopisi

- NMR** : Nükleer magnetik rezonans
- Pc** : Ftalosiyanyin
- t-Bu** : tert-Butil (Tersiyer butil)
- THF** : Tetrahidrofuran
- TLC** : Thin layer chromatography (İnce tabaka kromatografisi)
- UV/VIS** : Ultraviyole/visible (Mor ötesi/görünür)

ŞEKİL LİSTESİ

	<u>Sayfa no</u>
Şekil 2.1 Porfirin (a), metalsiz (b), metallo (c) ftalosiyanipler	5
Şekil 2.2 Porfirazin (tetraazaporfirin) (a), naftalosiyani (b)	8
Şekil 2.3 α -LuPc ₂ 'nin (tetragonal form) kristal yapısının şematik gösterimi (a), LuPc ₂ 'nin molekül modellemesi (b)	10
Şekil 2.4 15-crown-5 içeren lutesyum bisftalosiyani [(CRPc) ₂ Lu]	11
Şekil 2.5 Lutesyum bisftalosiyani (a) ve onu oluşturan iki makrosikliğin radikalik yapısı (b,c)	12
Şekil 2.6 İki cam arasına konulmuş (C ₈ Pc) ₂ Lu kompleksi (a) ve 0.1mol dm ⁻³ TBAP* içeren diklorometan çözeltisine belirli indirgen ve yükseltgen redoks potansiyelleri uygulayarak elde edilmiş bir eletrokromik display'in fotoğrafı *TBAP: Tetrabutilamonyumperklorat (elektrolit olarak kullanılıyor)	13
Şekil 2.7 Singlet (¹ O ₂) ve triplet (³ O ₂) oksijenin elektron düzeni ve enerji seviyeleri	15
Şekil 2.8 Simetrik ftalosiyaniplerin sentez yöntemleri	18
Şekil 2.9 o-Siyanobenzamiddeden ftalosiyani sentezi	18
Şekil 2.10 Ftalonitrilden ftalosiyani sentezi	19
Şekil 2.11 1,3-Diiminoisoindolinden ftalosiyani sentezi	20
Şekil 2.12 Binükleer ve multinükleer ftalosiyani sentezi	21
Şekil 2.13 Ftalikanhidritten ftalosiyani sentezi	21
Şekil 2.14 Düşük sıcaklıkta ftalosiyani sentezi	22
Şekil 2.15 Asimetrik ftalosiyani sentezi	23
Şekil 2.16 Polimer üzerinden sentezlenen asimetrik ftalosiyani	23

Şekil 2.17 Subftalosiyanın üzerinden asimetrik ftalosiyanın sentezi	24
Şekil 2.18 Yarı simetrik ftalosiyanın sentezi	25
Şekil 2.19 Ftalosiyanın oluşumunda bir ara ürün	25
Şekil 2.20 Ftalosiyanın sentezinde oluşan ara ürünler	26
Şekil 2.21 Ftalosiyanlarda halka oluşum mekanizması	26
Şekil 2.22 Ftalosiyanın reaksiyon ortamından izole edilmiş bir ara ürün	27
Şekil 2.23 Metal ftalosiyanın sentezinde izole edilebilen bazı stabil ara ürünler	27
Şekil 2.24 2,9,17,24-tetra-t-butil çinko(II)ftalosiyanının oluşum mekanizması	28
Şekil 2.25 Ftalonitrilden alkoksit anyonu varlığında H_2PC sentezi	28
Şekil 2.26 Ftalonitrilden DBU varlığında metalsiz ftalosiyanın oluşumu	29
Şekil 2.27 Metallo ftalosiyanların kristal yapılarının şematik olarak gösterimi	33
Şekil 2.28 Ftalosiyanın molekülünün geometrik yapısının şematik gösterimi a) Kare düzlemsel, dört koordinasyonlu b) Kare tabanlı piramit, beş koordinasyonlu c) Tetragonal, altı koordinasyonlu	33
Şekil 2.29 Ftalosiyanların en düşük enerjideki rezonans yapısı	34
Şekil 2.30 Uranil ftalosiyanın (superftalosiyanın)	35
Şekil 2.31 Superftalosiyanının kristal yapısı	35
Şekil 2.32 A tipi polimerler	39
Şekil 2.33 İki boyutlu polimerik ftalosiyanın (Network polimer)	39
Şekil 2.34 B tipi polimer	40
Şekil 2.35 Tek boyutlu polimerik ftalosiyanın (şiş-kebab polimer)	40
Şekil 2.36 C tipi polimerler	41
Şekil 2.37 D tipi polimerler	41
Şekil 2.38 Metalsiz ftalosiyanının çeşitli çözüçülerdeki görünür bölge absorbsiyon spektrumu: a) kloroform, b) diklorometan,	

Şekil 2.39	c) piridin, d) etanol, e) 1- bütanol,f) metanol Bir bakır ftalosiyanyanın türevinin çeşitli çözüçülerdeki görünür bölge absorbsiyon spektrumu: a) kloroform, b) diklormetan c) piridin, d) etanol, e) butanol, f) metanol	42 43
Şekil 2.40	Lutesyum bisftalosiyanyanının $[LuPc_2]$ çeşitli çözüçülerdeki elektronik absorbsiyon spektrumu: a) diklormetan, b) aseton, c) metanol, d) su	45
Şekil 2.41	Lutesyum bisftalosiyanyanın $[LuPc_2]$ ve monoftalosiyanyanın $[LuPcX]$ türevinin UV/Vis spektrumu	45
Şekil 2.42	Taç eter sübstidue ftalosiyanyanının moleküler yapısı (M=Cu, 2H)	47
Şekil 2.43	Taç eter sübstidue IV-A grubu ftalosiyanyanların sentez şeması	47
Şekil 2.44	$HO(CRPcSi-O)_n-H$ polimeri (n=25)	48
Şekil 2.45	Taç eter sübstidue polimerik ftalosiyanyanın	49
Şekil 2.46	12 Üyeli makrosiklik sübstidue polimerik ftalosiyanyanları	49
Şekil 2.47	{2,3,9,10,16,17,23,24-Oktakis[[(benzo-15-crown-5) 4'-il]oksimetil]ftalosiyanyanato} bakır(II)	50
Şekil 2.48	Tetrakis(benzo-15-corwn-5)ftalosiyanyanları	51
Şekil 2.49	Monoaza taç eter sübstidue ftalosiyanyanları	51
Şekil 2.50	15 Üyeli, tetraaza-makrohalkaları ile sübstidue Cu(II) ftalosiyanyanın ve kompleksleri	52
Şekil 2.51	Diazatrioksa halkaları ile sübstidue ftalosiyanyanları	53
Şekil 2.52	16 Üyeli diazaditiya-makrohalkaları içeren ftalosiyanyanları	53
Şekil 2.53	Tetraalkiltiyo sübstidue ftalosiyanyanın	54
Şekil 2.54	Oktaalkiltiyo sübstidue ftalosiyanyanın	55
Şekil 2.55	Taç eter ve aza-makrohalkaları içeren asimetrik ftalosiyanyanları	55
Şekil 2.56	Heksakis(alkiltiyo) sübstidue asimetrik ftalosiyanyanların sentezi	56
Şekil 2.57	N-asetil $LuPc_2$ ve N-kuaternize $LuPc_2$	56
Şekil 4.1	Dinitril türevi 4b	65
Şekil 4.2	Metalsız ve metallo ftalosiyanyanların sentezi	68

Şekil 4.3	Lutesyum bis(ftalosiyantan)	69
Şekil 5.1	3b 'nin IR spektrumu	72
Şekil 5.2	3b 'nin ¹ H-NMR spektrumu	73
Şekil 5.3	3b 'nin kütle spektrumu	74
Şekil 5.4	4a 'nin IR spektrumu	76
Şekil 5.5	4a 'nin ¹ H-NMR spektrumu	77
Şekil 5.6	4a 'nin ¹³ C-NMR spektrumu	78
Şekil 5.7	4a 'nin kütle spektrumu	79
Şekil 5.8	4b 'nin IR spektrumu	80
Şekil 5.9	4b 'nin ¹ H-NMR spektrumu	81
Şekil 5.10	4b 'nin ¹³ C-NMR spektrumu	82
Şekil 5.11	4b 'nin kütle spektrumu	83
Şekil 5.12	5a 'nin IR spektrumu	85
Şekil 5.13	5a 'nin ¹ H-NMR spektrumu	86
Şekil 5.14	5b 'nin IR spektrumu	87
Şekil 5.15	5b 'nin ¹ H-NMR spektrumu	88
Şekil 5.16	5a (a), ve 5b (b)'nin UV/Vis spektrumları	89
Şekil 5.17	6a 'nin IR spektrumu	91
Şekil 5.18	6a 'nın DMSO içinde alınan ¹ H-NMR spektrumu (a), D ₂ O ilavesiyle gözlenen değişim(b)	92
Şekil 5.19	6b 'nin IR spektrumu	93
Şekil 5.20	6b 'nin ¹ H-NMR spektrumu	94
Şekil 5.21	6b 'nin kütle spektrumu	95
Şekil 5.22	6a (a), ve 6b 'nin (b) UV/Vis spektrumları	96
Şekil 5.23	7a 'nın IR spektrumu	98

Şekil 5.24 7b'nin IR spektrum	99
Şekil 5.25 7a (a), ve 7b'nin (b) UV/Vis spektrumları	100
Şekil 5.26 8a'nın IR spektrumu	103
Şekil 5.27 8a'nın DMSO içinde alınan $^1\text{H-NMR}$ spektrumu (a), D_2O ilavesiyle gözlenen değişim (b)	104
Şekil 5.28 8a'nın UV/Vis spektrumu	105
Şekil 5.29 8a'nın X-band ESR spektrumu	106

YENİ SÜBSTİTÜE FTALOSİYANİNLERİN SENTEZİ VE ÖZELLİKLERİİN İNCELENMESİ

ÖZET

Koordinasyon kimyasının önemli bir bölümünü teşkil eden sübstidue ve sübstidue olmamış ftalosiyaninlerin yüksek ısı, ışık, asit ve bazlara karşı olan dayanıklıkları, ftalosiyaninlerin kullanım alanlarının gelişen teknolojiye paralel olarak oldukça geniş bir alana yayılmasına neden olmuştur. Ftalosiyaninlerin boyalı, optik ve elektriksel malzemeler olarak ticari kullanım alanlarının yanında yakıt pilleri, kimyasal sensörler, solar piller, fotodinamik kanser terapi gibi yüksek teknolojik kullanım alanlarına uygulanmaları da her geçen gün artmaktadır. Sübstidue olmayan ftalosiyanin bileşikleri suda ve organik çözüçülerde hiç çözünmediklerinden ftalosiyanin kimyasındaki araştırmaların önemli bir hedefi de çözünür ürünler elde etmektir.

Bu çalışmada; N ve S atomlarını ihtiva eden iki farklı benzotiazolinin, metanolde aşırı miktarda NaBH_4 ile indirgenmesi yoluyla elde edilen üç dişli tiol ligandlarının 1,2-dikloro-4,5-disiyanobenzen ile reaksiyonu sonucunda iki yeni ftalonitril türevi sentezlenmiştir (4a, 4b). Bu ftalonitril türevleri ile periferal pozisyonlarda sübstidue olmuş metalsiz ve metallo ($M = \text{Zn}, \text{Ni}$) ftalosiyaninler elde edilmiştir. 4a'nın Lutesyum tuzu ile siklotetramerizasyonu sonucu elde edilen Lutesyum bis(ftalosiyanin) kompleksi bilinen organik çözüçülerin çoğunda kolaylıkla çözünmektedir.

Elde edilen yeni maddelerin yapıları; Elementel analiz, IR, UV-VIS, NMR, ESR, kütle spektrumları ve atomik absorbsiyon ölçümleri ile aydınlatılmıştır.

THE SYNTHESIS AND PROPERTIES OF NEW SUBSTITUTED PHTHALOCYANINES

SUMMARY

Coordination chemistry is the main branch of inorganic chemistry growing amazingly in the recent decades. The field of coordination chemistry of macrocyclic compounds has undergone spectacular growth since the beginning of this century. This growth has largely been due to the synthesis of a great number and variety of synthetic macrocycles which behave as coordinating ligands for metal ions. The development of the field of bioinorganic chemistry has also been an important factor in spurring the growth of interest in complexes of macrocyclic compounds since it has been recognized that many complexes containing synthetic macrocyclic ligands may serve as models for biologically important species which contain metal ions in macrocyclic ligand environments.

The study of the properties and synthesis of macrocyclic compounds may have important consequences for biochemistry since many important compounds in living systems, such as chlorophyl, hemoglobin etc., contain macrocyclic porphyrin rings attached to metal atoms. The biosynthesis of these compounds probably involves some form of template synthesis. A group of related compounds, the phthalocyanines, are isoelectronic with porphyrins. They are interesting not only as a model compounds for the biologically important porphyrins but also the commercially important intensively coloured metal complexes as dyes and pigments.

A phthalocyanine is a synthetic macrocyclic compound which was first reported in 1907 by Braun and Tcherniac, as a by-product of the preparation of o-cyanobenzamide from phthalamide and acetic anhydride at high temperature. The structure of this metal-free unsubstituted phthalocyanine was determined only about a quarter of century later by the comprehensive researches of Linstead and x-ray diffraction analyses of Robertson, while examining both metal-free phthalocyanine and metallophthalocyanines.

Phthalocyanines and their metal complexes have been investigated for many years in great detail. While in former times phthalocyanines were mostly used as dyes and catalysts, lately phthalocyanine chemistry has been undergoing a revival, because phthalocyanines and many of its derivatives exhibit properties which are of interest for applications in material science. Many metallophthalocyanines can be easily synthesized in high yields and purity, and also exhibit a high thermal stability.

As excellent blue and green dyestuffs, phthalocyanines are an important article of commerce used in inks (ballpoint pens), dyestuffs for textiles and colouring for plastic and metal surfaces, and are produced at over 50 000 tons per year. Phthalocyanines and structurally related compounds are of interest in non linear optics, as liquid crystals, as Langmuir-Blodgett (LB) films, in optical data storage, as electrochromic substances, as low dimensional metals, in rectifying devices, as gas sensors, as photosensitizers and as carrier generation materials in NIR. The substituted derivates of phthalocyanines function as active components in various processes driven by visible light: photoredox reactions and photooxidations in solution, activity in the therapy of cancer, photoelectrochemical cells, photovoltaic cells and electrophotographic applications.

An essential shortcoming of the phthalocyanines and structural analogues remained their low solubility in organic solvents which made difficult their application in solutions. The introduction into benzenic rings of the phthalocyanine molecule of voluminous substituents results in weakening of intermolecular interaction in the crystalline state and subsequently in a drastic increase of solubility in organic solvent, especially nonpolar ones. Moreover, the introduction of various substituents, such as amino, phenylthio groups, into benzenic rings turned out to be a powerful means of modifying the chemical and physical properties of the phthalocyanines.

Much attention has been paid to bis(phthalocyaninato) lanthanide complexes, especially lutetium complexes, $[LnPc_2]$ (Pc =phthalocyaninato dianion), because they are considered as the most promising electrochromic display materials, materials for molecular semiconductors, and attractive candidates for nonlinear optical applications. Considerable efforts have been made to investigate their spectral, electrochromic, electrochemical, magnetic and structural properties. Most of the interesting characteristics of the bis(phthalocyaninato)lanthanide complexes from their sandwich-type structure and the interplanar interaction between the π -electron system of the two Pc rings. Several structures of lutetium complexes have extensively been reported. From these structures, it is generally accepted that lutetium ion occupies the central position with eight coordinated nitrogen atoms of the two phthalocyaninato moieties, which are parallel and are in a staggered conformation relative to each other (approximately 45°).

Unlike diphthalocyanine of rare-earth elements (REE) which have been objects of extensive investigation because of their electrochromic properties, REE monophthalocyanine have scarcely been studied at all. Unlike lutetium diphthalocyanine, which is a stable free radical of the type $LuPc_2$, the monomeric phthalocyanines are diamagnetic over a wide range of temperatures. In the electrochemical reduction of the radical cations, there occurs the quantitative reduction of the original monophthalocyanine. This suggests the possibility of their use, together with diphthalocyanines as electrochromic compounds.

Pure substituted phthalocyanines are prepared by cyclotetramerization of substituted 1,2-dicyanobenzenes or 1,3-diimino-1H-isoindoles. If monosubstituted 1,2-dicyanobenzenes are employed, tetrasubstituted phthalocyanines with the disadvantage of a mixture of place isomers are obtained, 4,5-Disubstituted derivatives as starting materials lead to 2,3,9,10,16,17,23,24-identically substituted phthalocyanines. The two substituents of the 1,2-dicyanobenzenes had to be introduced at a precursor, and a longer preparative route is necessary for 2,3,9,10,16,17,23,24-octasubstituted phthalocyanines.

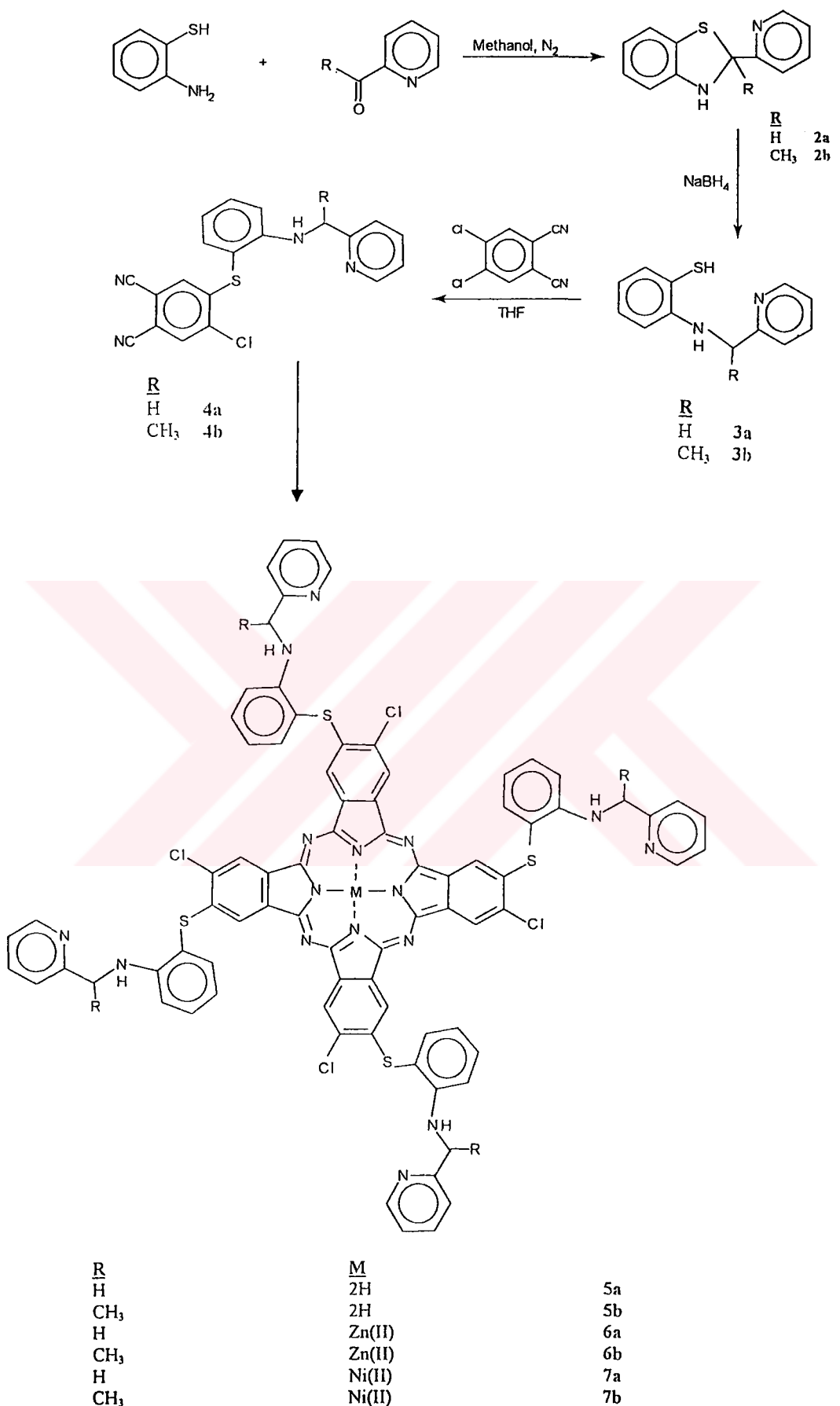
As donors, thioethers can be placed between oxa-or aza-groups. The phthalocyanines which has thioether groups on the benzene rings tend to exhibit stronger absorbtion bands at longer wavelengths in the near-IR region. The shift of Q bands to longer wavelengths is a common feature of these compounds.

In this work, firstly two different benzothiazoline with N and S donors **2a**, **2b** were obtained by condensation of 2-pyridine carboxaldehyde for an aldehyde and 2-acetylpyridine for a ketone with 2-aminobenzenthiol in alcohol according to the literature procedure. **2a** were reduced directly to the tridentate amine-thiol ligand **3a** with large excess of NaBH₄ in methanol by a reported procedure. **3b** was synthesized following similar procedure using **2b** in place of **2a**.

As in the case of most of the other substituted phthalocyanines, a rational method for the synthesis of this type of compound is to start with the dicyano derivative of the corresponding 4,5-disubstituted compound. Synthesis of dinitril derivatives **4a**, **4b** were the most important step in these reactions sequences (scheme 1). For this purpose, 1,2-dichloro-4,5-dicyanobenzene was reacted with **3a**, **3b** in tetrahydrofuran and K₂CO₃, which was used as the base for these nucleophilic aromatic displacement reactions. Same compounds were obtained in these reactions, when it was used K₂CO₃ or Na₂CO₃ as the base.

The IR spectrum of **4a** and **4b** the intense absorbtion band at 2225 cm⁻¹ is corresponding to the C≡N groups. The NH streching frequency are observed at 3390 cm⁻¹ in **3a** and 3395, 3390 cm⁻¹ in **3b**. Characteristic pyridine ring vibration bands are 1589 and 1568 cm⁻¹. Deuterium exchangeable NH protons appear as a singlet 6.47 ppm in **3a** and as doublets at 5.88 ppm in **3b**. In additional to the elemental analysis, ¹H and ¹³C-NMR results, the outcome of mass spectral analysis is critical in determining whether the ratio of the precursors are 1:1 after substitution reaction. The molecular ion peaks at m/z = 377 (**4a**) and 391 (**4b**) obtained by FAB technique for the dinitril derivatives provides a strong evidence for 1:1 reaction of the precursors. The fragment ion peaks also confirm the proposed structure.

The usual synthetic routes were applied to obtain the metal-free end the metallophthalocyanines. Conversion of dinitril derivatives **4a**, **4b** into metal-free phthalocyanines **5a**, **5b** was accomplished directly by refluxing these reagents in 2-N,N-dimethylaminoethanol to realize the cyclotetramerization. The reaction of **4a**, **4b** in a high-boiling solvent such as quinoline with chloride of Ni(II) and acetate of Zn(II) salts gave the monomeric metallophthalocyanines **6a**, **6b**, **7a**, **7b**. While metal-free and Zn(II) phthalocyanines are soluble in DMF and DMSO, Ni(II) phthalocyanines are insoluble in organic solvents.



Scheme 1 Synthesis of the metal free and metallophthalocyanines

A diagnostic feature of the phthalocyanine formation from the cyano derivatives is the disappearance of sharp intense C≡N vibration bands of the reactants in the IR spectrum. The NH groups in the inner core of the **5a**, **5b** give an absorbtion at 3290 cm⁻¹. The ¹H-NMR spectra of the new metal-free and Zn(II) phthalocyanines in deutored DMSO give rather broad peaks both as a consequence of aggregation of pc units and the presence of isomers resulting from the position of substituents with respect to each other. Also, the broad absorption around - 4.29 ppm in **5a**, **5b** can be easily ascribed to inner core protons while it disappears by D₂O exchange. These protons could not be observed for **6a**, **6b**. Chemical shifts due to the alkyl, aromatic and secondary amine group protons are the dominating signal in the spectra **5a**, **5b**, **6a**, **6b**.

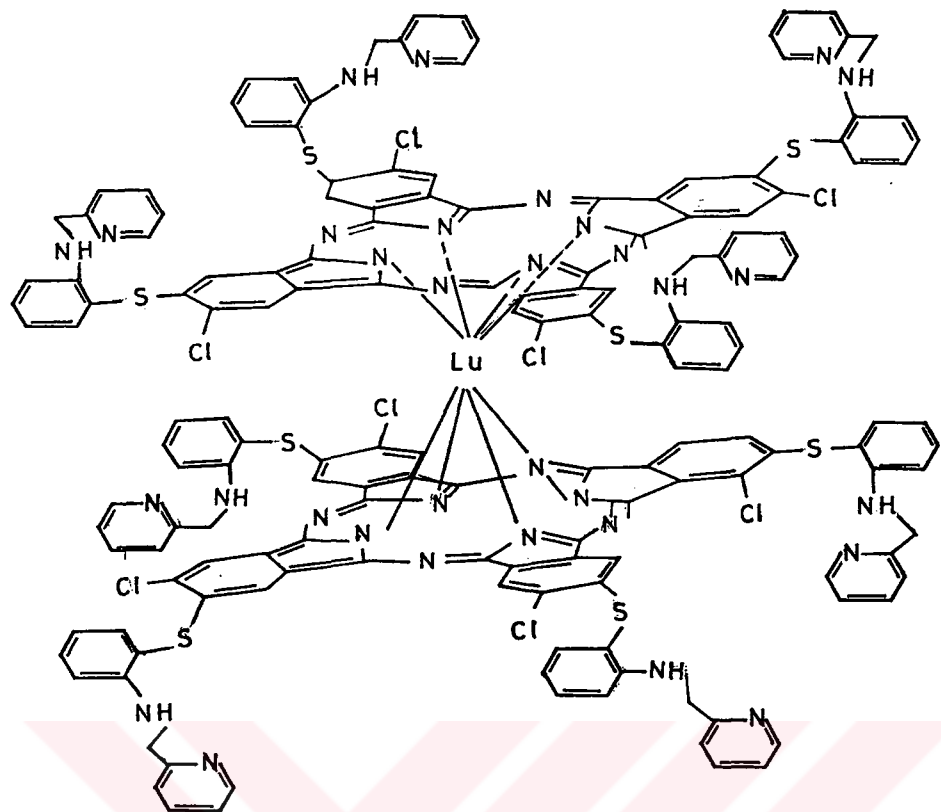
The visible absorbtion spectra of **6a**, **6b** in DMF shows the intense Q band absorption at 699 nm. There is a shoulder at slightly higher energy side for both products. The longer wavelength encountered for **5a**, **5b** is especially noteworthy to denote the shift of this intense band to near-IR region as a result of S-substitution. The lower solubility of **7a**, **7b** meant their spectra could be obtained only in concentrated sulphuric acid. The electronic spectra of **7a**, **7b** could show the solvent and S-substitution effects with the shift of lower-energy apsorption to the near-IR region ($\lambda_{\text{max}} > 800$ nm).

In the last of the study, lutetium bis(phthalocyanine), [LuPc₂], **8a** was synthesized from reaction of dinitrile derivative **4a** with Lu(OAC)₃. 3H₂O, 1,8-diazabicyclo[5.4.0]undec-7-ene(DBU) in 1-hexanol at reflux temperature for 20 h (Scheme 2). Purification was achieved by column chromatography (silica gel). The most obvious feature of complex **8a** is their high solubility in common organic solvents, e.g.chloroform, dichloromethane, THF, acetone, DMF and DMSO, etc.

The IR and ¹H-NMR spectra are consistent with the proposed structure. In the IR spectrum of **8a**, the characteristic band of LuPc₂ at 1472 cm⁻¹ is observed. The band observed at 820 cm⁻¹ for the **8a** is usually attributed to the central ion-ligand vibration. In the ¹H-NMR spectra of **8a**, aromatic protons are not observed distinctly in the neutral form, probably because of their proximity to the paramagnetic center. However a very broad signals between 6.97-8.25 nm could be attributed to the pyridine groups. These results confirm that the paramagnetism of LuPc₂ strongly perturbs the proton signals in the aromatic region.

The electronic spectra of **8a** contained a Q band at 698 nm, a Soret band 329 nm and a typical radical phthalocyanine anion band as a shoulder in the 400-500 nm region.

Electron spin resonance data for LuPc₂ confirmed the free-radical nature of the green LuPc₂ complex. The ESR spectrum of **8a**, which shows a strong signal at g=2.00373 confirms the presence of an unpaired spin and is consistent with the occurrence of a phthalocyanine radical.



Scheme 2 Lutetium bis(phthalocyanine)

BÖLÜM 1

GİRİŞ

Nobel ödülü sahibi Alfred Werner ile başlayan ve bugün dünyanın her tarafında geniş ölçüde çalışılan koordinasyon bileşikleri ve kimyasının hızla gelişmesinin önemli bir sebebi, deneylerin ortaya koyduğu çok sayıdaki verinin yorumlanması mümkün kılan teorilerin ortaya çıkması ve biyolojik sistemlerde, endüstride, kimyasal işlemlerde çok geniş kullanım alanlarına sahip olmasıdır.

Koordinasyon bileşikleri, ilaç sanayiinde, metal ekstraksiyonunda, elektrik ve elektronik sanayiinde, suların sertliğinin giderilmesinde, stabilizatör maddelerin sentezinde, flotasyon aracı olarak cevher zenginleştirmede, tekstil sanayiinde boyar madde, polimerizasyon reaksiyonlarında katalizör, antioksidant ve dezenfektan aracı olarak kullanılmaktadır. Ayrıca laboratuarlarda kalitatif ve kantitatif metal tayinlerinde kompleks yapıcı çeşitli maddeler kullanılmaktadır. Bütün biyolojik yapılarda da koordinasyon bileşiklerinin önemi bilinmektedir. Hayatın devamı için gerekli olan hemoglobindeki hemin prostetik grubu bunlara bir örnektir. Bitkilerdeki fotosentez olayını katalize eden ve hayatı öneme sahip olan yeşil pigment klorofil maddesi bir magnezyum pirol şelatıdır [1].

Bir koordinasyon bileşiği, genel olarak metal olan bir merkez atomu veya iyonunun çevresinin iyon ve moleküllerle sarılıp bağ teşkil edilmesiyle oluşur. Merkez atom veya molekülüne bağlı olan gruplara ligand denir. Ligandlar, metale verebilecek serbest elektron çiftleri içerdiginden Lewis bazıı, metaller ise Lewis asididir. Bağ oluşumunda ligandların donör özelliklerinin büyük önemi vardır. Eğer ligand sadece bir donör atom içeriyorsa, bu tür ligandlar tek dişli, iki donör atom içeriyorsa iki dişli, çok sayıda donör atom içeriyorsa bunlara da çok dişli ligandlar denir. Bir metal iyonu ile çok dişli ligand arasındaki bağlanma sonunda, bir veya daha fazla halka

oluşuyorsa meydana gelen molekül, şelat bileşiği olarak adlandırılır [2]. Metalloftalosiyanınlar şelat bileşiklerine verilecek örneklerden biridir.

Koordinasyon bileşiklerine başarı ile uygulanabilen bağ teorilerinden ilki Linus Pauling tarafından geliştirilen Valens bağ teorisidir. Bu teori; komplekslerin sadece hibrit türü ve geometrisi ile ilgilenir, metallerin ve elektronların elektriksel alandaki davranışlarını gözönüne almaz. Kristal alan teoride ise, metal-ligand arasındaki bağın iyonik karakter taşıdığı kabul edilerek Valens bağ teori ile açıklanamayan çok sayıda molekülün yapısını aydınlatmak mümkün olabilmiştir. Molekül orbital teoride ise, kimyasal bağın kuantum mekaniğine göre incelenmesi yapılrken molekül orbitaller, atomik orbitallerin linier kombinasyonu olarak kabul edilirler. Griffith ve Orgel tarafından geliştirilen Ligand alan teorisinde komplekslerin elektronik spektrumları kullanılarak yük transfer reaksiyonları aydınlatılmıştır [3].

Ligandların donör özelliklerinin bağ teşkilinde önemli olması sebebiyle koordinasyon bağı, metal ve ligandların özelliklerine bağlı olarak değişik kovalent ve iyonik karaktere sahiptir. Dolayısıyla bir kompleksin gösterdiği özellikler, reaksiyona giren metal iyonunun elektronik konfigürasyonuna, koordinasyon sayısına ve ligandin taşıdığı aktif grup veya gruplar ile moleküldeki diğer atomların elektron delokalizasyonuna bağlıdır [4].

Geçiş metal bileşikleri geçiş metalleri ile ana grup elementlerinden uygun olan bazlarının yaptığı bileşikler olup, çeşitli karakteristik özellikler gösterirler. Geçiş metalleri elementel halde ya da bileşiklerinde kısmen dolu d orbitalerine (veya f) sahip elementler olarak tanımlanırlar. Kendileri ve diğer metallerle oluşturdukları alaşımları sert ve yüksek erime sıcaklığına sahiptirler ve yüksek elektriksel ve ıslık iletkenlikleri vardır. Bunun yanısıra; her geçiş metalinin çeşitli oksidasyon kademeleri vardır, bileşikleri genellikle renklidir, bileşiklerinin bazıları paramagnetiktir, pekçok ligand ile geçiş metal komplekslerini oluşturur ve bileşikleri sıklıkla katalitik ve magnetik özellik gösterirler [5].

Yüksek oksidasyon kademesindeki geçiş metalleri, negatif veya polar karakterdeki ligandlarla elektrostatik bir şekilde; düşük oksidasyon kademesindekiler ise, metalin d orbitalindeki elektronlar vasıtasyyla bağlanırlar.

Günümüzün teknolojik ürünleri geçmişle karşılaştırıldığında hacimce daha küçük, daha dayanıklı ve daha güvenli olabilmektedir. Gün geçtikçe bu tür teknolojik ürünlere ilgi daha da artmakta ve üzerinde yoğun çalışmalar yapılmaktadır.

Teknolojik ürünler sınıfına giren metalsiz ve metallo ftalosiyenler 20.yüzyılın başlarında tesadüfen bulunmuş [6,7], 1930'lu yıllarda yapısı aydınlatılmış [8-13] ve uzun süre boyar madde ve pigment olarak kullanılmıştır.

Ftalosiyenlerin teknik yönden önem taşıyan dokuz kristal şekli mevcuttur. Solvent, temperatur, gibi faktörler bu kristal şekillerini etkiler. 1930'dan sonraki dönemde endüstriyel yönden önemli olan ftalosiyenlerin X-ışınları spektrumu, magnetik, katalitik, yükseltgenme, indirgenme, fotoiletkenlik, fotokimyasal, çözünürlük, dielektrik ve yarı iletken özellikleri araştırılmıştır [14].

Bu yüzyılın başlarından beri mavi ve yeşil boyar madde olarak üstünlükleri tespit edilmiş ftalosiyenler, boyalar ve pigment olarak matbaa mürekkeplerinde, plastik ve metal yüzeylerin renklendirilmesinde kullanılan ve yılda 50.000 tonun üzerinde üretimi yapılan en önemli endüstriyel ürünlerden biridir.

BÖLÜM 2

GENEL BİLGİLER

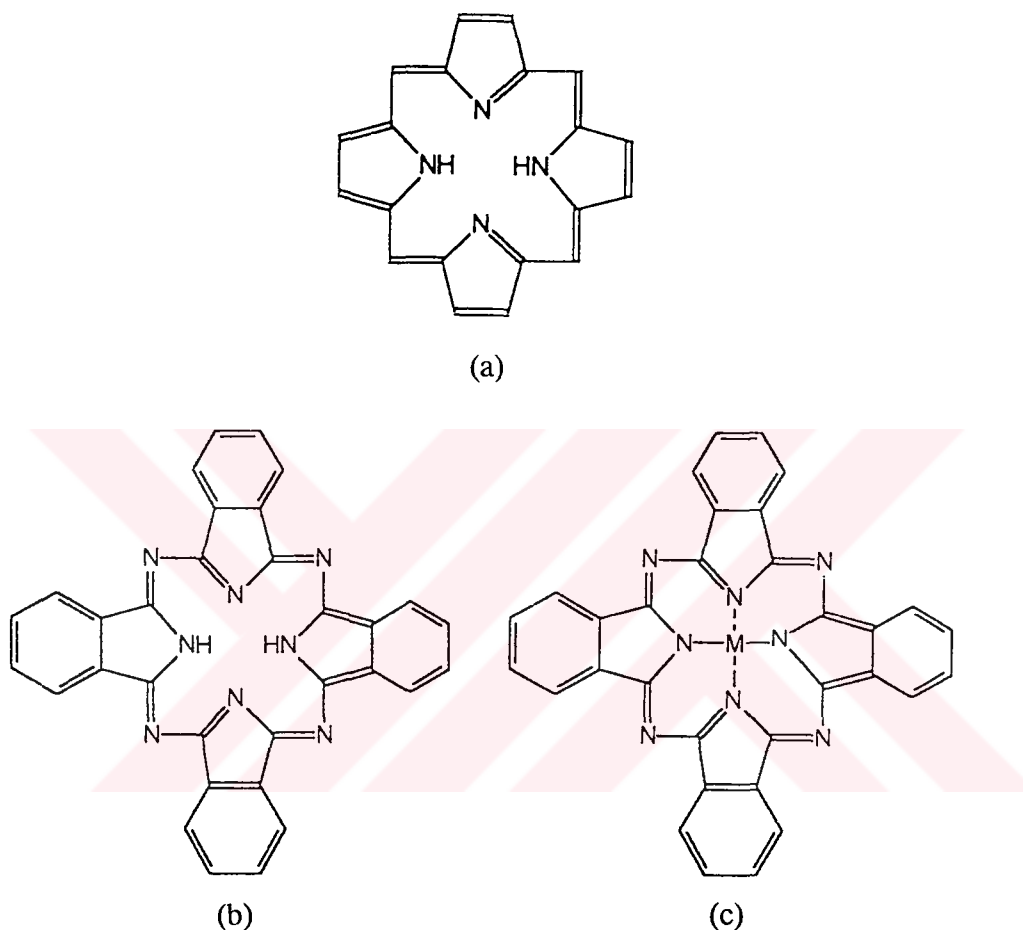
2.1 FTALOSİYANİNLER

Son yıllarda hem temel bilim, hem de uygulamalı çalışmalar üzerinde önemle durulan konulardan birini oluşturan ve bir tetraisoindol türevi olan ftalosiyaninler, zengin koordinasyon kimyası, kataliz ve malzeme bilimindeki uygulamaları ile de ilgi çekmektedir [15-19].

Tamamen sentetik ürünler olan ftalosiyaninlerin artık boyar madde ve pigment olarak değerlendirilmesi yanında enerji dönüşümü, elektrofotografi, optik veri toplanması, gaz sensör, sıvı kristal, lazer teknolojisi için kızılötesi boyar madde ve tek-dimensiyonlu metaller için pekçok uygulaması bulunmaktadır [20]. Öte yandan gösterdikleri yüksek simetri, düzlemsellik ve elektron delokalizasyonu nedeniyle ftalosiyaninler teorik kimyacılar ve spektroskopistler için önemli bir ilgi alanı oluşturmaktadır.

Bir tetraisoindol ligandının reaksiyon merkezi, kompleks oluşumuna doğrudan katılan pirol halkalarındaki dört azot atomu ile iki imino hidrojen atomundan oluşur [21]. Molekülün bir bütün olarak geometrisini ve elektron yapısını belirleyen bu reaksiyon merkezinin yapısı metal komplekslerinin oluşumundaki kinetik parametrelerin belirlenmesinde büyük öneme sahiptir. Elektronik yapı N-H bağlarının kararlılığını ve solvent molekülü bağlama yatkınlığını belirler. Koordinasyon oyuğunun boyutları ligand ve metal iyonu arasındaki uyumun derecesini ortaya koyar. Katı halde molekül geometrisinin değerlendirilmesinde X-ışını kristallografisi en güvenilir yöntemdir. Tetrabenztetraazaporfirin olarak da

adlandırabileceğimiz ftalosiyanipler (H_2Pc) bu yöntemle yapısı kesin olarak belirlenen bileşiklerdir. Yapı itibarıyla porfirin grubundan olan ftalosiyanipler dört izoindol biriminin kondenzasyon ürünü olarak görülebilirler. Porfirindeki metin grupları aza köprüleri ile yer değiştirmiştir (Şekil 2.1).



Şekil 2.1 Porfirin (a), metalsiz (b) ve metallo (c) ftalosiyanipler

Ftalosiyanipler genellikle ftalonitril, ftalikanhidrit, ftalimid veya bunların sübstansiyon ürünleri ile metal tuzları arasındaki reaksiyonlardan elde edilebilen, rengi maviden yeşile kadar değişebilen çok sağlam yapılı bileşiklerdir.

Sentetik olarak elde edilmiş en önemli boyar madde gruplarından olan ftalosiyanipler ilk kez 1907 yılında Braun ve Tcherniac isimli araştırmacılar tarafından ftalimid ve asetikanhidrit ile o-siyanobenzamid sentezi sırasında yan ürün olarak bir rastlantı sonucu bulunmuştur [22]. Daha sonra 1927 yılında Diesbach ve Von der Weid

tarafından piridin içinde o-dibromobenzen ve bakır (I) siyanürden, 1,2-disiyanobenzen sentezi sırasında bakır kompleksi olarak elde edilmiştir [23].

Ftalosiyanyanın eldesi ile ilgili bir başka çalışma da 1928 yılında Scottish Dyes Ltd. Şirketi Grangemouth tesislerinde emaye kaplama bir reaktörde, ftalik anhidrit ve amonyaktan ftalimid sentezi sırasında gerçekleşmiş ve safsızlık olarak nitelendirilen maddenin reaktörün hasarlı bölgelerinden açığa çıkmış olan demir metali ile oluşan bir kompleks olduğu Dunsworth ve Drescher tarafından kanıtlanmıştır [24].

Ftalosiyanyanın molekülünün gerçek yapısı 1929 yılında Linstead ve ekibinin çalışmaları sonucunda belirlenmiştir [25]. Linstead tarafından ftalosiyanyanın yapılarının porfirinlerle olan ilişkileri ve düzlemsel tabiatları araştırılmıştır.

Metalsiz ftalosiyanyanın üzerinde yaptığı çalışmalarla Robertson, H₂Pc molekülünün düzlemsel ve D_{2h} simetrisinde olduğunu göstermiştir [26]. Porfirinlerden farklı olarak tetragonal simetriden bu D_{2h} distorsiyonu, pirol halkalarındaki eşitsizlikten değil, komşu meso-azot atomlarında oluşturulan açılar arasındaki farklılıktan kaynaklanmaktadır. Metalsiz ftalosiyanyanında 16 üyeli iç makro halkayı oluşturan bağlar porfirinlerden daha kısıdadır, yani meso-azot atomları üzerinden gerçekleştirilen köprü bağları önemli ölçüde küçülmüştür. Bağ açıları ve bağ uzunluklarındaki bu azalmalar merkezi koordinasyon oyuğunun porfirinlere göre 0.026 nm daha küçülmesine yol açmıştır.

1935 yılında ilk kez büyük ölçüde üretilerek piyasaya verilen ve patenti alınan ftalosiyanyanın boyası bir ftalosiyanyanın polisülfonattır. 1935'li yillardan sonra da birçok fabrika tarafından endüstriyel üretimine başlanmıştır [27,28].

Periferal pozisyonlarına çeşitli sübstiyentlerin takılmasıyla farklı özellikler kazandırılmış olan birçok metalli ve metallo ftalosiyanyanının sentezi ve özelliklerinin incelenmesiyle ilgili çok sayıda yayın bulunmaktadır. Boyar madde olması dışında ftalosiyanyanların önemli özellikleri söyle sıralanabilir:

- Ftalosiyanyanlar kolayca kristallenebildiğinden ve süblimleşebildiğinden çok saf ürünler elde edilir.

- Kimyasal ve termik kararlılığa sahiptirler. Kuvvetli asitler ve bazlara karşı dayanıklıdır. Sadece kuvvetli oksidantların (dikromat veya seryum tuzları) etkisiyle ftalik asit veya ftalimide parçalanarak makrohalka bozunur. Havada 400-500 °C'ye kadar önemli bir bozunmaya uğramazlar. Vakumda metal komplekslerinin büyük bir kısmı 900 °C'dan önce dekompoze olmaz [29].
- Makrosiklik halkadaki 18 π elektronundan oluşan π -sistemi UV'de 400-700 nm arasında çok şiddetli absorbsiyonlara sebep olur.
- Periyodik tablodaki metallerin hemen hemen hepsiyle sentezlenebilen metallo ftalosiyaninerde, metal iyonu türünün fiziko kimyasal özellikler üzerinde önemli etkisi vardır. Makrosiklik yapının oksido-redüksiyon veya fotokimyasal uyarılmış haldeki özellikleri, kompleks olarak bağlanmış metalin tabiatına oldukça hassas bir şekilde bağlıdır.

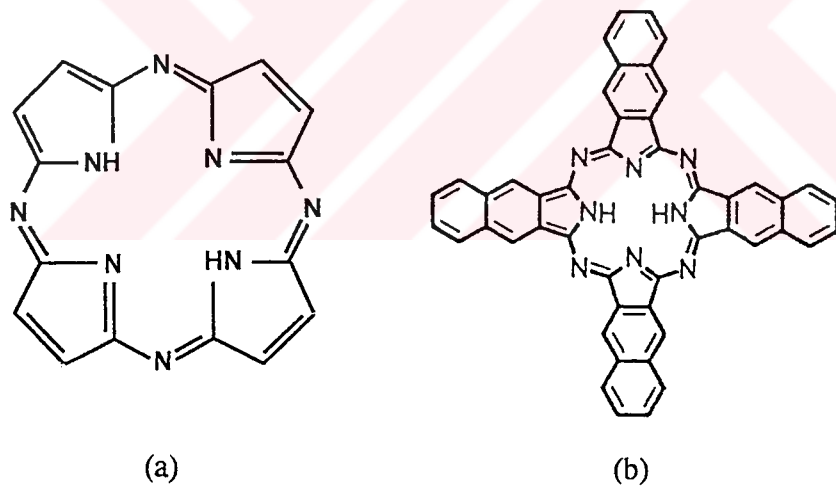
2.1.1 Ftalosiyaninerin Uygulamaları

"Fonksiyonel boyar maddeler" adı altında toplanan çeşitli boyar madde grupları ve benzer yapıdaki bileşikler, son yıllarda teknolojinin yeni alanlarındaki uygulamalarda çok geniş bir şekilde kullanılmaya başlanmıştır. Fonksiyonel boyar maddelerin uygulamalarını üç ayrı grupta toplamak mümkündür. Bu tip maddeler; belirli spektral bölgelerdeki seçici absorbsiyonlarından (ör; çözeltideki spektral özellikleri), moleküllerinin ortaklaşa etkileşimlerinden (katı haldeki özelliklerinden), molekül yapıdaki spesifik davranışlarından (ör; koordine olmuş metal iyonunun varlığı) yararlanılarak yeni uygulama alanları bulmaktadır [30].

Ftalosiyaniner ve yapısal analogları bu her üç tipteki uygulamanın yapılabildiği özellikleri gösteren ilginç bileşiklerden bazlarıdır. Linstead ve ekibinin ftalosiyaninerle ilgili çalışmaları ve çeşitli yayınlarından sonra, bu tip bileşikler geniş bir araştırma alanı bulmuşlardır [22,26,31]. Ancak ftalosiyaninerin organik çözücüerdeki az çözünürlükleri, çözeltideki uygulamalarına önemli bir engel teşkil etmektedir. Ftalosiyanin molekülündeki benzen halkalarına hacimli sübstituentler takılması kristal haldeki moleküllerarası etkileşimlerin zayıflamasına neden olmakta ve dolayısıyla organik solventerdeki (özellikle polar olmayan solventler) çözünürlüklerini belirgin bir şekilde artırmaktadır.

Bunun dışında, benzen halkalarına çeşitli sübstiyentler takılarak ftalosiyinlerin fiziksel ve kimyasal özellikleri önemli ölçüde değiştirilmektedir. Nitro [32], siyano [33] grupları, triflorometil, triflorometiltio gibi flor içeren sübstiyentler [34], fenilsülfonil [35] gibi elektronegatif gruplarla ftalosiyinlerin yükseltgen maddelere karşı stabilitesi artırılarak, bazı pratik kullanımılarına büyük bir önem kazandırılmıştır. Amino [36], alkoxi, fenoksi, feniltio [37,38] gibi elektron verici sübstiyentler elektronik spektrumda absorbsiyon bandlarının daha uzun dalga boylarına kaymasına neden olmuştur; çözelti içinde ftalosiyin özelliklerinin tartışılmrasında en önemli nokta olarak düşünülen Q-bandındaki bu değişim oldukça önemlidir.

Ftalosiyinlerin en yakın yapısal analogları porfirazin, tetraazaporfirin ve naftalosiyinlerdir (Şekil 2.2). Makrosiklik halka üzerinde çeşitli sübstiyentler içeren türevlerinin sentezleri için çok sayıda yeni metod geliştirilmiştir[39].



Şekil 2.2 Porphrazin (tetraazaporphyrin) (a) , naftalosiyin (b)

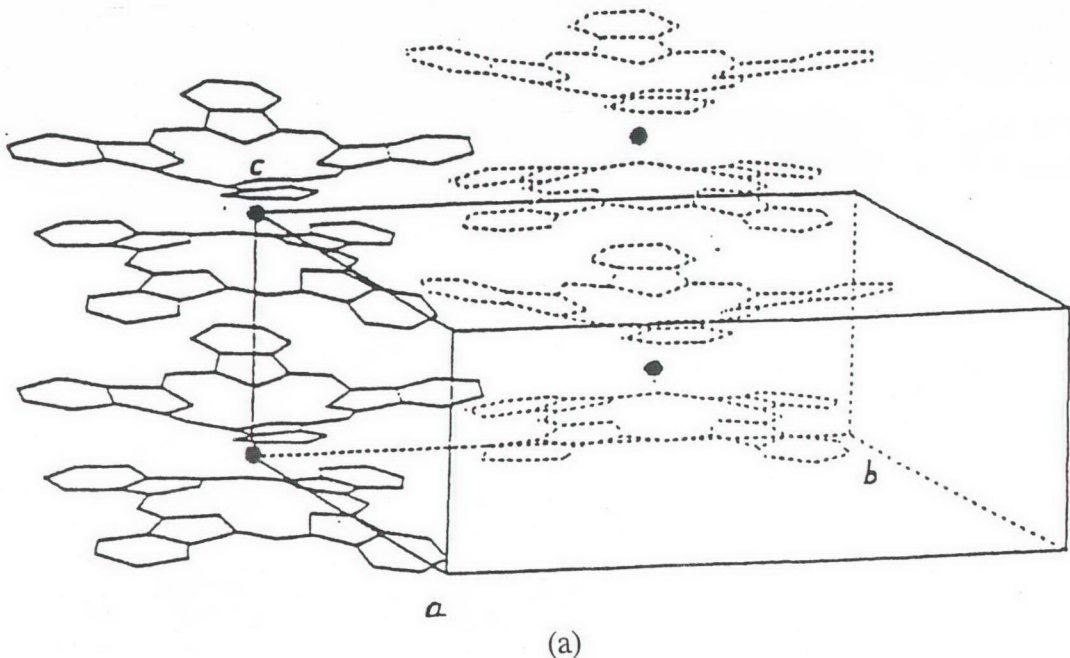
Ftalosiyin ve analogları üzerindeki yapısal değişiklikler 400 nm'den 2200 nm'e kadar uzanan geniş bir spektral bölgede şiddetli elektronik absorbsiyona neden olur. Bu özellik çeşitli optik filtrelerin-katı ve sıvı-hazırlanmasına olanak sağlar. Absorblayıcılarla doyurulabilen bu tip optik filtreler kuantum elektronikinde "dev" pulslarının ortaya çıkarılmasında oldukça yaygın bir şekilde kullanılmaktadır [40].

Laser dalga boylarında şiddetli absorbsiyon yapan bileşikler projeksiyon displaylerde ve laser adreslenmiş depolama sistemlerinde, sıvı kristal ev sahibi (host) materyellerde çözünebilen konuk (guest) boyar maddeler olarak kullanılabilmektedir [38]. Boyar maddelerin etkisiyle laser enerji absorbsiyonu, saydam sıvı kristalin optik özelliklerini değiştirebilen lokal ısınmaya neden olmaktadır.

Ftalosiyanyan türevlerinin redoks özellikleri de oldukça enteresandır. Ftalosiyanyan komplekslerinin kolaylıkla indirgenebilip, yükseltgenebilmeleri elektrokromik ftalosiyanyanların bu özellikleriyle yakından ilişkilidir. En iyi bilinen elektrokromik ftalosiyanyanlar nadir toprak metallerinin (lantanitler) bisftalosiyanyanlardır. Nadir toprak metallerinin bisftalosiyanyan komplekslerinin direk sentezi, genel formülü LnPc_2 olan nötral yeşil bir ürün ve genel formülü LnHPc_2 ile verilen nötral mavi bir ürün ile sonuçlanabilir. Bu nötral mavi ürün, LnPc_2 'nin elektrokimyasal çalışmalarında gözlenen ve indirgeme ürünü olan $[\text{Pc}^2\text{Ln}^{3+}\text{Pc}^2^-]$ anyonuna tekabül etmektedir [41] ve (Pc^2^-) anyonundan dolayı spektral özellikleri mono ftalosiyanyanlere benzemektedir.

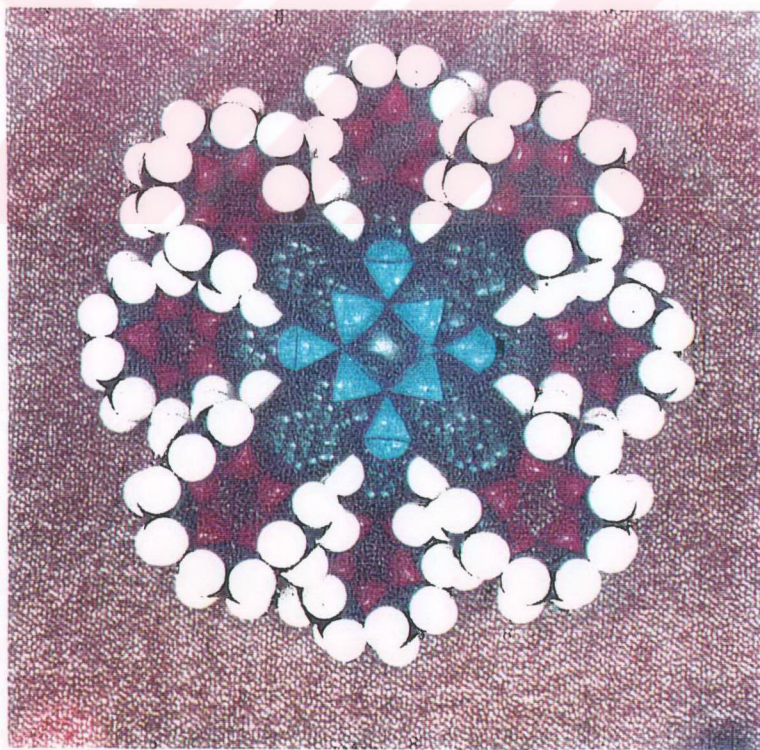
Nadir toprak metallerinin monoftalosiyanyan kompleksleriyle yapılan elektrokimyasal çalışmalar, bisftalosiyanyanlarla birlikte elektrokromik bileşikler olarak kullanılmasının mümkün olabileceği göstermiştir [42]. Lantanit bisftalosiyanyanların hazırlanış metodlarına bağlı α , β , γ , LnPc_2 gibi kristal yapıları mevcuttur. Bu kristal yapılar arasında oldukça küçük farklılıklar vardır. (Şekil 2.3)'de α - LuPc_2 (α -Lutesyum bisftalosiyanyan) kristal yapısı görülmektedir. α -formda paralel iki ftalosiyanyan halkası birbirine göre 45° lik açı yapmaktadır. α -kristal formu için bu açı 41° dir.

Nötral radikalik yapısı Lantanit bisftalosiyanyan'ı spektral, elektrokromik, elektrokimyasal, magnetik ve yapısal olarak birtakım özellikler kazandırmaktadır. Bu özellikler molekülün sandviç yapısından ve her iki ftalosiyanyan halkasındaki π -elektron sistemleri arasındaki düzlemler arası etkileşimden ileri gelmektedir.



(a)

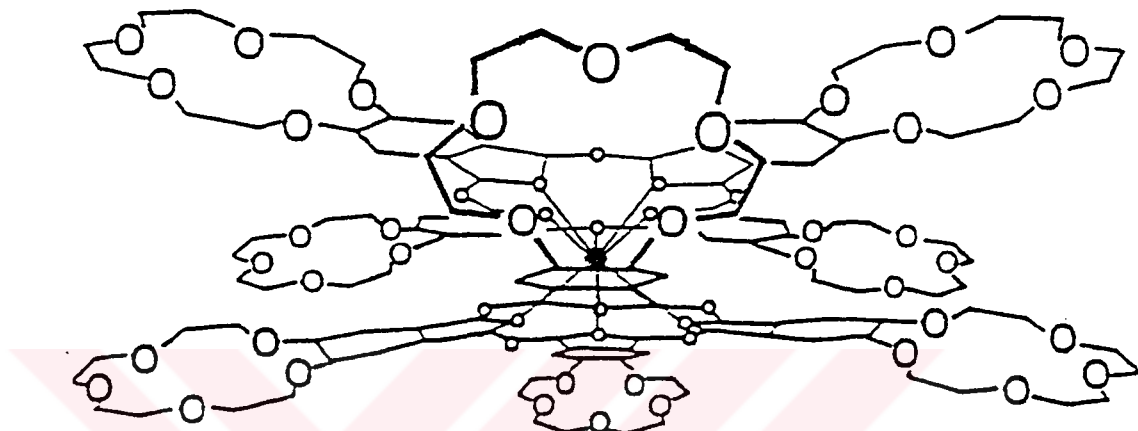
$(15C5)_8Pc_2Lu$



(b)

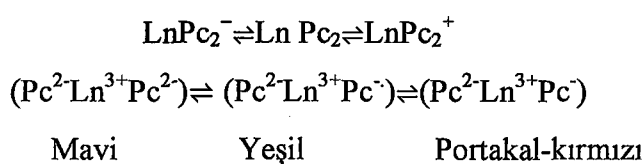
Şekil 2.3 α -LuPc₂'nin (tetragonal form) kristal yapısının şematik gösterimi (a), LuPc₂'nin molekül modellemesi (b)

Bu bileşiklerin elektrokromik özellik gösterdiklerinin ortaya çıkmasıyla birlikte bu maddelere olan ilgi çok artmıştır. Çok sayıda sübstitüe ve sübstitüe olmayan nadir toprak mono ve bisftalosiyenler sentezlenmiş ve bunların çeşitli yapısal özellikleriyle redoks formlarının özellikleri üzerinde birçok çalışma yapılmıştır (Şekil 2.4) [43,44].

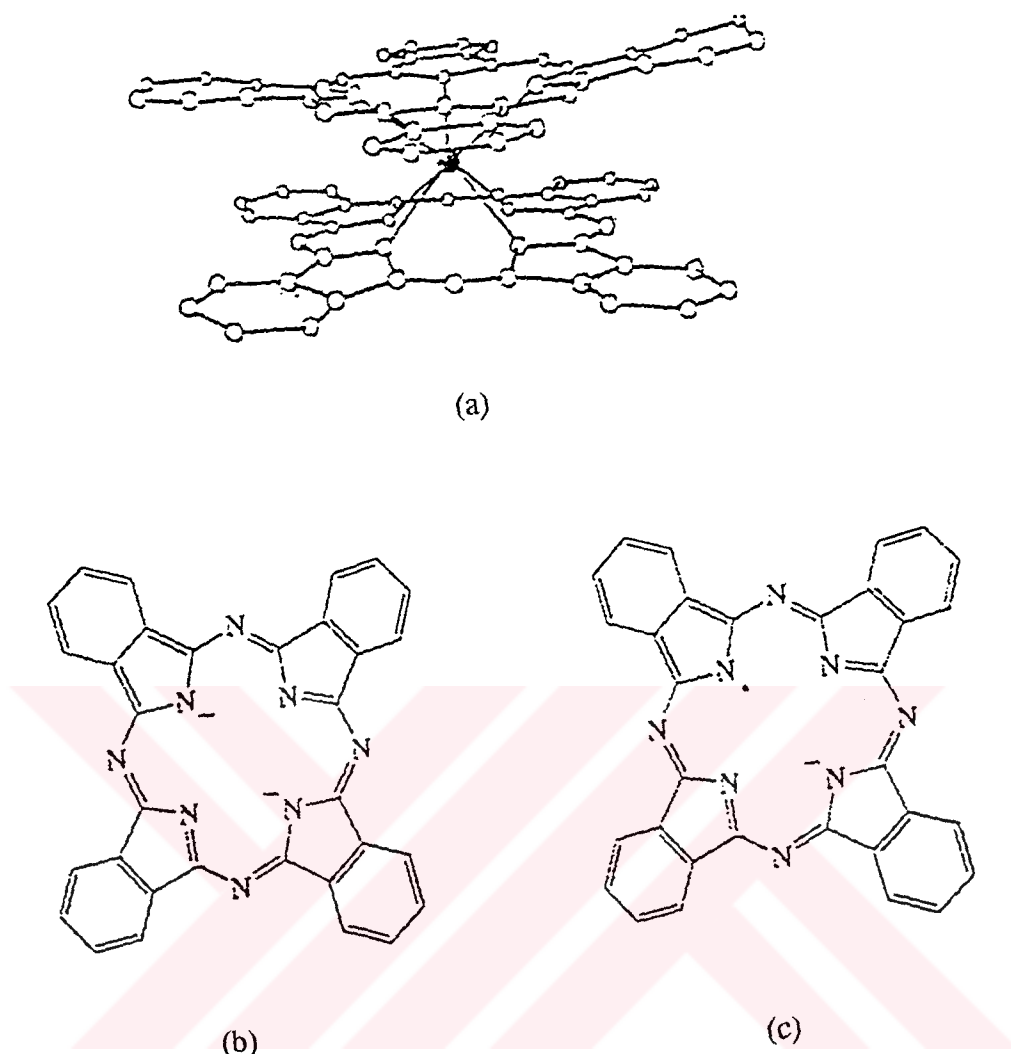


Şekil 2.4 15-crown-5 içeren Lutesyum bisftalosiyenin $[(\text{CRPc})_2\text{Lu}]$

1970'li yılların başında yapılan elektrokimyasal çalışmalar sonucunda Lantanit bisftalosiyenin (LnPc_2) molekülünün birkaç redoks halinin olduğu bulunmuştur. LnPc_2 molekülünün elektrokromik dönüşümleri:

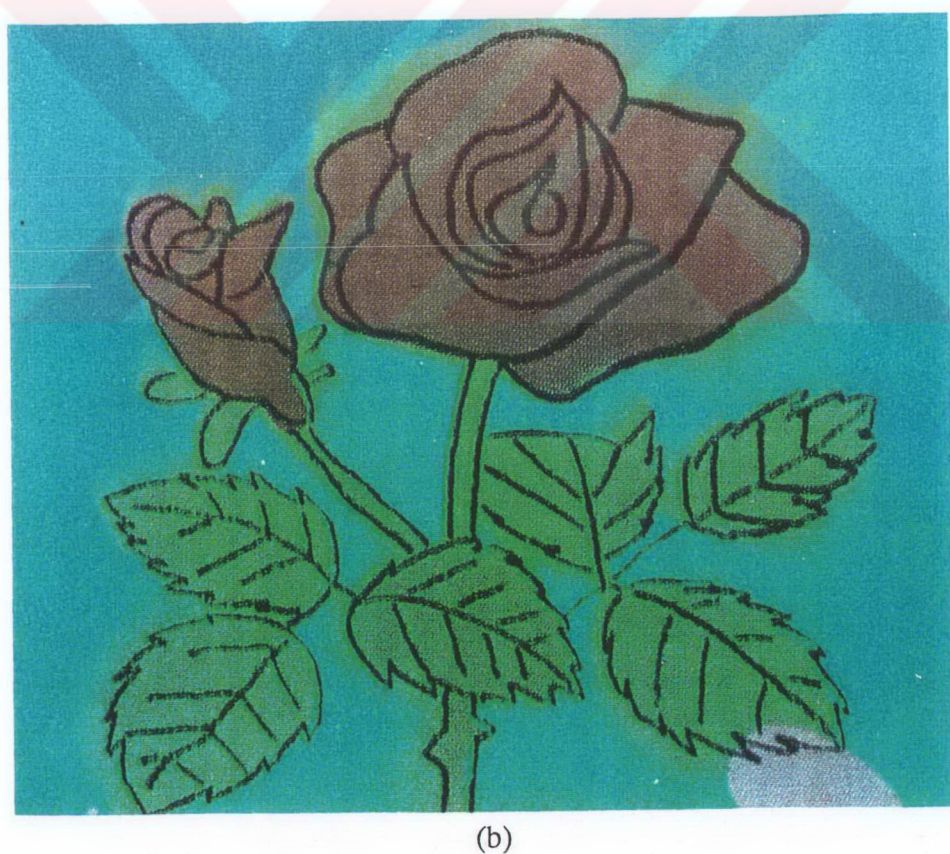
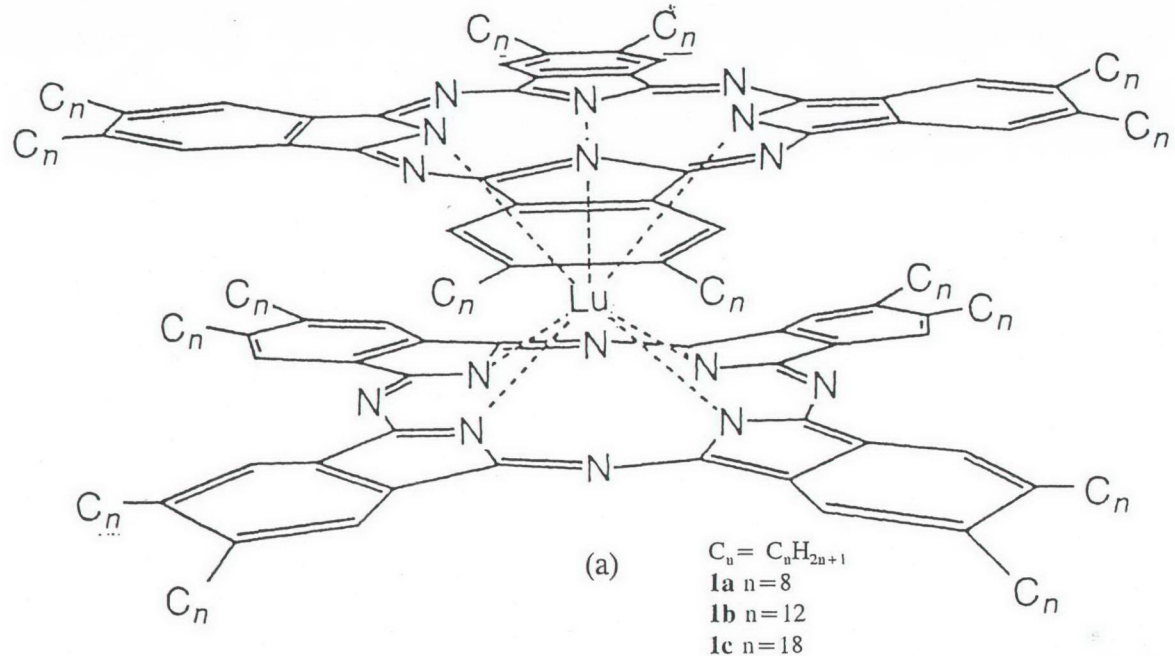


LnPc_2 'nin başlangıç yeşil formları kararlı radikallerdir (Şekil 2.5) [45]. Daha ileri redoks potansiyellerinde iki ilave renk daha göstermektedir. Bir elektron daha yükseltgenmiş formu kırmızı, bir elektron daha indirgenmiş formu ise menekşe renklidir. LnPc_2 'ler bozunmaksızın süblime olabildiklerinden thin filmler halinde elektrot yüzeylerine kaplanabilir ve elektrokromik display'lerde kullanılabilirler. Elektrolite uygulanan voltaj (-1.5 ile +1.5 eV) arasında değiştirildiği zaman LnPc_2 filmleri 5 ayrı renk göstermektedir (menekşe, mavi, yeşil, turuncu, kırmızı).



Şekil 2.5 Lutesyum bisftalosiyanyanın (a) ve onu oluşturan iki makrosikliğin radikalik yapısı (b,c).

Lutesyum bisftalosiyanyanın türevlerinin elektrokromik özelliklerine uygulamalı güzel bir örnek 1994 yılında Japon Kazuchika Onto ve çalışma arkadaşlarının yapmış olduğu bir çalışma verilebilir [46]. Bu çalışmada Lutesyum bis(oktakisalkil) ftalosiyanyanın türevinin (Şekil 2.6.a), diklorometan (CH_2Cl_2) içindeki çözeltisi iki cam elektrot arasına konularak gül şeklini oluşturacak şekilde belirli yerlere indirgen ve yükseltgen redoks potansiyelleri uygulanmış; bu şekilde elde edilen elektrokromik display'in fotoğrafı , (Şekil 2.6.b)'de görülmektedir.



Şekil 2.6 İki cam arasına konulmuş $(C_8Pc)_2Lu$ kompleksi (a) ve 0.1mol dm⁻³TBAP* içeren diklormetan çözeltisine belirli indirgen ve yükseltgen redoks potansiyelleri uygulayarak elde edilmiş bir eletrokromik display'in fotoğrafı
*TBAP: Tetrabutilamonyumperklorat (elektrolit olarak kullanılıyor)

Redoks prosesleri yoluyla kararlı ftalosiyenin radikallerinin oluşumu, absorbe edilmiş iyonlaştırıcı radyasyon dozlarının ölçümleri için kimyasal dozimetrelerde kullanılmasına imkan verir.

Ftalosiyenlerle ilgili yapılan araştırmalardan biri de elektrofotografik malzemeler olarak kullanımları konusunda yarı iletken özellikleriyle ilgilidir [15,26].

Son yıllarda birçok araştırma da ftalosiyenin türevlerine dayanan optik yazıcı malzemeler konusunda yapılmıştır [47]. Subtrat mükemmel sıralanmış moleküllerden oluşan ince bir film oluşturmak üzere ftalosiyenin çözeltisi ile spin kaplama yöntemi kullanılarak elde edilir. Diğer bir yol ise; vakumda süblimasyon yöntemiyle hazırlanmış filmlerin kullanılmasıdır. Özellikle makrosiklik halkada elektron verici sübitüentler içeren bazı ftalosiyenin ve naftalosiyenin türevleri lazer teknolojisinde renkli boyama maddesi olarak kullanılmaktadır.

Hidrofilik ve lipofilik kısımlar içeren bazı amfifilik boyar maddeler (ör; polikarboks sübstidue ftalosiyenin) liyotropik sıvı kristal özelliklerine sahiptir ve suda çözündüklerinde bir mesofaz oluştururlar [48]. Son zamanlarda diskotik sıvı kristaller olarak adlandırılan birçok tipte sıvı kristaller geliştirilmiştir. Uzun alifatik zincir içeren simetrik ftalosiyenin türevleri sıvı kristal özelliğine sahip çubuk şeklindeki supramoleküler yapıları oluştururlar [49,50].

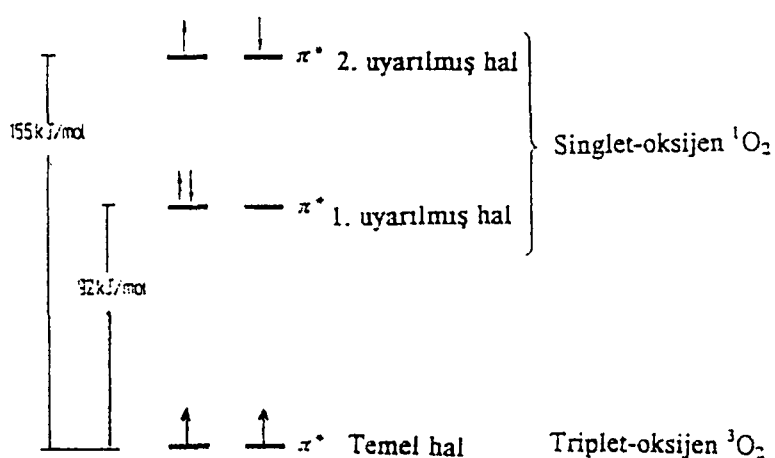
Tetraterterbutil gibi gruplarla sübtidue bazı ftalosiyenin türevleri Langmuir Blodgett teknikleri kullanılarak ince filmler halinde kaplandıklarında özellikle moleküler elektronik alanında ilgi çeken muntazam şekilde düzenlenmiş ince tabaka yapıları oluştururlar [51,52]. Nadir toprak metal bisftalosiyenin uzun zincir karboksil asitleri ve tuzları halindeki karışımından Langmuir Blodgett metodıyla hazırllanmış filmler elektronik cihazların oluşturulmasında oldukça ilgi çekmektedir [53].

Teknolojinin hızlı bir şekilde ilerlemesiyle birlikte bilim adamlarının önüne çıkan ekolojik problemlerin iyileştirilmesi amacıyla ftalosiyenlerin katalitik olarak kullanımı son zamanlarda dikkat çeken diğer bir uygulama alanıdır. Otomobil eksozlarından yanma sonucu atılan karbondioksit gazının yada fabrika bacalarından

havaya bırakılan azot ve sülfür-oksitlerin zararlı etkilerinin yok edilmesinde [54], petrol ve doğal gazın kükürtten temizlenmesinde [55] önemli roller üstlenirler. Teknolojinin önemli problemlerinden birisi de hidrokarbonların yavaş, yavaş oksitlenmesidir. Bunun için çok kararlı ve uzun süreli katalizörler gereklidir [56]. Ftalosiyenlerin olumlu özelliklerinden biri de kuvvetli oksitleyiciliğidir. Paketleme malzemelerine-plastik filmler ve kağıt-ftalosiyen kompleksleri ilave edilerek et, balık, meyve, sebze, kesilmiş çiçek gibi malzemelerin saklama zamanları büyük ölçüde artırılmıştır [57]. Ftalosiyen türevlerinin elektrokimyasal proseslerde oksijen, karbondioksit ve nitrik oksitin katodik indirgemesi ve sülfür dioksitin anodik yükseltmesinde etkili bir katalizör olarak kullanımı oldukça yaygındır [15,26].

Ftalosiyen türevlerinin tip alanındaki uygulamalarıyla ilgili olarak fotodinamik terapi; tümör kontrolü ve tedavisinde kullanılan çok yeni ve ümit verici bir tedavi yöntemidir [58]. Bu yöntem, ftalosiyenlerin fotosenzitif malzeme olarak kullanılmasını baz almaktadır. Fotosenzitif maddenin tümörlü doku üzerine lokalize olması ve oksijenli ortamda lazer ışınıyla aktif hale getirilmesi sonucu oluşan singlet oksijen, tümörlü dokuyu yok etmektedir.

Singlet oksijenin oluşumu ise şu şekilde olmaktadır: Temel halde, oksijen molekülü π -molekül orbitalinde, spinleri aynı yönde olan iki elektron içermektedir. Molekülün uyarılması sonucu, elektronlar antiparalel duruma gelmektedir. Oluşan singlet oksijenin enerjisi temel haldekinden daha yüksek ve ömrü kısaltır (Şekil 2.7).



Şekil 2.7 Singlet ($^1\text{O}_2$) ve triplet ($^3\text{O}_2$) oksijenin elektron düzeni ve enerji seviyeleri

Fotosenzitif olarak halihazırda dimer ve oligomer hematoporfirinlerin kompleksleri klinik deneylerde kullanılmaktadır.

Fotosenzitif olarak kullanılan ftalosiyaniner ve komplekslerinin genel olarak 600-750 nm dalga boyları arasında Q-absorbsiyon bandları vardır. Bu nedenle ftalosiyanin ve komplekslerinin fotodinamik terapide kullanılması hususunda yoğun bir çalışma yapılmaktadır. Ftalosiyaninerin suda çözünürlüklerinin olmaması fotosenzitif olarak kullanılmalarını sınırlamaktadır [59]. Ftalosiyanineri suda çözünür hale getirebilmek için, periferal pozisyonlarına sulfonik asit ya da karbonik asit takılmıştır [60]. Bu tür bir sentez yöntemiyle elde edilen ftalosiyaninerde ise izomer karışımıları oluşmakta ve izomer ayırması da oldukça güç veya mümkün olamamaktadır [61]. Izomer karışımından etkilenmemek amacıyla, periferal pozisyonda herhangi bir grup içermeyen, fakat metal üzerinde aksiyal koordine olmuş, suda çözünürlük sağlayan gruplar içeren, ftalosiyaninerin sentezi gerçekleştirilmiştir [62, 63].

Porfirin ve ftalosiyanin türü fotosenzitif maddelerin absorpladıkları ışınların görünür dalga boyu aralığında olmaları bazı dezavantajları da beraberinde getirmektedir. Örneğin, tedavi uygulanan hastanın, kendisini uzun süre güneş ışınlarından koruması gerekmektedir [63]. Vücuda zerkedilen fotosenzitif maddenin bütün bedene veya belirli bölgeye yayılmasını önlemek için, izotiyosiyanat grupları içeren yeni tip fotosenzitif maddeler sentezlenmiştir [64].

İzotiyosiyanat grubu içeren fotosenzitif maddeler kanser hücresına uygun olarak seçilen antikorun amin gruplarına bağlanmakta ve böylece fotosensör antikorla adreslenmiş olmaktadır. Fotosensör takılı antikor bedene zerkedildiğinde, bütün vücutta ya da bölgeye dağılmadan tümör hücrelerine toplanması sağlanmakta ve bu bölgeye, uygun dalga boyunda lazer ışını uygulandığında, oluşan singlet oksijen kanserli hücreleri yok etmektedir. Böylece, hasta güneş enerjisine maruz kalmış olsa bile, diğer hücrelerde herhangi bir tahribat söz konusu olmamaktadır.

2.1.2 Ftalosiyinlerin Sentez Yöntemleri

2.1.2.1 Simetrik ftalosiyinlerin sentezi

Metalsız ftalosiyinler, ftalonitril ile alkali metal alkolatlar veya DBU, DBN gibi kuvvetli bazlar arasındaki reaksiyonlardan elde edilir. Diğer bir sentez yöntemi olan; elektrovalent metalloftalosiyinlerin komplekslerinden metalin çıkarılması, metalsız ftalosiyinlerin eldesinde en uygun yöntemdir [15]. Metal içeren ftalosiyin sentez yöntemlerini ise şu şekilde sıralamak mümkündür;

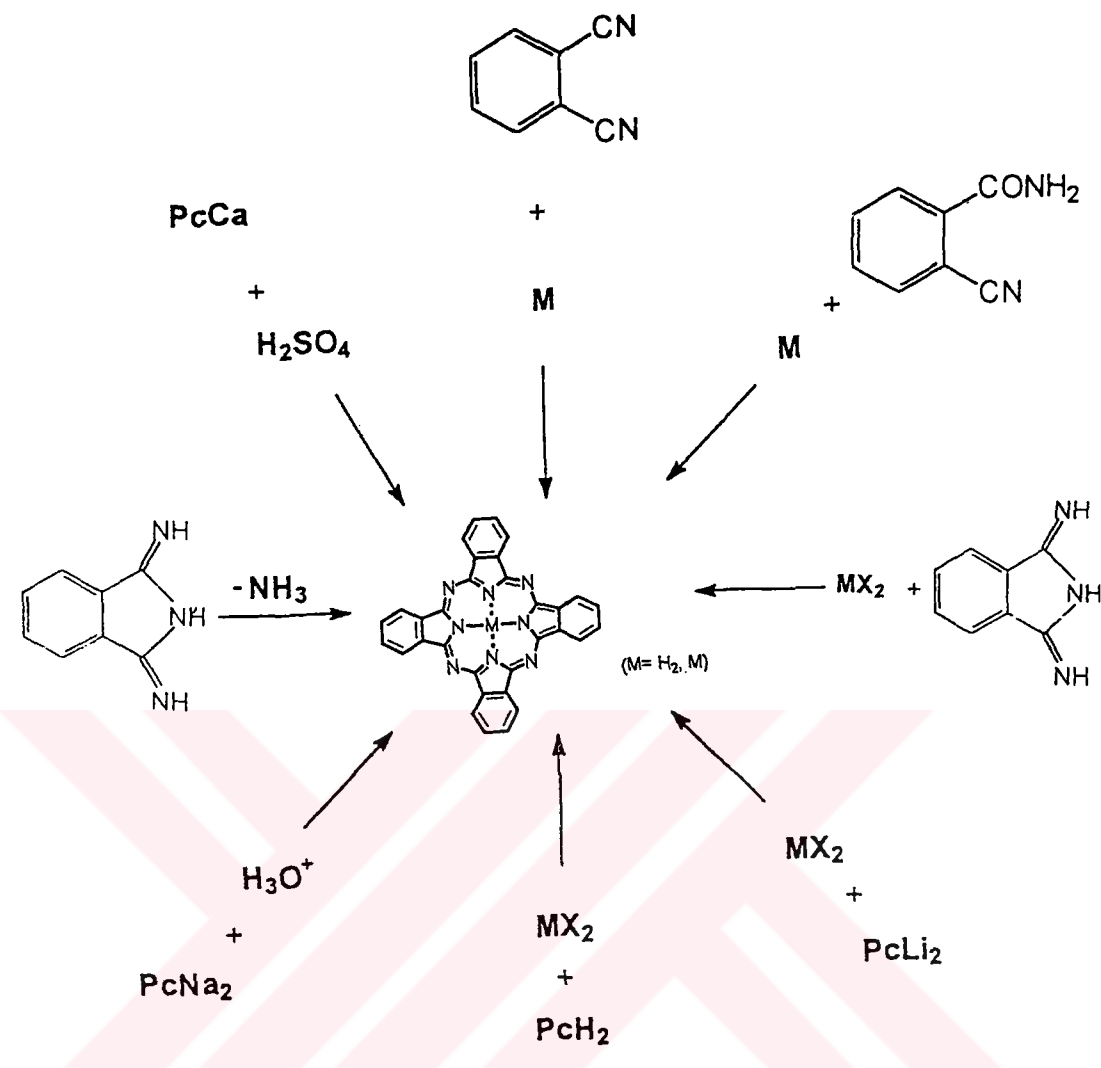
- Ftalonitril veya bunun sübstitüsyon ürünleri ile metal veya metal tuzlarının reaksiyonundan,
- Ftalikanhidrit, ftalimid veya bunların sübstitüsyon ürünlerinin, inert çözücü içinde amonyum molibdat katalizörü yardımıyla metal veya metal tuzu ve üre ile olan reaksiyonundan,
- o-dihalojen içeren aromatik bileşikler ile metal siyanürlerin reaksiyonlarından,
- Metalsız ftalosiyinlere metal ilavesi veya metallo ftalosiyinlerin uygun şartlarda metalinin başka bir metalle yer değiştirilmesinden.

Bu sentez yöntemlerinin hepsinin ortak özelliği, reaksiyonun birden fazla basamakta yürümesi ve yüksek sıcaklıklarda gerçekleşmesidir.

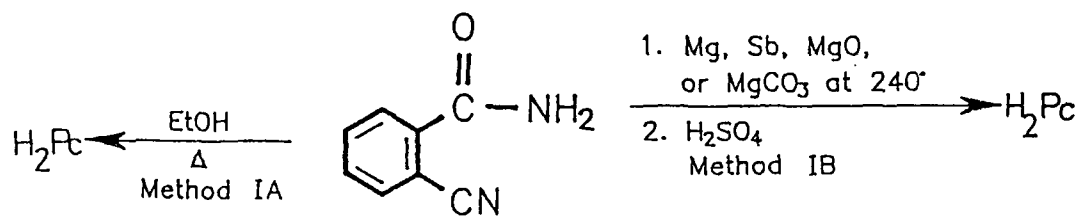
Simetrik ftalosiyinlerin sentez yöntemleri toplu halde (Şekil 2.8)'de görülmektedir.

I. o-Siyano benzamidden ftalosiyin eldesi:

Ftalosiyinlerin ilk sentez yöntemidir. Etanol içinde o-siyano benzamidin kaynatılmasıyla, düşük verimle elde edilmiştir (Şekil 2.9, Metod IA). Daha sonraki yıllarda Linstead ve grubu o-siyano benzamidi, magnezyum veya antimon metali yada magnezyum oksit ve magnezyum karbonat gibi magnezyum tuzları ile 240°C'de ısıtılarak %40 gibi bir verimle metallo ftalosiyin elde etmişlerdir. Bu metalli ftalosiyinini derişik H₂SO₄ ile muamele ederek metalsız ftalosiyin sentezlemiştir (Şekil 2.9, Metod IB).



Şekil 2.8 Simetrik ftalosiyanyinlerin sentez yöntemleri



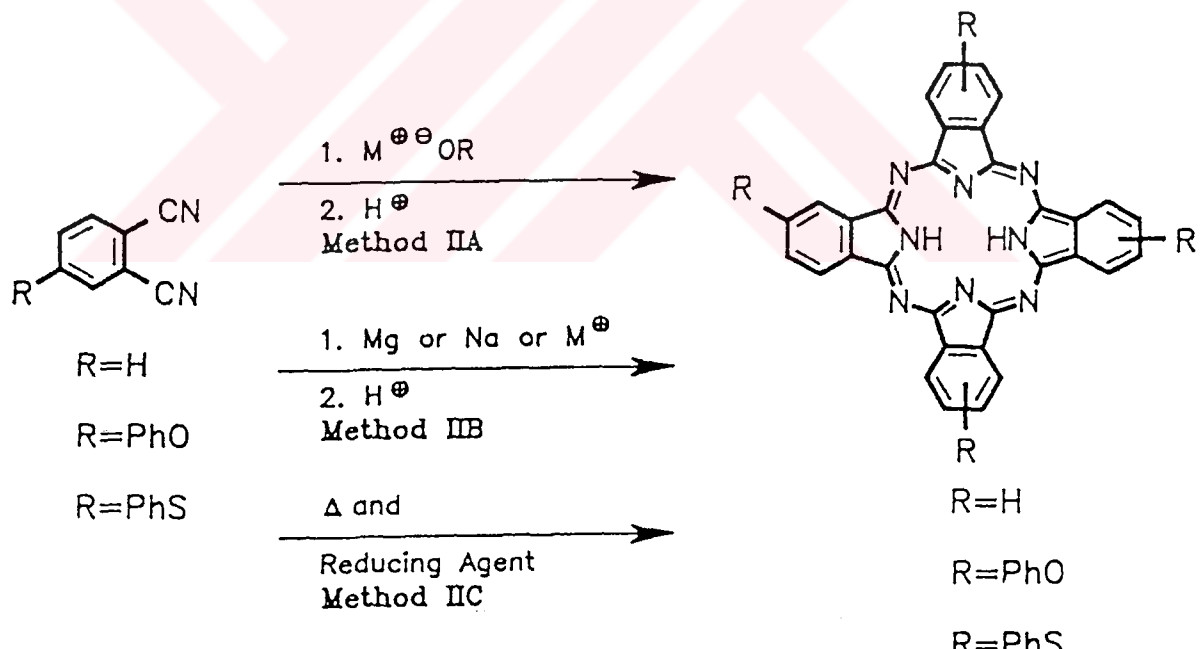
Şekil 2.9 o-Siyanobenzamidden ftalosiyanyin sentezi

II. Ftalonitrilden ftalosiyanyin eldesi:

Elementel metal, metalhalojenürler (MX_2) veya metalalkolatların ($M(OR)_2$) kullanıldığı bu metodda yüksek verimle ftalosiyanyin elde etmek mümkündür. Reaksiyon kaynama

noktası yüksek bir çözücüde yapılabildiği gibi, reaktantların karıştırılarak 300 °C'de kızdırılmasıyla da olabilmektedir. Bu metoddə, ftalonitrilin 135-140 °C'de n-pentanol veya diğer alkollerde sodyum veya lityum ile muamelesi disodyum ftalosiyanını verir. Elde edilen ftalosiyanının derişik H₂SO₄ ile direkt olarak muamelesiyle metalsiz ftalosiyane geçilebilir (Şekil 2.10, Metod IIA). Aynı metodla, ftalonitrilin 2-N,N-dimetilaminoetanolde amonyak gazi ile muamelesiyle, temizleme işlemine gerek kalmaksızın % 90 verimle metalsiz ftalosiyanın elde edilebilmektedir.

Ayrıca, ftalosiyanınlar kuvvetli bazik şartlara karşı dayanıklı olduklarından, aynı metodla ftalonitril çözeltisi standart şartlar altında UV ışığı ile bir ön ısıtma eşliğinde 1,8-diazabisiklo[5.4.0]undek-7-ene (DBU) ya da 1,5-diazabisiklo [4.3.0]non-5-ene(DBN) gibi kuvvetli bazlarla reaksiyon vererek oldukça yüksek bir verimle metalsiz ftalosiyanın elde edilmiştir.



Şekil 2.10 Ftalonitrilden ftalosiyanın sentezi

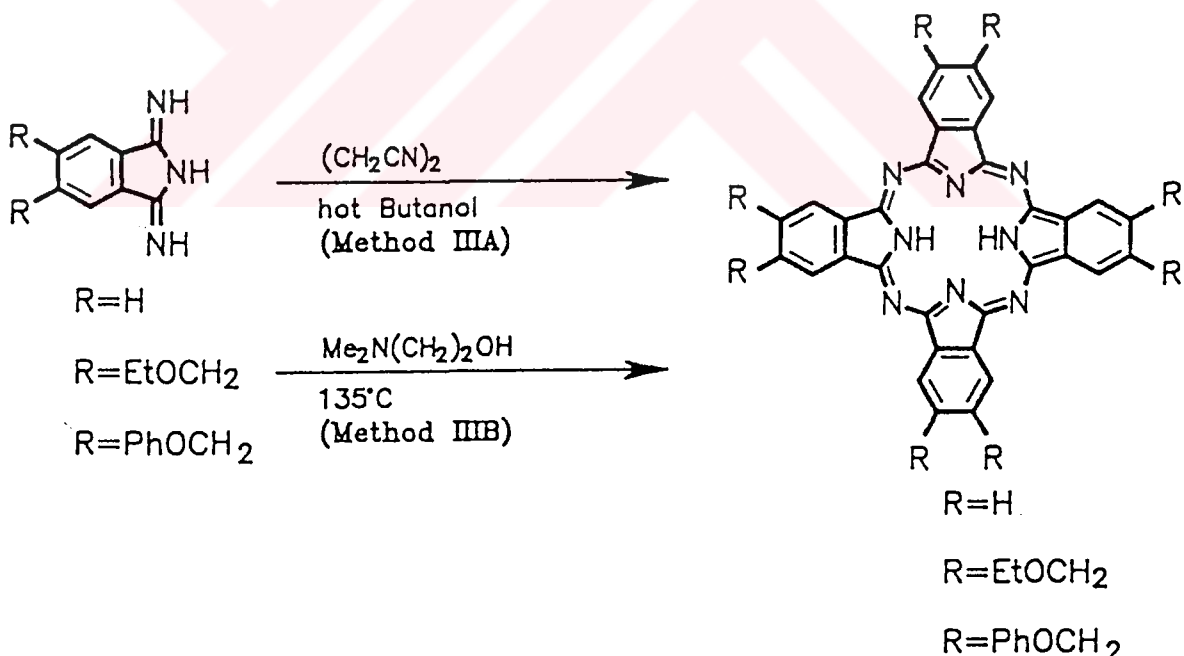
Ftalonitril, 200 °C'nin üzerinde magnezyum veya sodyum metali ile reaksiyona sokularak elde edilen metallo ftalosiyanın derişik H₂SO₄ ile muamele edilerek metalsiz ftalosiyane geçilmiştir (Şekil 2.10, Metod IIB). Sübstitüe ftalonitrilin kapalı tüp içinde 180 °C'de, hidrokinon, tetrahidropiridin veya 4,4'-dihidrobifenil kullanılarak reaksiyona

sokulmasıyla sübstitüe metalsiz ftalosiyanın elde edilmiştir (Şekil 2.10, Metod II C). Bu metodların hepsinde başlangıç maddesi ftalonitril olmasına rağmen, reaksiyonlar farklı mekanizmalar ve farklı ara ürünler üzerinden yürümektedir.

III) 1,3-Diiminoisoindolinden ftalosiyanın eldesi:

Sodyum metoksit varlığında, ftalonitrilin metanoldeki çözeltisinden sıcakta amonyak gazi geçirilmesiyle elde edilen 1,3-diiminoisoindolin bileşiği formamid gibi uygun çözücüde, metal tuzu varlığında, metalloftalosiyanın verebilmektedir.

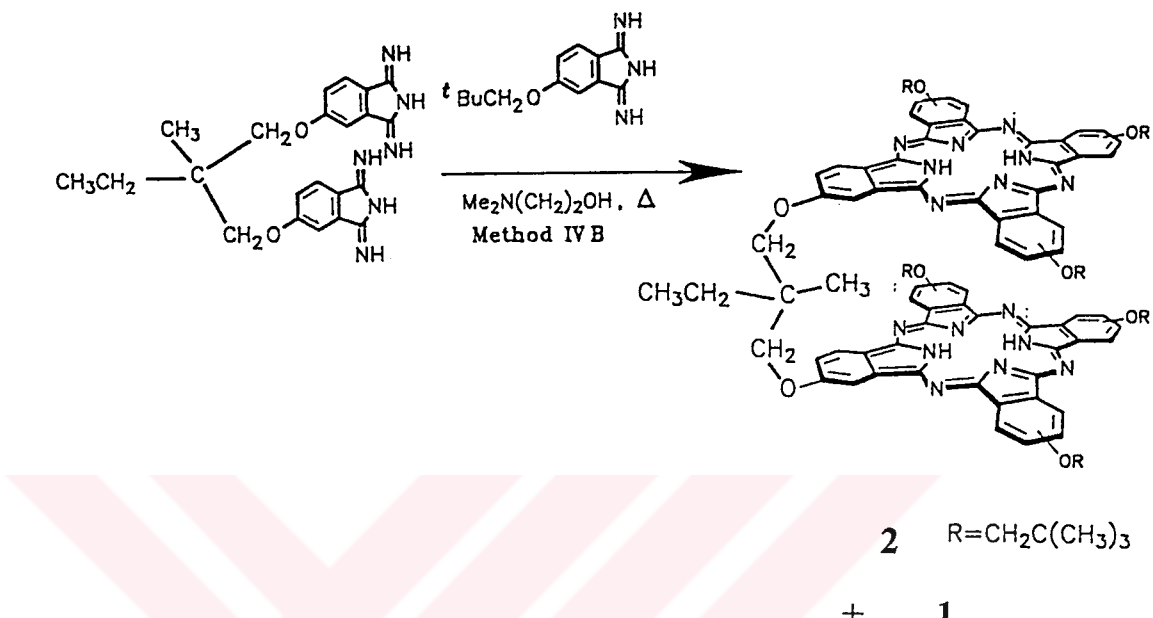
1,3-diiminoisoindolin süksinonitril veya kaynayan tetralin gibi hidrojen verici bir reaktifle ısıtıldığında % 34 veya % 45 gibi verimlerle metalsiz ftalosiyanın elde edilmiştir (Şekil 2.11, Metod III A). Ayrıca isoiminoindolin bileşiği 2-N,N-dimetilaminoetanol içinde geri soğutucu altında kaynatılarak metalsiz ftalosiyanın sentezlenmiştir (Şekil 2.11, Metod III B).



Şekil 2.11 1,3-Diiminoisoindolinden ftalosiyanın sentezi

Bu metodla, binükleer ve multinükleer ftalosiyanları sentezlemek üzere, bir bis-diiminoisoindolin başka bir diiminoisoindolinle reaksiyona sokulur. Örneğin, bis-1,3-diiminoisoindolinle fazla miktarda 5-neopentoksi-1,3-diiminoisoindolinle muamele

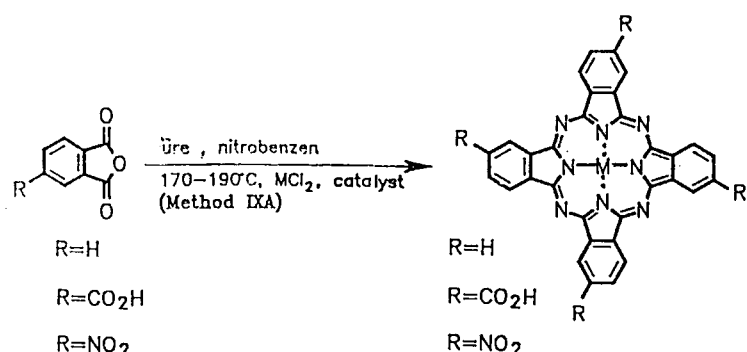
edildiğinde % 10 verimle 2,9,16,23-tetraneopentoksi ftalosiyanyin **1** ve metalsiz binükleer ftalosiyanyin **2** elde edilir (Şekil 2.12, Metod IVB).



Şekil 2.12 Binükleer ve multinükleer ftalosiyanyin sentezi

IV. Ftalikanhidrit, ftalimid ve ftalikasitten ftalosiyanyin eldesi:

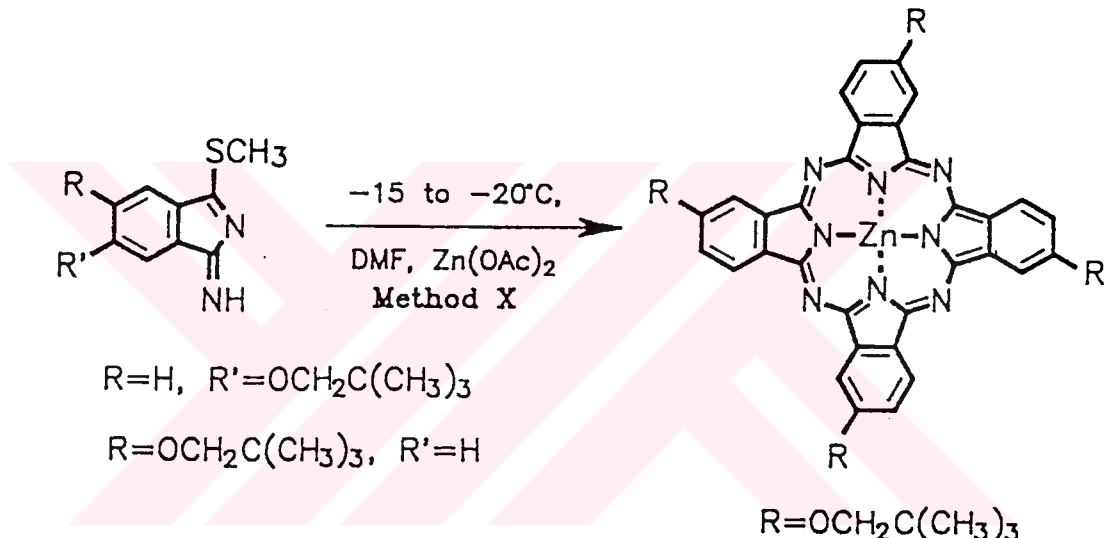
170-190 °C'de nitrobenzen içinde çözülmüş olan ftalikanhidrit; katalizör olarak amonyum molibdat kullanılmak suretiyle, üre ve metal tuzu (MCl_2) ile reaksiyona sokularak metallo ftalosiyanyinler elde edilmektedir (Şekil 2.13, Metod IXA).



Şekil 2.13 Ftalikanhidritten ftalosiyanyin sentezi

V. Düşük sıcaklıkta ftalosiyanyanın eldesi:

Son yıllarda yapılan çalışmalarla -20°C gibi oldukça düşük sıcaklıklarda ftalosiyanyanın oluşumu gözlenmiştir. 1-imino-3-metiltiyo-5-neopentoksiisoindolinin oda sıcaklığında 2-N,N-dimetilaminoetanolde reaksiyonundan % 5-18 verimle 2,9,16,23-tetraneopentoksi ftalosiyanyanın izomer karışımı elde edilmiştir. Aynı reaksiyon çinko asetatla yapıldığında -15 , -20°C 'de çinko ftalosiyanyanın elde edilmiştir (Şekil 2.14, Metod X) [15].



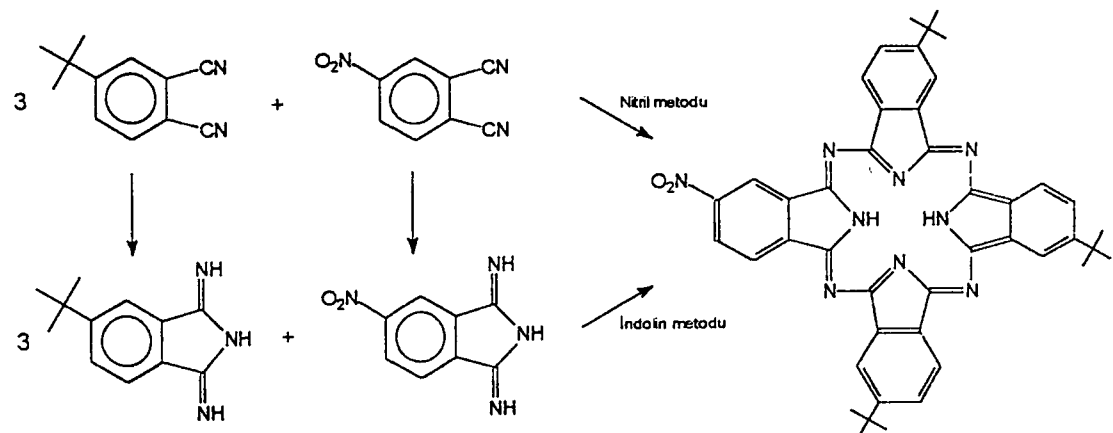
Şekil 2.14 Düşük sıcaklıkta ftalosiyanyanın sentezi

2.1.2.2 Asimetrik ftalosiyanyanların sentezi

Asimetrik veya düşük simetralı ftalosiyanyanlar, periferal pozisyonlardaki sübstitüe gruplarının farklı olmalarından dolayı bu şekilde adlandırılmaktadır. Genel olarak dört farklı sentez yöntemi vardır.

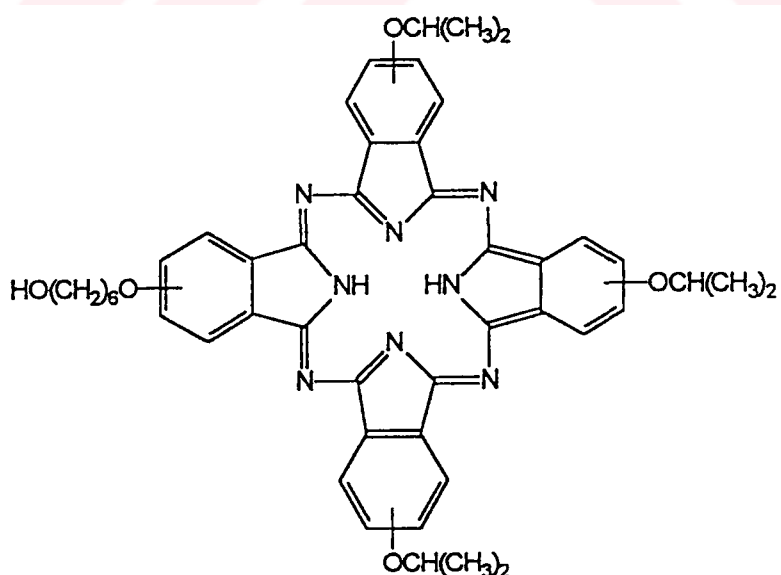
I. İlk Yöntem, iki farklı sübstitüe grub içeren ftalonitrilin veya iminoisoindolinin farklı oranlarda (1:3) karıştırılmasıyla reaksiyonun gerçekleştirilmemesidir [15]. Bu yöntemle sentezlenen asimetrik ftalosiyanyanlara bir örnek olarak, mononitro tri-t-butil ftalosiyanyanın sentezi verilebilir (Şekil 2.15) [65]. Ancak bu tür reaksiyonlarda, en az altı adet farklı

ftalosiyanın oluşmakta ve bunların kromatografik yöntemlerle ayrılması oldukça zor olmaktadır.



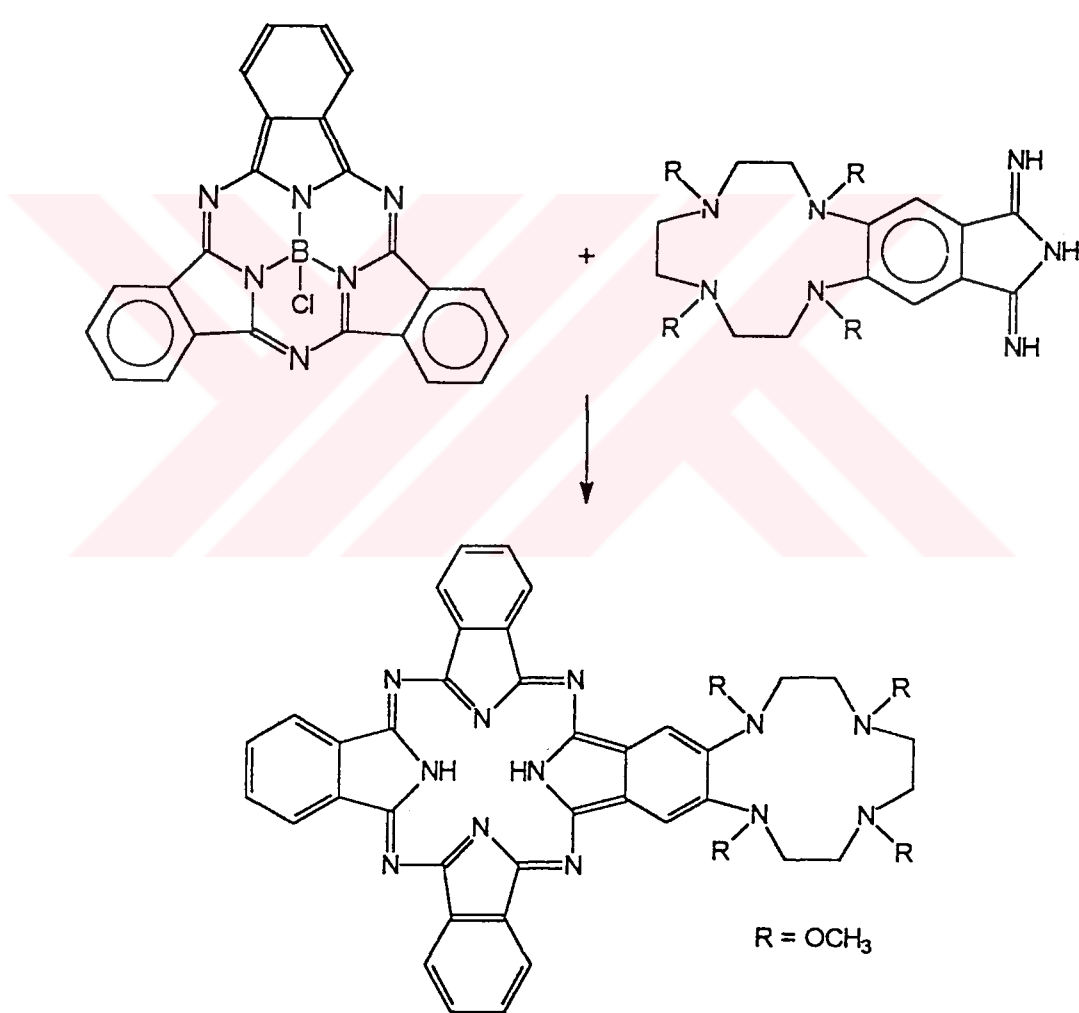
Şekil 2.15 Asimetrik ftalosiyanın sentezi

II. Bu yöntemle asimetrik ftalosiyanın, fonksiyonel grup içeren herhangi bir polimer zincirine bağlanan bir ftalonitril grubu ile farklı fonksiyonel grup içeren diğer bir ftalonitrilin kondenzasyonu yoluyla oluşur. Oluşan ftalosiyanın polimer zinciri üzerinde kalabildiği gibi, serbest hale getirmek de mümkün olabilmektedir (Şekil 2.16) [66].



Şekil 2.16 Polimer üzerinden sentezlenen asimetrik ftalosiyanın

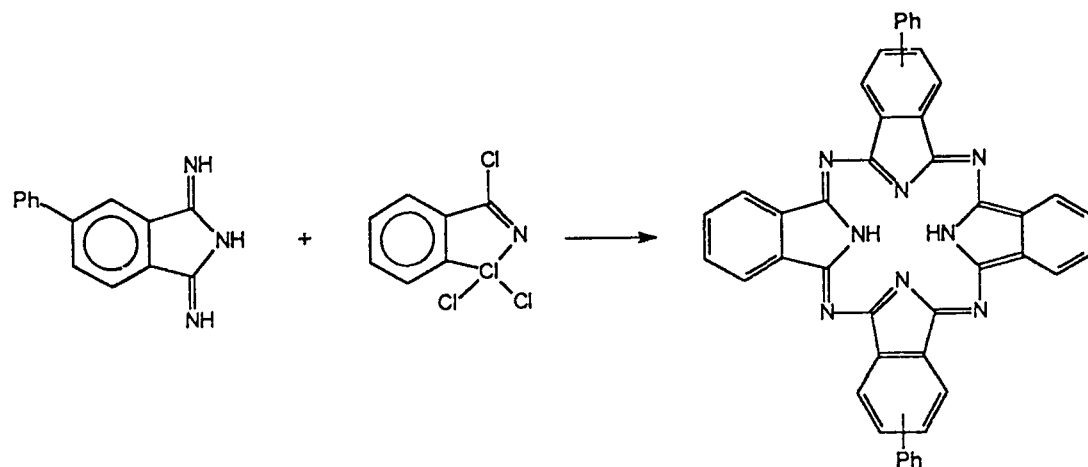
III. Bu yöntemde, ftalonitrilin bor halojenürler ile kondenzasyonu sonucu, bor atomunun üç ftalonitril ile halka oluşturmasıyla elde edilen ve subftalosiyinin [67] adı verilen bir makrosiklik molekül kullanılır. Subftalosiyinin, farklı sübstítüe grup içeren bir iminoisoindolinin fazlasıyla (yaklaşık yedi katı), dimetilsulfoksit: α -klornaftalen (2:1) karışımında, 80-90 °C'de karıştırılması sonucu asimetrik ftalosiyinin oluşur [68-72]. Bu yönteme örnek olarak ise, subftalosiyinlerin tetraaza halka veya monoaza taçeter grubu içeren iminoisoindolinin reaksiyonu verilebilir (Şekil 2.17) [69].



Şekil 2.17 Subftalosiyinin üzerinden asimetrik ftalosiyinin sentezi

IV. Bir diğer asimetrik ftalosiyinin sentez yönteminde ise, herhangi bir iminoisoindolinin 1,3,3-trikloroisoindolinle reaksiyonu sonucunda yarı simetrik bir ftalosiyinin sentezi gerçekleştirilir. 5-fenil-1,3-diiminoisoindolinin oda sıcaklığında

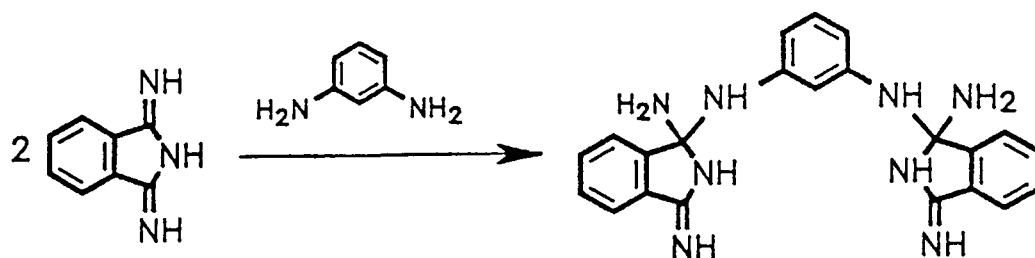
1,3,3-triklorisoindolinle muamele edilmesiyle difeniltalosiyanın elde edilir (Şekil 2.18) [73].



Şekil 2.18 Yarı simetrik ftalosiyanın sentezi

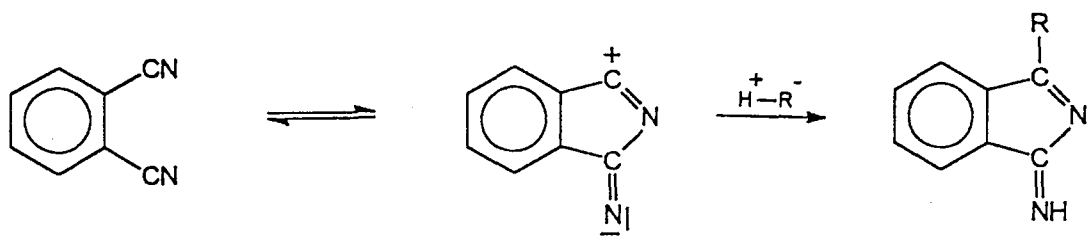
2.1.3 Ftalosiyanın Reaksiyon Mekanizmaları

Ftalosiyanın sentezlerinde kullanılan yöntemlerin bazlarında reaksiyon bilinen bir ara ürün üzerinden ilerlerken, çoğu zaman oluşum mekanizmaları net olarak bilinmemektedir. Ftalosiyanın oluşumunda bir model sayılabilen bir ara ürün 1,3-diiminoisoindolin ile bir diaminin reaksiyonundan elde edilen stabil maddedir (Şekil 2.19).



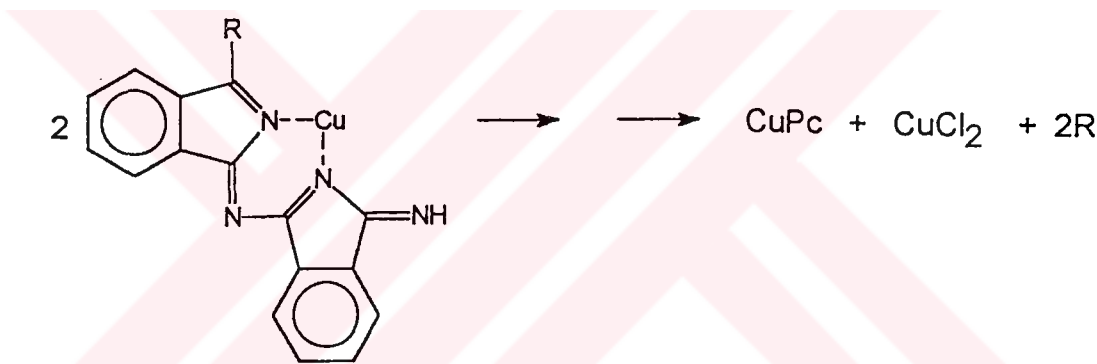
Şekil 2.19 Ftalosiyanın oluşumunda bir ara ürün

Gerek ftalonitrilden gerekse ftalikasitten üre ile ftalosiyanın sentezinde ara ürün olan isoindolin ve poliisoindolinler oluşmaktadır. İlk kademe polar bir bileşikle dinitrilden basit bir isoindolin oluşmaktadır (Şekil 2.20) [74]



Şekil 2.20 Ftalosiyanyin sentezinde oluşan ara ürünler

Polar bileşik olarak amonyak, primer veya sekonder amin, karbonsülfür, hidrojenbromür veya alkoksit bileşikleri kullanılabilir. Daha sonra bu iminoisoindolinlerin bir metal varlığında kondensasyonları sonucu halka sistemi oluşarak ftalosiyanyin sentezi gerçekleşir (Şekil 2.21).

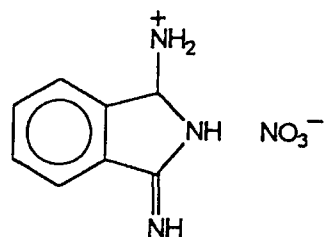


Şekil 2.21 Ftalosiyanyinlerde halka oluşum mekanizması

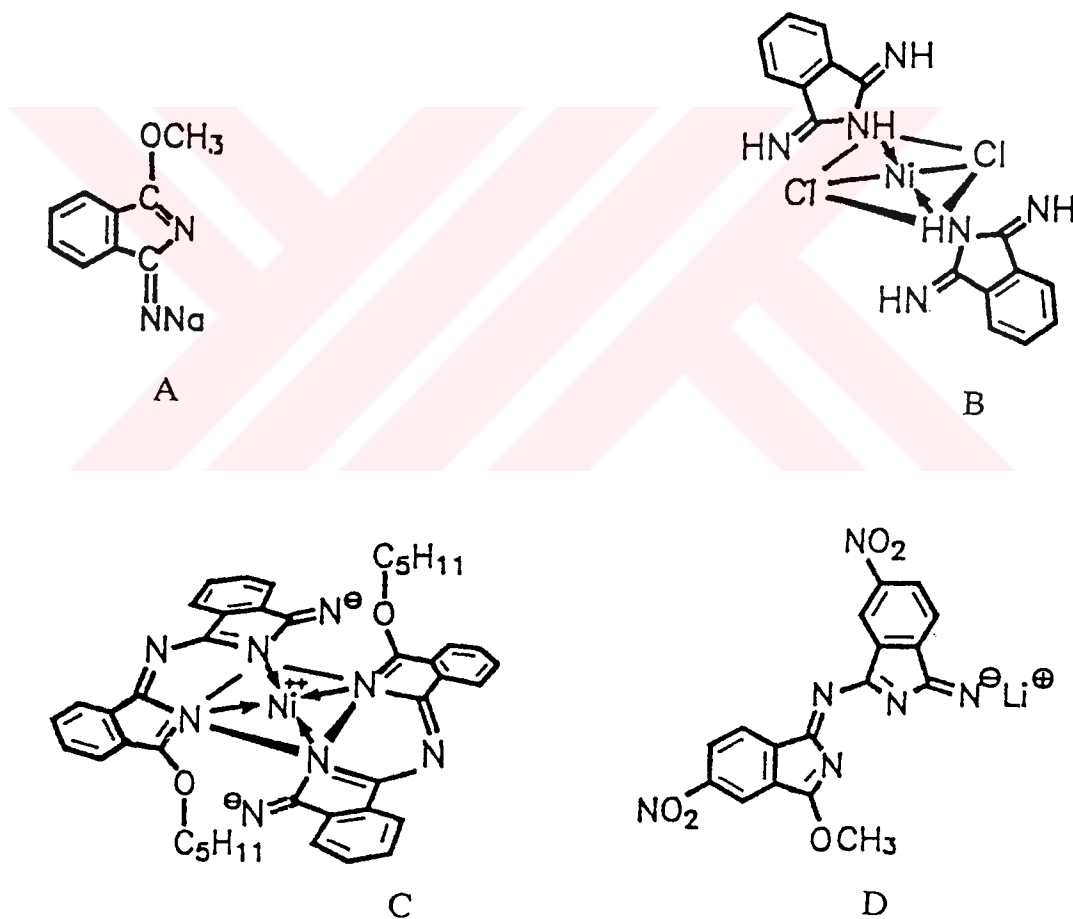
Yakın zamanlarda sübitüe ftalosiyanyinlerin sentezinin 1,3-diiminoisoindolin ve sübitüe ditiyoimid bileşiginin kondensasyonu sonucu oluşan bir ara ürün üzerinden yürüdüğü fikri ortaya atılmış sa da bu ara ürünler izole edilememiştir.

Bir ana ara ürün olan 1,3-diiminoisoindolinler nitrat tuzu olarak izole edilebilmektedirler. Borodkin tarafından 1,3-diiminoisoindolin'in sıcak formamid içinde NiCl_2 ile nikelftalosiyanyinin sentezinde ara ürün olarak metoksiiminoisoindolinin bir sodyum türevi izole edilmiştir (Şekil 2.23.A). Daha sonra Hurley aynı reaksiyonda ara ürünler olarak nikel kompleksler izole etmiştir (Şekil 2.23.B,C). Son yıllarda ise

dimerik lityum tuzu (Şekil 2.23.D) tetranitroftalosianin oluşumu için bir ara ürün olarak izole edilmiştir.



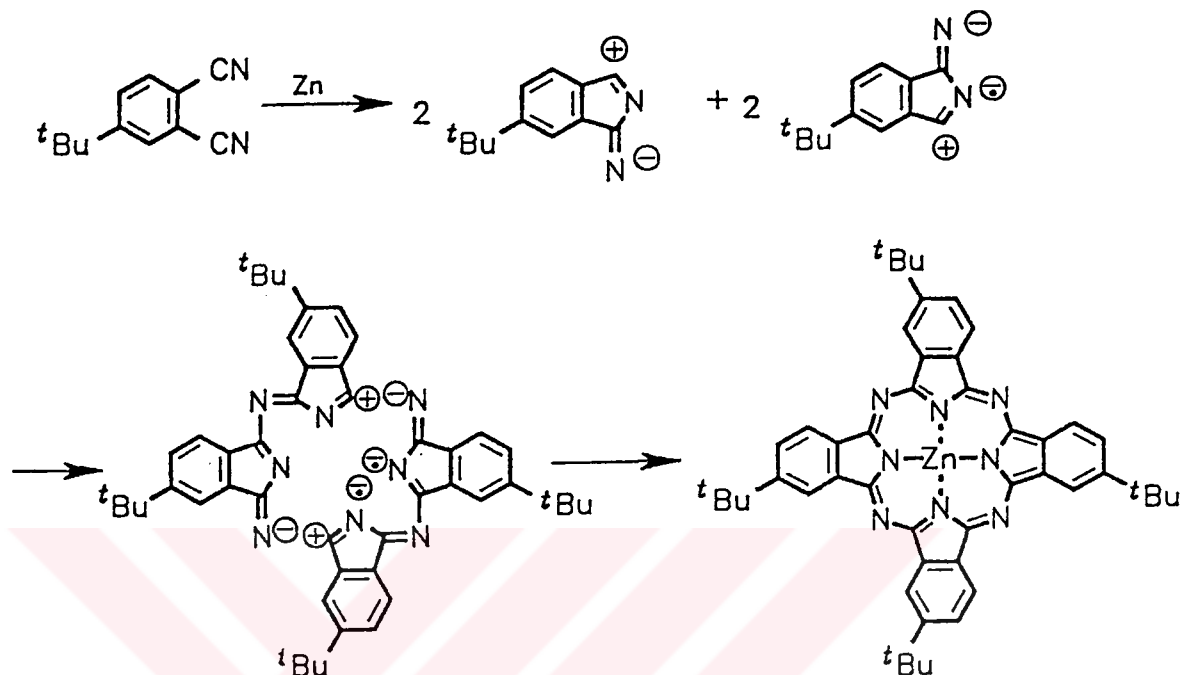
Şekil 2.22 Ftalosianin reaksiyon ortamından izole edilmiş bir ara ürün



Şekil 2.23 Metal ftalosianin sentezinde izole edilebilen bazı stabil ara ürünler

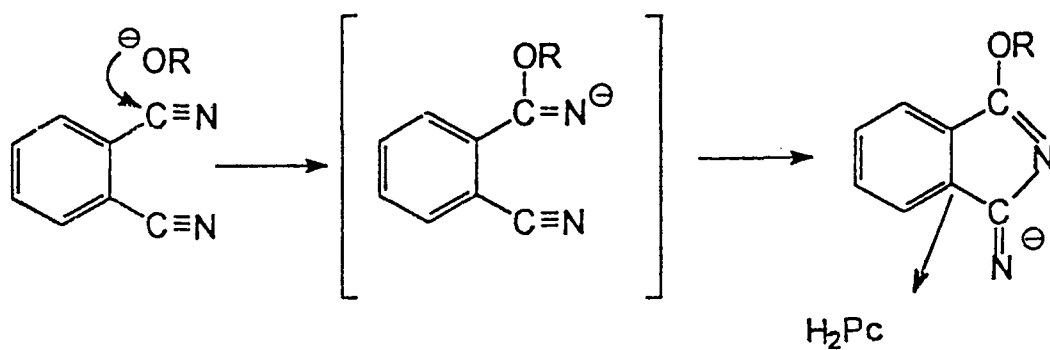
2,9,17,24-tetra-*ter*-butil ftalosianato çinko (II)'nin 4-*ter*-butil ftalonitril ve çinko tozunun reaksiyonuyla sentezinde, farklı bir tetra-sübitüe ftalosianin elde edilir. Bu

ftalosiyaninin oluşumu sırasında görülen ara ürünler oluşum mekanizmasını açıklamaktadır (Şekil 2.24).



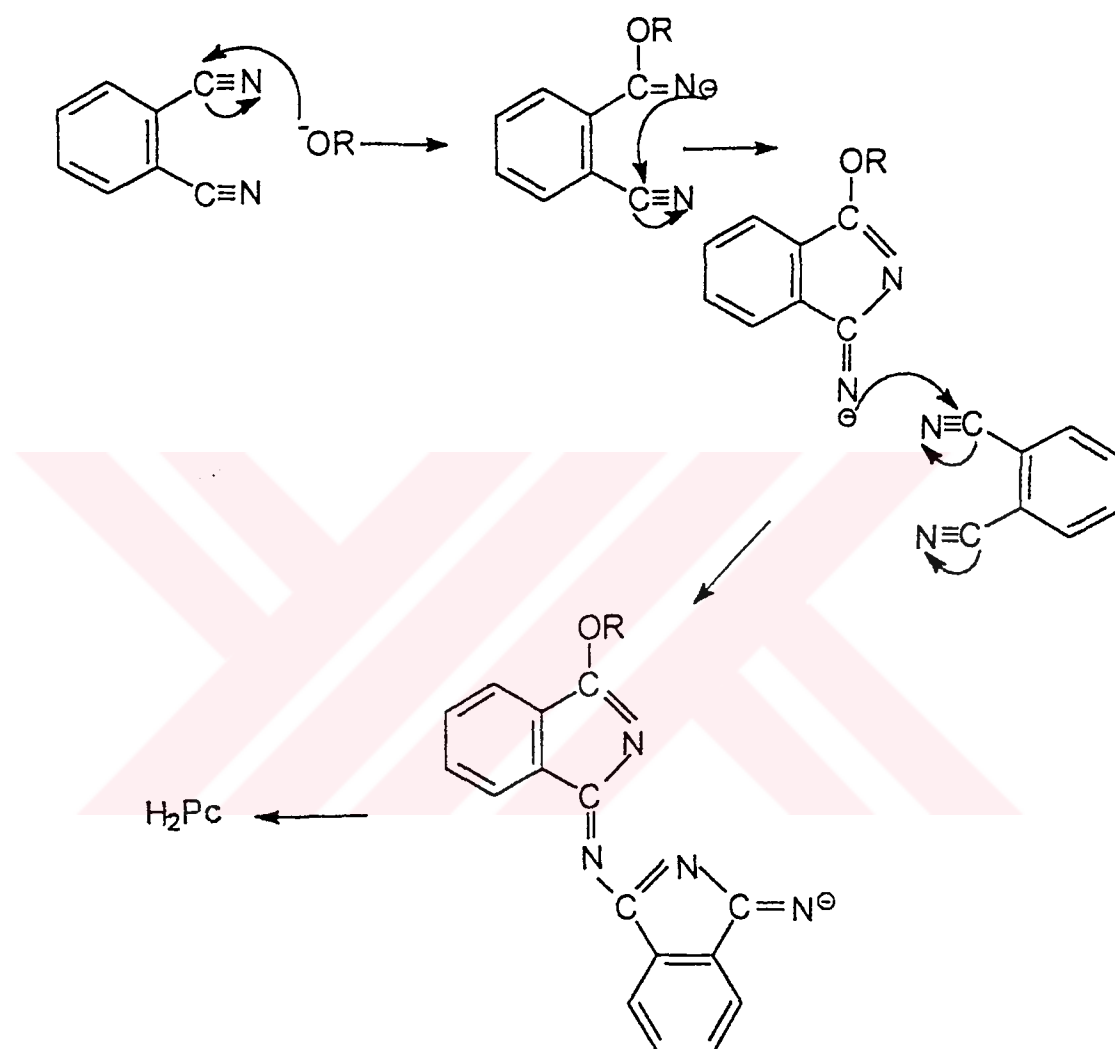
Şekil 2.24 2,9,17,24-tetra-*ter*-butil çinko(II)ftalosiyaninin oluşum mekanizması

Yapılan birçok çalışma, ftalonitrilin alkollü çözelti içinde oda sıcaklığında dahi, katalitik miktarda sodyum alkoksit varlığında metalsiz ftalosiyanının oluşturduğunu göstermiştir [75]. Ftalonitrilin nitril gruplarına nükleofilik atak yapan alkoksit anyonunun oluşturduğu, 1-alkoksi-3-iminoisoindolin (II) adlı ara ürün üzerinden metalsiz ftalosiyanının elde edilmektedir (Şekil 2.25).



Şekil 2.25 Ftalonitrilden alkoksit anyonu varlığında H_2PC sentezi

DBU veya DBN gibi bazı organik kuvvetli bazlar kullanılarak metalsiz ftalosianin oluşum mekanizması (Şekil 2.26)'da görülmektedir. DBN'nin DBU'dan verim açısından 2 kat daha etkili olduğu yapılan çalışmalarla bulunmuştur.



Şekil 2.26 Ftalonitriden DBU varlığında metalsiz ftalosianin oluşumu

Ftalosianin sentezinde reaksiyon, kinetik açıdan oldukça yüksek termik aktivasyon yada fotokimyasal aktivasyon enerjisi gerektirmektedir. Yüksek reaksiyon ısısında ftalosianin oluşumunun çok hızlı olması, ara ürünlerin izole edilmesine engel olmakta ve reaksiyon mekanizması tam olarak aydınlatılamamaktadır.

2.1.4 Ftalosiyaniñlerin Saflaştırma Yöntemleri

Sübstitüe olmamış ftalosiyaniñ ve onun metalli türevlerinde; süblimasyonla ve derišik asitte çözüp buzda çöktürme ile saflaştırma yapılmaktadır. Bu klasik saflaştırma yöntemlerinin uygulanabilirliği ftalosiyaniñ bileşiklerinin kuvvetli asitlere karşı olan dayanıklılığına ve yüksek sıcaklıklara kadar ısıtıldıklarında (500°C 'nin üstü) gösterdikleri kararlılığa bağlıdır. Bunlara ilave olarak bu maddelerin çoðunun çözünürlüklerinin çok az olması yeniden kristallendirme ve kromatografik yöntemlerin kullanılmasını imkansız kılmaktadır. Bu tür bileşikler için süblimasyon ve H_2SO_4 'de çözüp çöktürme işlemleri de uygulanamadığından sadece suyla ve organik solventlerle yıkanarak saflaştırma yapılabilmektedir.

Sübstitüe ftalosiyaniñler için öngörülen saflaştırma yöntemleri aşağıda sıralanmıştır [15].

- a. Derišik H_2SO_4 'de çözükten ve süzdükten sonra, soðuk suda veya buzlu suda yeniden çöktürme,
- b. Amino sübstitüe ftalosiyaniñleri derišik hidroklorik asit ile suda çözünür hale getirip organik kirlilikleri ekstrakte ettikten sonra, seyreltik bazla çöktürme,
- c. Alümina üzerinden kolon kromatografisi ve çözücüün uçurulması veya yeniden kristallendirme,
- d. Normal, flaþ ya da vakum metodlarını kullanarak silikagel üzerinden kolon kromatografisi yapıldıktan sonra çözücüün uçurulması ya da yeniden kristallendirme,
- e. Jel geçirgen kromatografisi (GPC),
- f. Safsızlıklar uzaklaştırıp, saflaştırılmış ftalosiyaniñleri elde etmek üzere çözünmeyen substitüe ftalosiyaniñleri çeşitli çözüçülerle yıkama,
- g. Çözünmeyen safsızlıklar uzaklaştmak için çözünen substitüe ftalosiyaniñlerin çeşitli çözüçülerle ekstraksiyonu ve çözücüün uçurulması ya da ekstrakte edilmiş substitüe ftalosiyaniñnin yeniden kristallendirilmesi,
- h. Süblimasyon yöntemleri,
- i. İnce tabaka kromatografisi (TLC) ve yüksek basınçlı sıvı kromatografisi (HPLC).

2.1.5 Ftalosiyaninlerin Kimyasal Özellikleri

Ftalosiyaninler, aromatik o-dikarboksilli asitlerden veya bu asitlerin amid, imid, nitril türevlerinden elde edilebilir. Ancak karboksil grupları doymamış aromatik gruba direkt olarak bağlı değilse ftalosiyanin sentezi mümkün olmamaktadır. Ayrıca ftalosiyanin sentezi için gerekli olan diğer bir şartta karboksil veya siyano gruplarını taşıyan karbon atomları arasında çifte bağ bulunmasıdır.

Ftalosiyanin molekülü oldukça gergin bir yapıda olup dört isoindol çekirdeğinden oluşmuştur. Ftalosiyanin molekülünün merkezini oluşturan, isoindolin hidrojen atomları metal iyonları ile kolaylıkla yer değiştirerek metal içeren ftalosiyaninlerin oluşumunu sağlar.

Metal içeren ftalosiyaninlerin eldesinde ortamda bulunan metal iyonunun template etkisi ürün veriminin yükselmesini sağladığından, metal içeren ftalosiyaninlerin eldesinde ürün verimi metalsiz ftalosiyanlere kıyasla daha yüksek olmaktadır.

Ftalosiyaninlerin kimyasal özellikleri büyük ölçüde merkez atoma bağlıdır. Metal içeren ftalosiyaninlerin kararlılığı ise, ancak metal iyonu çapının, ftalosiyaninin ortasındaki oyuk çapına uygun olmasınayla gerçekleşir. Metallerin iyon çapı, ftalosiyanin molekülünün oyuk çapı olan 1.35 \AA 'dan önemli derecede büyük veya küçük olduğunda metal atomları ftalosiyaninlerden kolayca ayrılabilir.

Metallo ftalosiyaninlerin genel olarak elektrovalent ve kovalent olmak üzere iki tipi vardır. Elektrovalent ftalosiyaninler genellikle alkali ve toprak alkali metallerini içerirler ve organik çözücülerde çözünmezler. Seyreltik anorganik asitler, sulu alkol, hatta su ile muamele edildiğinde metal iyonu molekülden ayrılır ve metalsiz ftalosiyanin elde edilir. Lityum ftalosiyanin diğerlerinden farklı olarak alkol içinde oda sıcaklığında çözünür ve diğer metal tuzları ile muamele edildiğinde, tuzun katyonu ile lityum yer değiştirir ve yeni bir ftalosiyanin oluşur.

Kovalent ftalosiyanin kompleksleri elektrovalent olanlara kıyasla daha kararlıdır. Bazı türleri inert ortamda vakumda $400-500 \text{ }^{\circ}\text{C}$ sıcaklıkta bozunmaksızın süblimleşirler.

Nitrik asit dışında anorganik asitlerle muamele edildiklerinde yapılarında herhangi bir değişiklik olmaz. Bunun nedeni, metal ile ftalosianin arasındaki bağın oldukça sağlam olması ve bütün molekülün aromatik karakter taşımasıdır.

Üç veya daha yüksek değerlikli metal iyonlarının ftalosianin komplekslerini elde etmek mümkündür. Bu komplekslerde metalin (+2) değerliği ftalosianin ile karşılaşırken geriye kalan bağlar ortamda bulunan uygun anyonlar tarafından doldurulur.

Ftalosianinler genel olarak suda çözünmezler. Elektrovalent ftalosianinlerin organik çözüçülerde çözünürlüklerinin olmamasına karşılık, kovalent türde olanlar 1-klornaftalen, kinolin gibi bazı organik çözüçülerde çözünürler. Buna karşılık ftalosianinlere çeşitli sübitüe grupların eklenmesiyle organik çözüçülerdeki çözünürlükleri artırılabilir. Bütün ftalosianinler nitrik asit ve potasyum permanganat gibi kuvvetli oksitleyici reaktiflerle muamele edildiğinde yükseltgenme ürünü olarak ftalimide dönüşürler. Bakır ftalosianin seryum sülfatlı ortamda kolaylıkla yükseltgenir ve bu özellik bakır ftalosianinlerin kantitatif analizlerinde kullanılır.

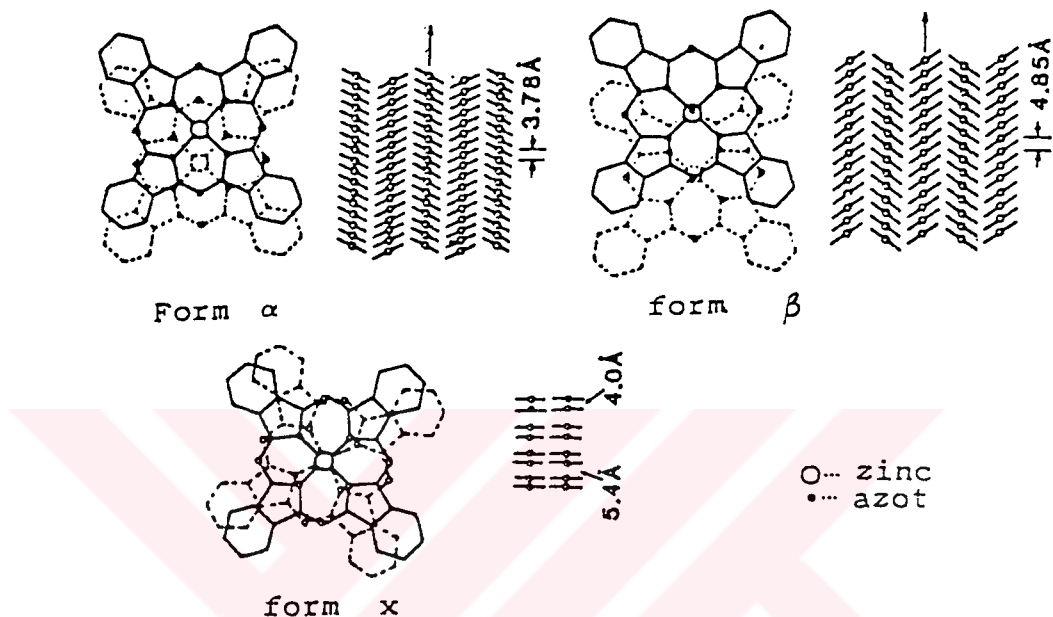
Metal ftalosianinlerin ilginç bir özelliği, oksidasyon reaksiyonlarında katalizör görevi yapmasıdır. Ftalosianin varlığında, benzaldehit hava ile oksitlenerek benzoik asite dönüşebilir. Kobalt ftalosianin, sülfit artıklarının sülfatlara oksidasyonu reaksiyonunda katalizleyici olarak kullanılır. Ftalosianinler kolayca sülfolanabilir, ancak nitrik asitte bozunduklarından nitrolanamazlar.

2.1.6 Ftalosianinlerin Fiziksel Özellikleri

Sübstitüe olmamış ftalosianinlerin ticari önem taşıyan α -formu ve β -formu olmak üzere iki tip kristal yapısı yanında, α -formunun öğütülmesiyle elde edilen üçüncü bir yapı olarak γ -formu vardır (Şekil 2.27) [76-78].

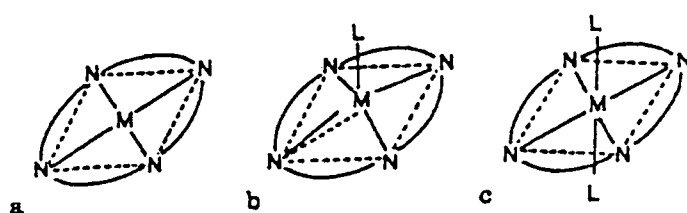
Kararlılık, renk ve çözünürlük açısından fark gösteren bu kristal yapılardan β -formu, α -formuna göre daha kararlıdır ve en çok rastlanan yapıdır. α -Yapısı, sentez sırasında polar çözüçüler kullanılarak elde edilebilir. Derişik sülfat asidi içinde çözünmüş

ftalosiyaninin hızla seyreltilmesi ile α -formunun çökmesi bu olaya örnek verilebilir. Daha kararlı olan β -formu ise, sentez sırasında organik çözücü kullanıldığında oluşur. α -formu yüksek sıcaklıklara ısınılır veya aromatik karakterli organik çözücülerle muamele edilirse β -formu elde edilir [26].



Şekil 2.27 Metallo ftalosiyaninlerin kristal yapılarının şematik olarak gösterimi

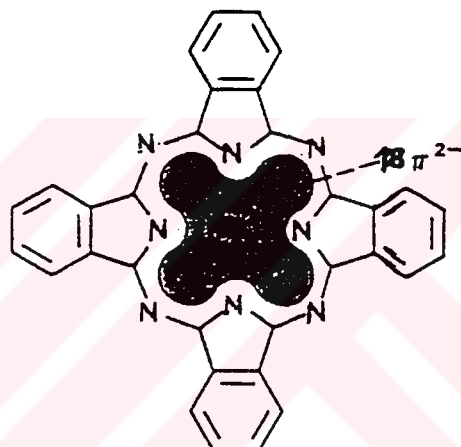
Ftalosiyaninlerin kristal yapısı bir merkezi simetriye sahip yaklaşık kare düzlem moleküllerin varlığını gösterir. Bu merkez, kristal kafeste bir bükülme olmaksızın 2 hidrojen atomu veya Ni, Pt, Cu, Zn vs. metallerle doldurulur. Metallo ftalosiyanin molekülünün simetrisi D_{4h} simetrisine sahiptir. Çeşitli moleküllerin eksenel olarak metale bağlanmasıyla, kare düzlemselden beş koordinasyonlu prizmal yapıya veya altılı koordinasyonlu sistemlere dönüşür (Şekil 2.28).



Şekil 2.28 Ftalosiyanin molekülünün geometrik yapısının şematik gösterimi
a)Kare düzlemsel, dört koordinasyonlu, b)Kare tabanlı piramit, beş koordinasyonlu, c) Tetragonal, altılı koordinasyonlu

İki değerlikli geçiş metalleri ftalosiyanyan molekülünün kavitesine uygun gelirken; Sn^{2+} , Pb^{2+} gibi iyonik yarıçapı büyük olan iyonlar makrosiklik düzleminin dışına çıkar.

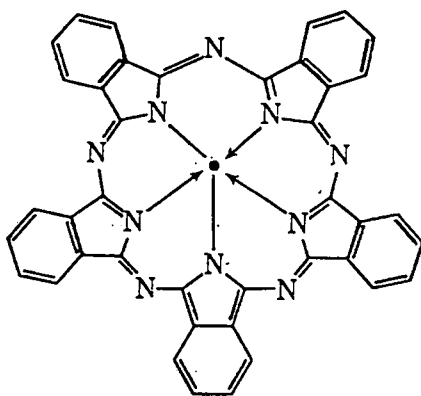
Sübstitüent içermeyen ftalosiyanyan moleküllerinin röntgen yapı analizleri, π -elektronlarınca zengin olan ftalosiyanyan ligandının rezonans durumları hakkında bilgi verir. Sübstitüent içermeyen ftalosiyanyanlerde benzen halkaları benzenoid yapılarını korurlar (Şekil 2.29). Bu makrosiklik halka 16 atomu ve 18 π -elektron sistemiyle Hückel Kuralına göre aromatik bir yapıdadır. Makrosiklik halkaya iki proton ya da bir metal iyonu bağlanmasıyla nötralite sağlanmaktadır.



Şekil 2.29 Ftalosiyanyanların en düşük enerjideki rezonans yapısı

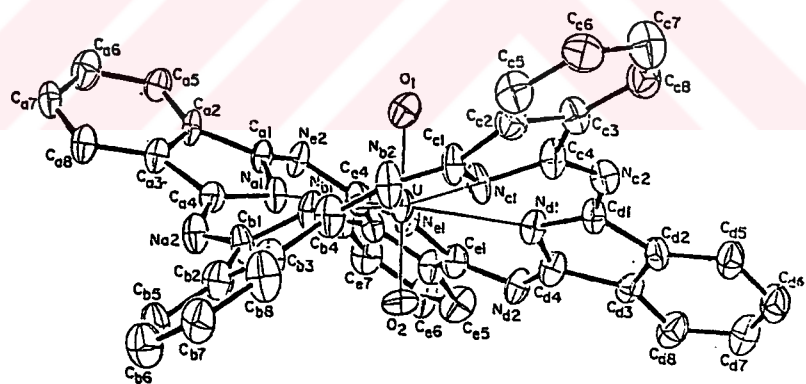
Ftalonitrilin uranil iyonu varlığında kondenzasyonu beş isoindol birimi içeren ve süperftalosiyanyan (SPcUO_2) adı verilen bir makro halka oluşumu ile sonuçlanır (Şekil 2.30).

Konjugeli 18 π -elektron sistemine sahip ftalosiyanyanlerden farklı olarak, süper ftalosiyanyanlar ftalosiyanyanlar 22 π -elektron sistemine sahiptirler. Çoğu ftalosiyanyanlerde metal-azot bağı uzunluğu yaklaşık 1.85-2.05 Å iken, superftalosiyanyanlerde uranil-azot bağı uzunluğu 2.5-2.6 Å civarındadır.



Şekil 2.30 Uranil ftalosiyanyan (süperftalosiyanyan)

Superftalosiyanyan molekülünün kavitesine son derece uygun olan uranil katyonu (UO_2^{2+}) superftalosiyanyanının kararlılığında önemli rol oynar. X-ışını çalışmalarları, superftalosiyanyanların beşgen bipiramidal geometriye sahip olduğunu ve düzlemsellikten sapmanın 0.2 \AA olduğunu göstermiştir (Şekil 2.31) [79].



Şekil 2.31 Superftalosiyanyanının kristal yapısı

Ftalosiyanyan bileşiklerinin çoğunun erime noktası yoktur. Yüksek vakumda ve 500°C 'nin üzerinde süblimleşirler. Bazı ftalosiyanyanlar vakum altında 900°C 'de dahi stabildirler.

Ftalosiyanyanlar, kristal modifikasyonlarının, metal iyonlarının, periferal ve eksenel sübitüentlerinin değiştirilmeleri veya herhangi bir elektron akseptörle doplanmaları

halinde, yarı iletken ve metalik iletken özellik göstermektedirler. İletkenlikleri 10^{-15} ile 10^{-1} Scm^{-1} arasında değişmektedir.

Ftalosiyainlerin iletkenlikleri, intermoleküler yapıda değişiklik yapılarak ya da nitroziltetrafloroborat, Br_2 ve özellikle I_2 gibi elektron akseptörlerle doplanarak önemli ölçüde artırılmaktadır. Bu sayede ftalosiyainlerin iletkenlikleri 10^3 Scm^{-1} 'e kadar yükselebilmiştir.

2.1.7 Ftalosiyainlerin Sübtitüsyon Reaksiyonları ve Türevleri

Aromatik karakter taşıyan ftalosiyainlere nükleofilik aromatik sübstitüsyon, elektrofilik aromatik sübstitüsyon gibi aromatik kimyanın bilinen reaksiyonları uygulanabilir. Metallo ve metalsiz ftalosiyainlerin halojenasyon, sülfolama ve nitrolama gibi elektrofilik aromatik sübstitüsyon reaksiyonlarından elde edilen ürünler tek değil, bir karışım halindedir.

Metalsız ftalosiyainler merkezde 2, dış benzen halkalarında 16 tane olmak üzere toplam 18 hidrojen atomu içerirler. Merkezdeki hidrojenlerin sadece metal iyonlarıyla yer değiştirebilme özelliğine karşılık, benzen halkalarında bulunan hidrojen atomları birçok uygun sübstituentle yer değiştirebilir. Bundan dolayı erimiş NaCl veya ftalikanhidrit içinde doğrudan klorlama ile benzen halkaları üzerinde mevcut olan 16 uygun yer kısmen veya tamamen klor atomları ile doldurulabilir.

Ftalosiyain türevlerini elde etmek için kullanılan başlıca iki yöntem vardır:

1. Direkt Yöntem
2. İndirekt Yöntem

Direkt yöntemde, ftalosiyainin doğrudan doğruya reaksiyona sokulmakta ve elde edilen üründe sübstituentler gelişigüzel bir dağılım göstermektedir. İndirekt yöntemde, önce ftalosiyainini oluşturacak başlangıç maddesi sübstitüsyon reaksiyonuna sokulmakta, daha sonra ftalosiyainin sentezi gerçekleştirilmektedir. Böylelikle sübstituentler halka üzerinde eşit olarak dağılmış olacaktır.

Sübstitüe ftalosiyinler, sübstitüe olmayanlara göre farklı özellikler gösterirler. Bu farklar içinde en önemlisi, ftalosiyin çekirdeğine dallanmış büyük bir grubun ilavesiyle çözünürlüğün değişmesidir. Bazı durumlarda oksokromik grubun ftalosiyin çekirdeğine ilavesi ile daha donuk ve açık yeşil renkte ürün elde edilir. Alkoksi, ariloksi, alkilmerkapto veya arilmerkapta gruplarının ftalosiyin ilavesi ile molekülün rengi yeşile kayar. Açıł ftalosiyinler ftalosiyin bileşiği ile açılı klorürler arasındaki Friedel Crafts reaksiyonu ile hazırlanmaktadır.

Aminoftalosiyinler kuvvetli asitlerle muamele edildiklerinde kuaterner tuzu oluştururlar. Bu olay sonunda halkadaki elektron yoğunluğu azaldığından ftalosiyin rengi maviye döner. Amino grupları hidroklorik asitli ortamda kolaylıkla diazolanabilir ve bu diazo bileşiği kenetlenme ve yer değiştirme reaksiyonları için uygun bir ara ürün oluşturur.

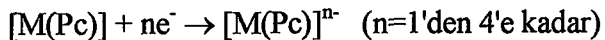
Ftalosiyinler direkt olarak nitrolanamazlar. Bunun nedeni, ftalosiyinlerin kuvvetli oksitleyici reaktiflerle kolaylıkla yükseltgenerek ftalimide dönüşmeleridir. Ftalosiyinlerin nitro türevlerinin eldesinde en iyi yol, nitroftalonitril veya nitroftalimidin uygun çözücü içinde metal tuzu ile ısıtılmasıdır.

2.1.8 Ftalosiyinlerin Redoks Reaksiyonları

Ftalosiyin kompleksleri kimyasal ve elektrokimyasal olarak kolaylıkla hem indirgenebilip hem de yükseltgenebildiklerinden, redoks reaksiyonlarındaki bu davranışları; redoks potansiyeli enerji durumunun belirlenmesi, indirgenmiş ya da yükseltgenmiş ftalosiyinlerin preparatif kimyaya kazandırılması ve aktif komponent olarak fotoredoks proseslerde kullanılması bakımından önem kazanmaktadır [80]. Redoks ürünleri manyetik suszeptibilite, elektron spin rezonans (ESR), elektronik spektrumlar ile karakterize edilebilmektedir. Bu veriler, elektron ilavesinin ligandin en düşük seviyedeki boş anti-bağ π orbitalerine olduğunu göstermektedir [14].

Divalent metal iyonlarının ftalosiyin kompleksleri kimyasal ve elektrokimyasal olarak indirgenebilir. Bunun için genellikle alkali metaller gibi kuvvetli indirgeyici maddeler kullanılır. Tetrahidrofuran (THF) içinde metallo ftalosiyin $[M(Pc)]$ sodyum

ve dilityum benzofenonla olan reaksiyonu sonucunda $[M(Pc)]^{\cdot}$ şeklinde bir seri anyon elde edilebilir.



$M=Mn(II)$, $Fe(II)$, $Co(II)$, $Cu(II)$, $Zn(II)$, $Mg(II)$ ve $Al(III) Cl$.

$Cu(Pc)$ 'de ilk indirgenme ürünü indirgenmiş $(Pc)^{\cdot}$ ligandının $Cu(II)$ kompleksi olan $[Cu(Pc)]^{\cdot}$, ikinci ürün ise $(Pc)^{\cdot}$ ligandının $3d^{10}$ kompleksi olan $Cu(I)$ 'dir. $[Zn(Pc)]$, $[Al(Pc)Cl]$, $[Ni(Pc)]$ ve $[Mg(Pc)]$ komplekslerinde redüksiyon ftalosiyanyanın ligandında olurken, metalde bir redüksiyon yoktur. $[Cr(Pc)]$, $[Mn(Pc)]$, $[Fe(Pc)]$ ve $[Co(Pc)]$ komplekslerinde ise redüksiyon hem metalde, hem de ligandda olabilir. Birçok zor çözünen nötral $[M(Pc)]^{\cdot}$ 'nin aksine, $[M(Pc)]^{n\cdot}$ ler polar organik çözücülerde çok iyi çözünürler.

Ftalosiyanyanların geçiş metal komplekslerinin ölçülen oksidasyon değerlerine göre kolay yükseltgenebilme sırası; $Mn(II) > Fe(II) > Co(II) > Ni(II)$ şeklindedir. $Zn(II)$, $Cu(II)$, $Ni(II)$ için ftalosiyanyanın ligandi yükseltgenirken, $Mn(II)$, $Fe(II)$ ve $Co(II)$ halinde metal $M(II) \rightarrow M(III)$ şeklinde yükseltgenmektedir.

Ftalosiyanyanın kompleklerinin kolaylıkla indirgenebilip, yükseltgenebilmeleri, ftalosiyanyanın halkasındaki artan delokalizasyonun bir sonucudur. Değişik redoks basamaklarında bulunan maddeler keskin ve birbirinden oldukça farklı çözünme renkleri vermektedir.

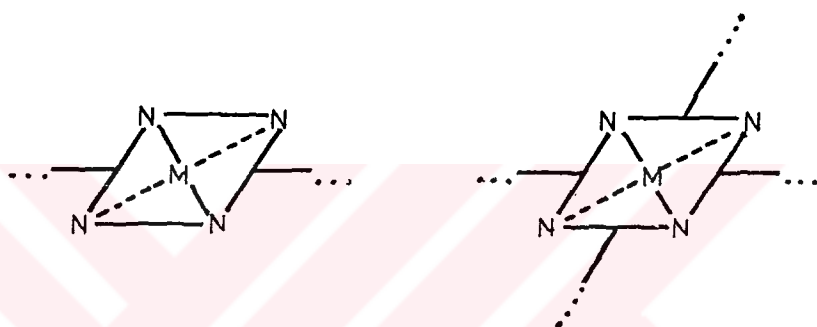
Elektrokimyasal ölçümeler, redoks potansiyelinin kalitatif olarak tespit edilmesi amacıyla ve genelde ftalosiyanyanların çözünürlüğüne göre organik çözüclülerde ve suda yapılmaktadır. Metod olarak sıkılık voltametri veya polarografi kullanılmaktadır.

2.1.9 Polimerik Ftalosiyanyanlar

Polimerik ftalosiyanyanların sentezi yeni özellikte materyaller için geniş bir kullanım alanı açmıştır. Metal iyonu, ligand ve polimerik grubun kombinasyonu, oluşan

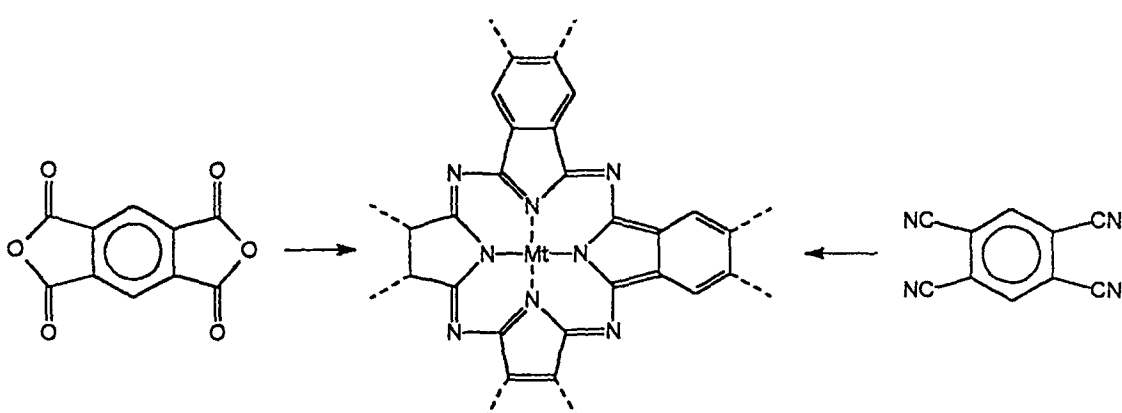
ftalosiyanyinin kimyasal ve fiziksel özelliklerini belirler. Çeşitli sentez yöntemleriyle hazırlanan polimerik ftalosiyanyinler şu şekilde grupperlabilir:

A tipi polimerler: Bu tip polimerlerde, ligand bir polimer ağının veya polimer zincirinin parçasıdır (Şekil 2.32). Bu tip polimerlerin çözünürlüklerinin olmaması, yapı tayinini oldukça zorlaştırmaktadır. Ancak bazıları derişik sülfirik asitte çözünür. Bu tip polimerik ftalosiyanyinler yüksek termal stabilité, iyi katalitik özellik ve elektrokimyasal aktivite gösterirler.



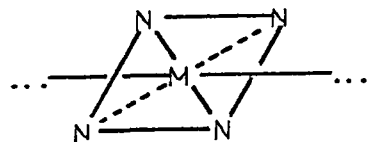
Şekil 2.32 A tipi polimerler

Ftalosiyanyin sisteminin içerdigi, aynı reaktivitede ve eşit pozisyondaki dört benzen halkası üzerinden, ftalosiyanyin halkalarının birbirleriyle bağlanması sonucu oluşan ve network polimerler adı verilen A tipi iki boyutlu polimerik ftalosiyanyinler; 1,2,4,5-tetrasiyonabenzen veya tetranitril türevlerinin polisiklotetramerizasyonu sonucu sentezlenir (Şekil 2.33).



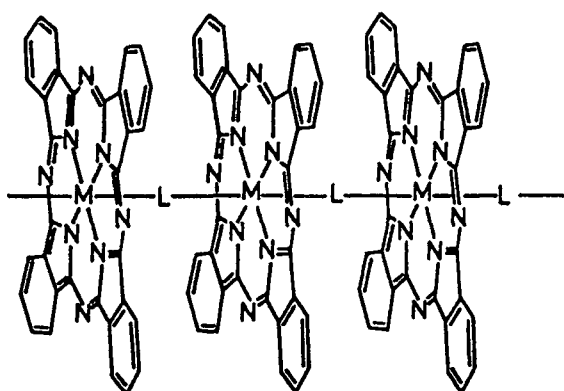
Şekil 2.33 İki boyutlu polimerik ftalosiyanyin (Network polimer)

B tipi polimerler: Ftalosiyanyan molekülündeki metal atomu, polimer zincirinin bir parçasıdır (Şekil 2.34). Bu tip polimerler, ftalosiyanyanların dizilme şekillerinden dolayı yüksek iletkenliğe sahiptirler.



Şekil 2.34 B tipi polimer

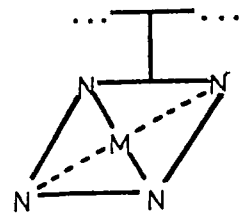
Bifonksiyonel köprü ligandları ile ftalosiyanyan molekülündeki merkez geçiş metal atomlarının biaksiyal olarak birbirleriyle bağlanması sonucu oluşan ve şiş-kebab adı verilen B tipi tek boyutlu polimerik ftalosiyanyanlar; metallo ftalosiyanyanların uygun bir solvent içinde (aseton, kloroform, benzen) veya solventsiz bir ortamda bifonksiyonel ligandlarla reaksiyonu yoluyla yüksek saflıkta ve yüksek verimle sentezlenirler. Köprü ligandları pirazin (pyz), tetrazin (tz), bipiridin (bpy) gibi konjuge π -elektron sistemine sahip lineer organik moleküllerdir. Trivalent geçiş metalleri (Fe^{3+} , Co^{3+} , Rh^{3+}) takdirinde siyanür (CN^-), tiyosiyanyat (SCN^-) gibi köprü ligandları kullanılabilir (Şekil 2.35) [81,82].



Şekil 2.35 Tek boyutlu polimerik ftalosiyanyanın (şiş-kebab polimer)

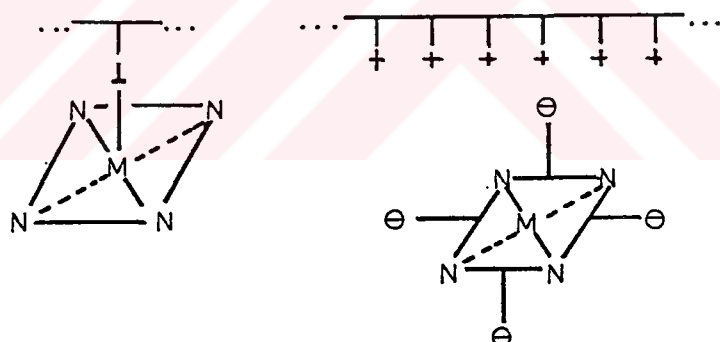
Bu tip polimerlerin uzun dalga boylarında (700-800 nm) absorbans vermeleri ftalosiyanyan molekülleri arasında elektron transferi olduğunu göstermektedir.

C tipi polimerler: Bu tip polimerlerde ise, ftalosiyaninler polimer zincirine, ligand üzerinden kovalent bağla bağlanırlar (Şekil 2.36). Lineer polimerlerdeki bu bağlanması şekli, elektron transferi ve fotoelektron transferi reaksiyonları gibi konularda araştırmaların yapılmasını sağlayacak, çözünür polimerlerin eldesini mümkün kılar.



Şekil 2.36 C tipi polimerler

D tipi polimerler: Bu tip polimerik ftalosiyaninler, bir polimerik donör ligandla, metal ftalosiyaninin koordinatif olarak girişimiyle, ya da yüklü bir polimer zincirinin yüklü bir ftalosiyanine elektrostatik olarak bağlanmasıyla oluşur (Şekil 2.37).



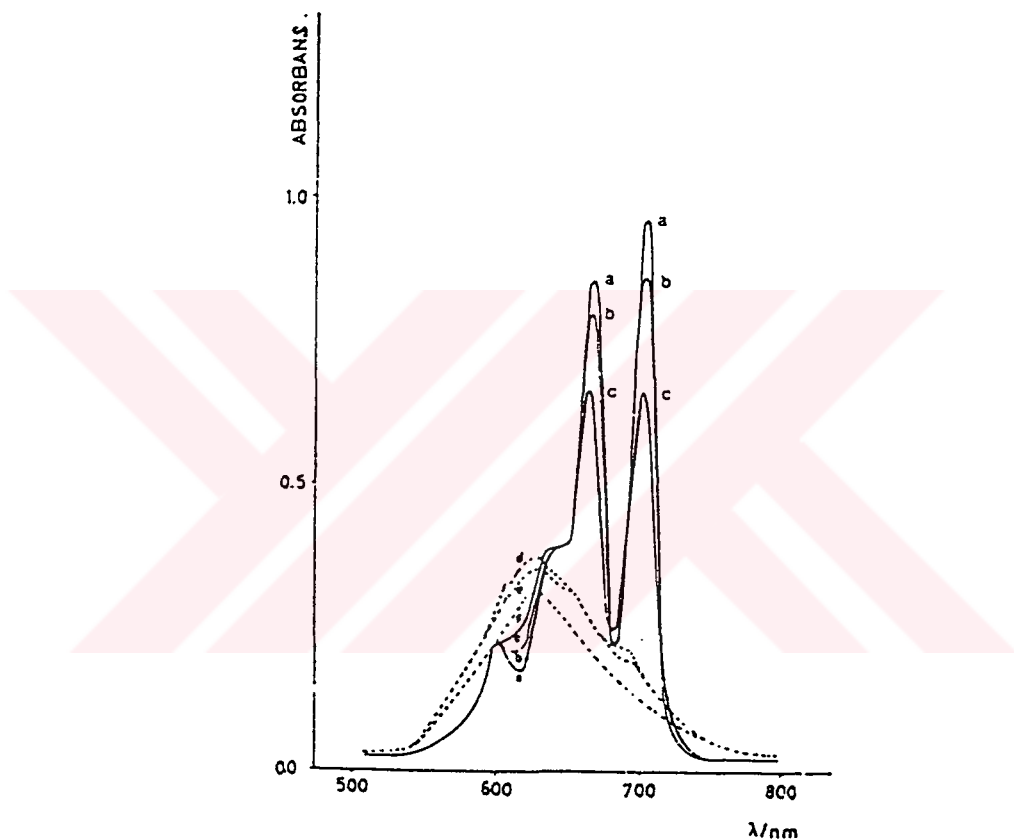
Şekil 2.37 D tipi polimerler

E tipi polimerler: Bir organik ya da inorganik polimer matriksi içine fiziksel olarak ftalosiyanin molekülünün alınmasıyla oluşan en basit polimerik ftalosiyanin tipidir.

2.1.10 Ftalosiyaninlerin Spektral Özellikleri

Çok keskin renkli ve π -elektronca zengin ftalosiyaninler görünür ve ultraviole bölgede karakteristik absorbsiyon pikleri verirler. Ftalosiyaninlerin, bilinen organik çözücülerde

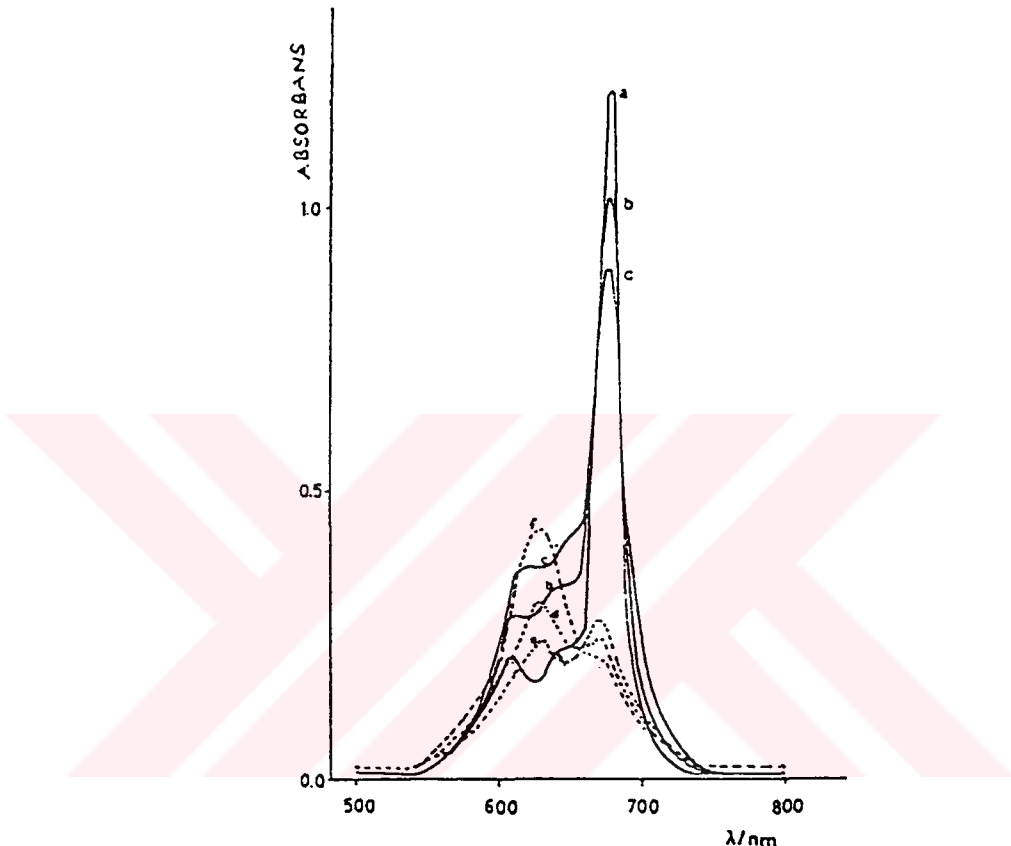
10^{-4} , 10^{-5} M konsantrasyonlarda yapılan UV/VIS ölçümlerinde, Q bandları olarak adlandırılan şiddetli $\pi \rightarrow \pi^*$ geçişleri 600-700 nm aralığında görülmektedir. Bu aralık aynı zamanda metalsiz ve metallo ftalosiyaniner ayırtetmek için de karakteristik bir bölgedir. Metalsiz ftalosiyanler 600-700 nm aralığında eşit iki band verirler. Çözücü konsantrasyonuna ve polaritesine bağlı olarak spektrum üzerinde farklılıklar meydana gelmektedir (Şekil 2.38).



Şekil 2.38 Metalsiz ftalosiyaninin çeşitli çözüçülerdeki görünür bölge absorbsyon spektrumu: a) kloroform, b) diklormetan, c) piridin, d) etanol, e) 1- bütanol,f) metanol.

Metallo ftalosiyaniner ise; aynı bölgede şiddetli tek bir band verirler. Metallo ftalosiyaninerde $\pi \rightarrow \pi^*$ geçişleri; çözücü konsantrasyonu ve polaritesine ilaveten metal iyonuna bağlı olarak da değişmektedir. Genelde metallo ftalosiyaninerin kloroform içinde alınan UV/Vis spektrumlarında 675 nm'de şiddetli bir band, 640 nm'de bir omuz ve 610 nm'da zayıf bir band gözlenir. Bu bandlar monomerik ftalosiyaninden kaynaklanmaktadır. Metanol gibi polar çözüçülerde spektrum alındığında 675 nm'deki Q bandının şiddetinin oldukça azlığı, 630 nm'de yeni bir band meydana geldiği

görülür. Bu da bize agregat oluşumunu göstermektedir (Şekil 2.39)'da bakır ftalosiyaninin çeşitli çözüçülerdeki görünür bölge absorbsiyon spektrumları verilmiştir. Bakır ftalosiyanın türevleri için agregasyon, kloroform < diklormetan < piridin < 1-butanol < etanol < metanol çözücü sıralamasında artar.



Şekil 2.39 Bir bakır ftalosiyanın türevinin çeşitli çözüçülerdeki görünür bölge absorbsiyon spektrumu: a) kloroform, b) diklormetan
c) piridin,d)etanol, e) butanol, f) metanol.

Aynı şekilde, konsantrasyonun yeterince düşük olduğu durumlarda ($c < 10^{-5} M$) sadece monomer yapı sözkonusu olmakta ve iki absorbsiyon bandından 700 nm civarında görülen band şiddetlenmektedir. Konsantrasyonun artışı agregasyonu meydana getirdiğinden; dimer, trimer, vs. oluşumu sonucunda 600 nm civarındaki bandın şiddeti artarken diğeri azalmaktadır [14,15].

Ftalosiyanlerin UV/Vis spektrumlarında 300 nm civarında görülen karakteristik Soret bandları (B bandı) da, $\pi \rightarrow \pi^*$ geçişlerine karşı gelmektedir.

Detaylı olarak incelenen ftalosianinlerin IR ve Far-IR spektrumlarında gözlenen bandların sayısındaki fazlalık ve makrosiklik sistemin çok büyük olması nedeniyle, tüm bandların karakterize edilmesi güçleşmektedir. Metalsiz ve metallo ftalosianinlerin IR spektrumları arasındaki fark iyi bilinmektedir. Farklı metallo ftalosianinlerin IR spektrumları arasında gözlenen fark ise, aynı metallo ftalosianinlerin α ve β formları arasındaki farktan az olmaktadır.

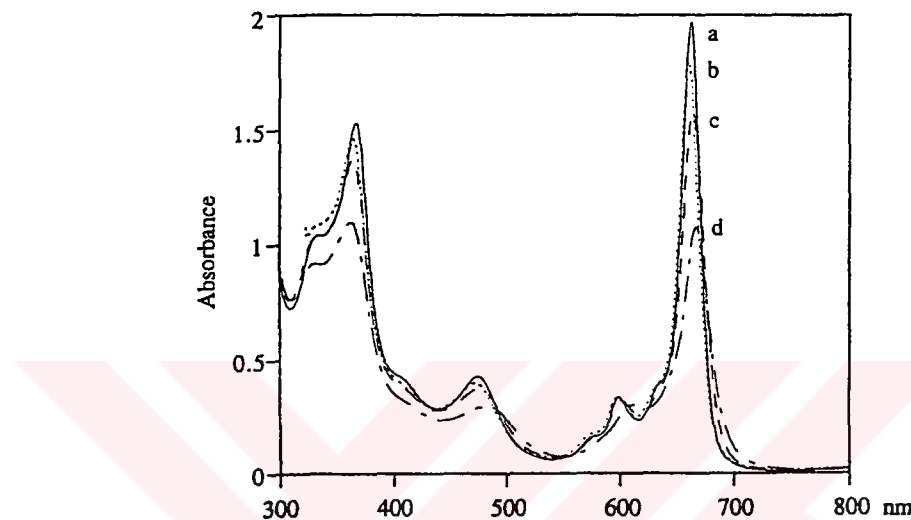
Çözünebilen ftalosianin türevlerinin sentezi, NMR ölçümelerinin yapılabilmesini mümkün kılmıştır. Metalsiz ftalosianinlerin $^1\text{H-NMR}$ spektrumunda göze çarpan en karakteristik özellik, düzlemsel yapıdaki 18 π -elektron sisteminin etkisiyle, ftalosianin çekirdeğindeki NH protonlarının TMS'den daha kuvvetli alana kaymasıdır. Ayrıca çözücü konsantrasyonuna ve agregasyona bağlı olarak ftalosianinlerin $^1\text{H-NMR}$ spektrumunda piklerin genişlemesi sözkonusu olmaktadır.

Ftalosianinlerin kütle spektrumlarından, moleküler iyonların stabilitesi ve moleküler parçalanma hakkında fikir sahibi olunabilmektedir. Genelde metal ftalosianinlerin spektrumları başlıca $[\text{M}(\text{Pc})]^+$ ve $[\text{M}(\text{Pc})]^{2+}$ moleküler iyonlarını gösterirler. M=Pt(II), Zn(II), Co(II), Cu(II) ve Ni(II) olduğunda metalin ayrılması ve ftalosianin molekülünün parçalanması temel işlem değildir. Buna karşılık M=Mn(II) olduğunda parçalanma sözkonusudur ve $[\text{Mn}(\text{Pc})]^+$ ve $[\text{Mn}(\text{Pc})]^{2+}$ iyonlarının stabil olmadığı da görülmektedir. Ayrıca bazı trivalent metal komplekslerinin kütle spektrumunda [M=Al(III), Mn(III)] stabil moleküler iyonlar görülür. Bunlar çeşitli değerlerdeki komplekslerin stabilitelerinin metale göre değiştiğini göstermektedir.

Oldukça ilginç özelliklere sahip nadir toprak metal ftalosianin komplekslerinin spektroskopik teknikler kullanarak moleküler ve elektronik yapıları hakkında daha sınırlı bilgi sahibi olunmasına karşılık, Lutesyum ftalosianinlerle ilgili çok geniş ve detaylı çalışmalar yapılmış ve yayınlanmıştır [15,26, 41-46].

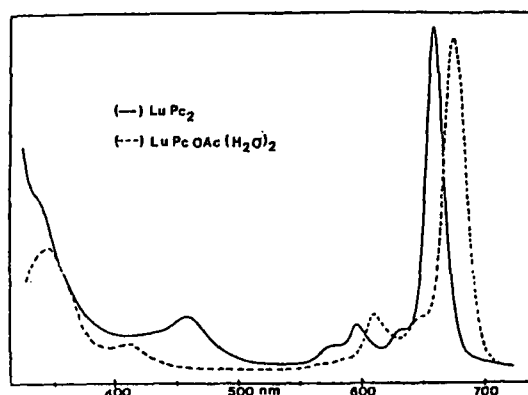
Renklerine göre yeşil $[\text{LuPc}_2]$ ve mavi $[\text{LuHPc}_2]$ olarak adlandırılan nötral bisftalosianinler, merkez metal iyonunun aynı oksidasyon sayısına sahip olması ve sandviç yapılarından dolayı, benzer elementel analiz sonuçlarını vermelerine rağmen kimyasal ve spektroskopik özellikleriyle birbirlerinden farklıdır.

Tüm lutesyum komplekslerinin elektronik absorbsiyon spektrumu, tipik Q ve Soret bantları gösterirken, LuPc_2 bu bandlara ilaveten 450-470nm civarındaki ilave bir band (serbest radikal bandı) ile karakterize edilir. Çözücü konsantrasyonu ve polaritesine bağlı olarak spektrum üzerinde farklılıklar meydana gelmesine rağmen, bu etki monoftalosiyelerde görülen etkiden daha az olmaktadır (Şekil 2.40) [83].



Şekil 2.40 Lutesyum bisftalosiyerinin $[\text{LuPc}_2]$ çeşitli çözümlerdeki elektronik absorbsiyon spektrumu: a) diklorometan, b) aseton, c) metanol, d) su

Lutesyum monoftalosiyeler ($\text{LuPcX}, \text{X}=\text{anyon}$) 450nm civarında serbest radikal bandının gözlenmediği basit bir absorbsiyon spektrumu ile karakterize edilir (Şekil 2.41) [84]. Mono komplekslerde, bis komplekslerin aksine temel absorbsiyon bandının (Q bandı) pozisyonu üzerinde merkez metal iyonunun önemli bir etkisi yoktur.



Şekil 2.41 Bir Lutesyum bisftalosiyerinin $[\text{LuPc}_2]$ ve monoftalosiyerinin $[\text{LuPcX}]$ türünün UV/Vis spektrumu

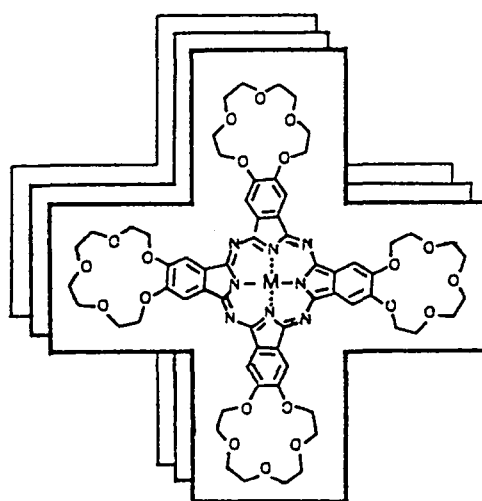
LuHPc_2 'nin elektronik spektrumunda ise, LuPc_2 'ye kıyasla Q bandı daha genişir ve maviye kayma gözlenir. Ayrıca 700 nm'nin üzerinde Q bandına oranla çok daha az şiddette bir band gösterirken, (PC^-) anyonuna ait bant görülmemektedir.

Lutesyum ftalosiyanın türevlerinin bütün nötral yeşil formları radikalik yapılarından dolayı paramagnetiktir [85] ve $^1\text{H-NMR}$ spektrumlarında aromatik çekirdek üzerindeki protonlar gözlenmez. Ayrıca aromatik çekirdek merkezine yakın yan zincirlerdeki protonlar da, paramagnetik merkezden etkilendiği için görülmemektedir. LuPc_2 'nin indirgenmesiyle diamagnetik bir anyon, yükseltgenmesiyle de diamagnetik bir katyon olduğundan, nötral formda gözlenemeyen kimyasal kaymalar ortaya çıkar. Nötral mavi bisftalosiyanın ve monoftalosiyanın türevleri diamagnetik özelliğe sahip olduklarıdan aromatik çekirdek üzerindeki protonlar görülebilmektedir.

2.1.11 Yeni Tip Ftalosiyaniner

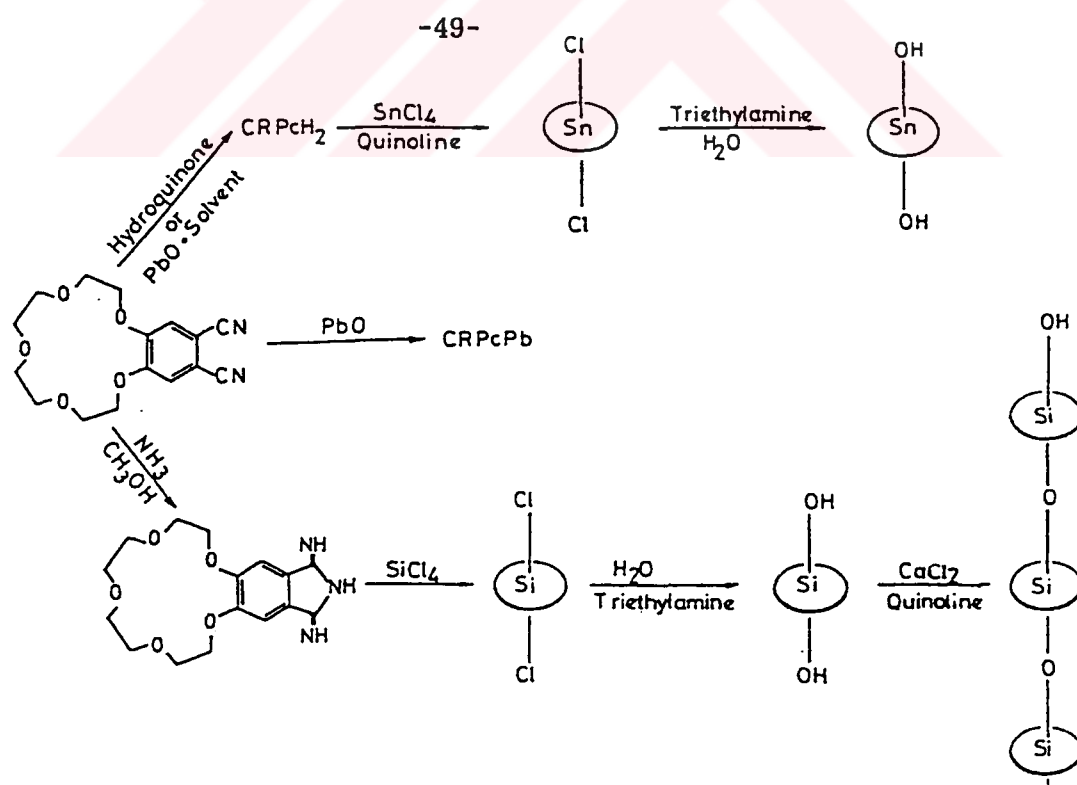
Ftalosiyaninerin yüksek kaynayan çözüçülerde bile çözünürlüğünün az olması; bu bileşiklerle ilgili araştırmaların sınırlı kalmasına neden olmuştur. Ftalosiyanın çekirdeğine periferal substituentlerin eklenmesi, ftalosiyaninerin hem çözünürlüklerini hem de fiziksel ve kimyasal davranışlarını önemli ölçüde etkilemiştir. Bu amaçla, değişik sübstiyentler içeren ftalosiyaniner sentezlenerek, özellikleri incelenmiştir.

Makrosiklik bir madde sınıfı olan taç eterler grubumuz tarafından ilk defa kullanılarak, benzo 15-crown-5'in bromlandırıldıktan sonra CuCN ile kinolin veya piridin içinde siklotetramerizasyonu ile taç eter sübstiyet ftalosiyanın elde edilmiştir [86]. Bu reaksiyonda oluşan bakır ftalosiyanın organik çözüçülerde çok iyi çözünmeyece ve alkali metal iyonları mevcudiyetinde agregasyon göstermektedir [86,87]. Bu bileşik, taç eterlerin alkali metalleri tutma özelliğinden yararlanılarak sulu fazdan organik faza metal iyonlarının geçişine olanak vermiştir. Sonuçlar katyonlar arasında en fazla ilginin potasyuma olduğunu göstermiştir. Bu taç eterli bakır ftalosiyanın aynı zamanda diskotik mesofaz adıyla bilinen yeni tip bir sıvı kristal türüne örnek oluşturulmuştur (Şekil 2.42).



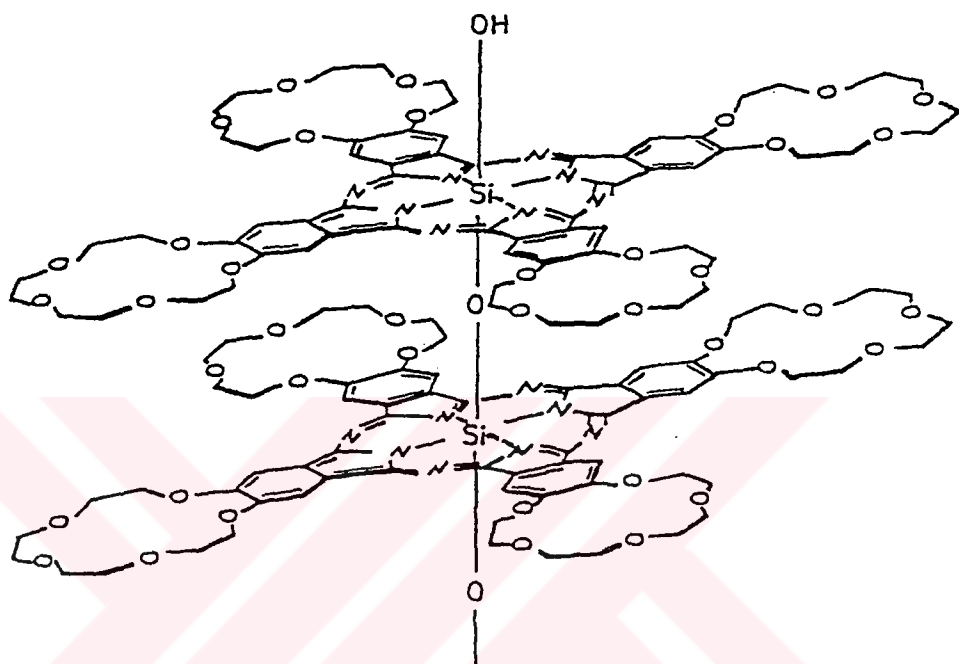
Şekil 2.42 Taç eter sübstidue ftalosiyanyinin moleküler yapısı (M=Cu, 2H)

Dört taç eter sübstüentli grup IV-A ftalosiyanyinleri, 4', 5'-disiyanoibenzo (15-crown-5), diimoisoindolin-(15-crown-5) veya metalsiz ftalosiyanyinden, uygun metal tuzları (SiCl_4 , GeCl_4 , PbO) kullanılarak hazırlanmıştır (Şekil 2.43) [88,89].



Şekil 2.43 Taç eter sübstidue IV-A grubu ftalosiyanyinlerin sentez şeması

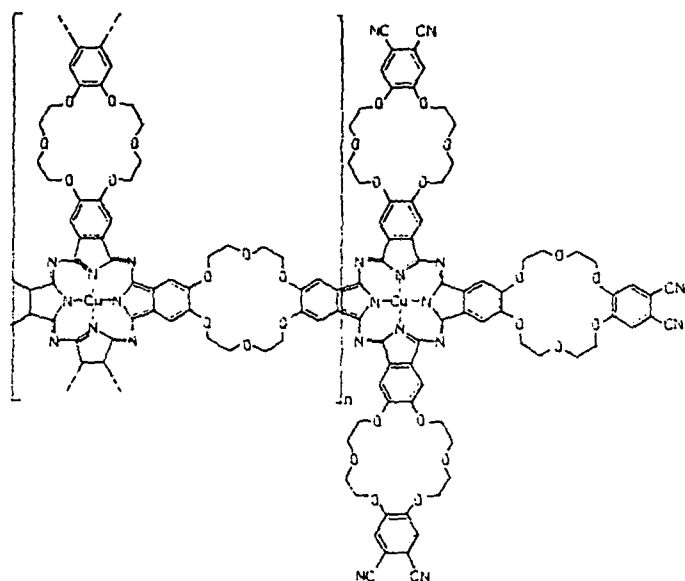
Diklorotetra(15-crown-5)[ftalosiyantanato]silisyum veya kalayda eksenel ligandlar sulu trietilamin içerisinde hidrolizlenerek dihidroksi türevlerine dönüştürülmüştür. Dihidroksisilisyum-ftalosiyantanının tek eksenli polimer şeklinde polikondensasyonunda, kinolin içerisindeki susuz CaCl_2 'ün katalitik etkisinden yararlanılmıştır (Şekil 2.44).



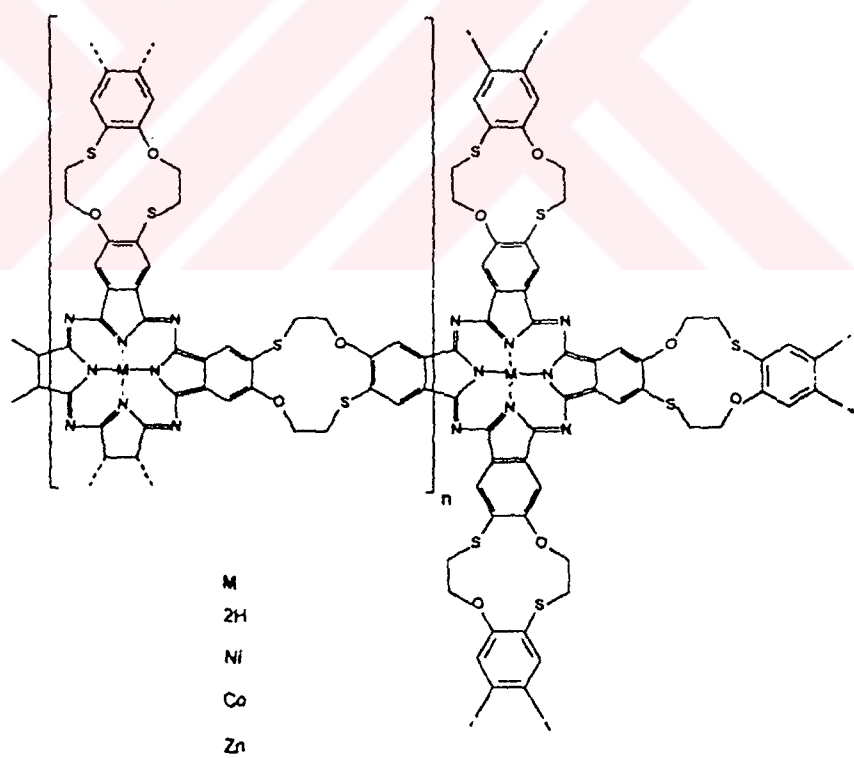
Şekil 2.44 $\text{HO}(\text{CRPcSi-O})_n\text{-H}$ polimeri ($n=25$)

Üzerinde çalışılan diğer bir konuda polimerik ftalosiyantır. Esnek taç eter köprülerinin ftalosiyantır ünitelerini birbirine bağlandığı düzlemsel ağ (network) şeklindeki polimer, tetrasiyano-18-crown-6'dan çıkararak hazırlanmıştır (Şekil 2.45) [90]. Elde edilen polimerler yüksek ışığı oldukça dayanıklıdır, fakat iletkenlikleri düşüktür.

Polimerik ftalosiyantır üzerinde yapılan çalışmaların biri de, diagonal pozisyonda iki oksijen ve iki kükürt ihtiva eden 12 üyeli makrosikliğin network polimerleridir. Bu çalışmada, tetrasiyanoibeno-[1,7-ditiya(12-crown-4)]'ün uygun metal tuzlarıyla siklomerizasyonu yoluyla network polimerler hazırlanmıştır. Düzlemsel yapıda bir polimer için, tetrasiyano türevi ve metal tuzlarının (2:1) mol oranı, en ideal orandır (Şekil 2.46) [91].



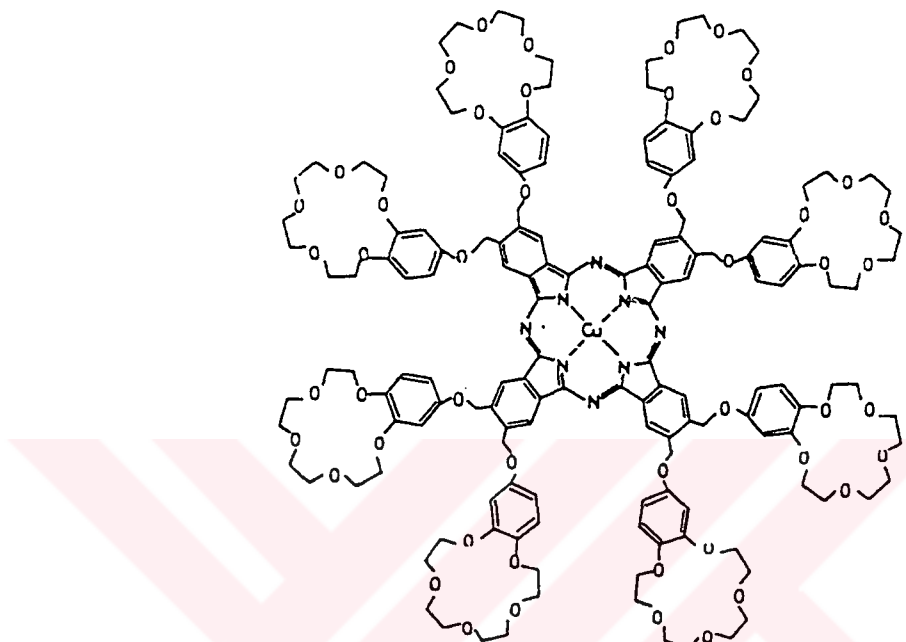
Şekil 2.45 Taç eter sübstítüe polimerik ftalosiyinin



Şekil 2.46 12 Üyeli makrosiklik sübstítüe polimerik ftalosiyinler

Daha esnek taç eter-ftalosiyinin kombinasyonlarını oluşturmak amacı ile çekirdeğe esnek oksimetil grupları ile bağlanmış sekiz adet benzo-[15-crown-5] sübstitüenti

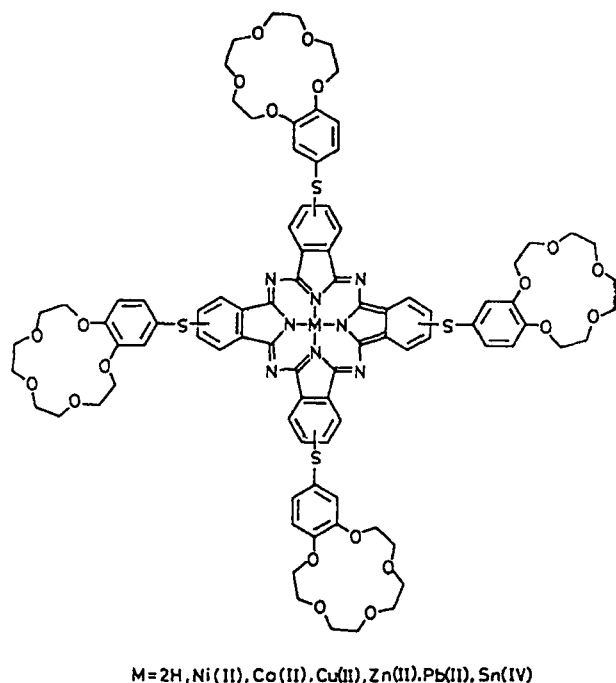
İçeren çözünür bir ftalosiyen sentezlenmiştir. Burada başlangıç maddeleri olarak 1,2-bis[(benzo-15-crown-5)-4'-il-oksimetil]-4,5-dibromobenzen ve CuCN'dir (Şekil 2.47) [92].



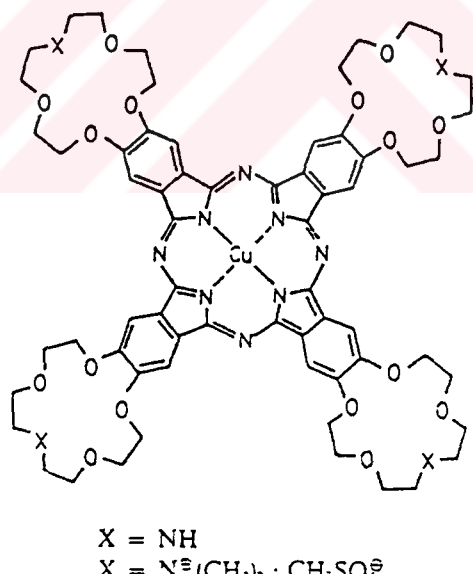
Şekil 2.47 {2,3,9,10,16,17,23,24-Oktakis[(benzo-15-crown-5)-4'-il]oksimetil}ftalosiyenato} bakır(II)

Kükürt köprüleri üzerinden dört taç eter grubuya süttempte olmuş metalsiz ve Ni(II), Cu(II), Co(II), Zn(II), Sn(II), Pb(II) ftalosiyenler hazırlanmıştır. 4-nitroftalonitril ile 4'-sulfanil-benzo-15-crown-5'in reaksiyonuyla elde edilen dinitrilin siklomerizasyonu, taç eter içeren diğer ftalosiyenlerde olduğu gibi birçok çözücüde çözünebilen ftalosiyen sentezi ile sonuçlanmıştır (Şekil 2.48) [93].

Bir diğer ftalosiyenin türevi de suda çözünen bir bileşik olan kuaterner ftalosiyenlerdir. N-asetilmonoaza taç eter türevleri daha önceki taç eterli ftalosiyenlere benzer çözünürlük gösterirken, aza grubunun dimetilsülfat ile kuaternerleştirilmesi sonucu geniş bir PH aralığında (1-13) suda çözünen ürünler elde edilmiştir. Bu özellik ftalosiyenlerin fotodinamik terapide kullanılması açısından son derece önemlidir (Şekil 2.49) [94].



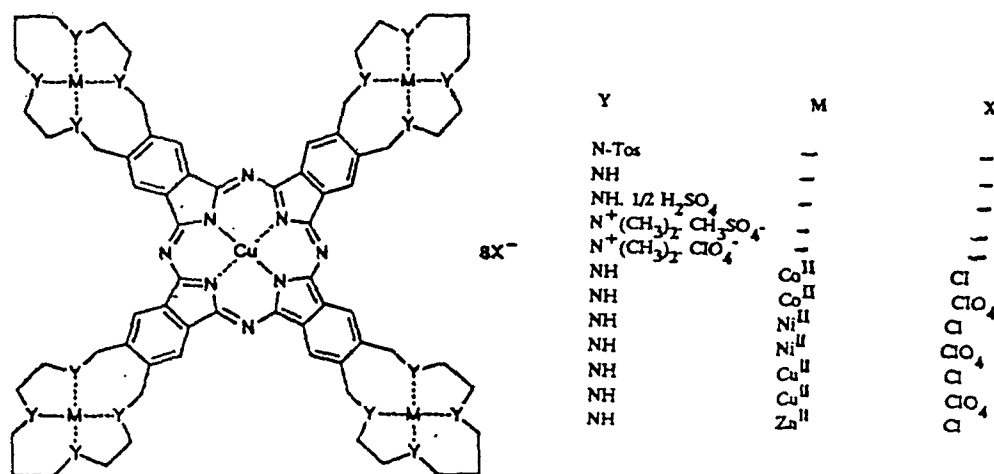
Şekil 2.48 Tetrakis(benzo-15-crown-5)ftalosiyani



Şekil 2.49 Monoaza taç eter sübstüte ftalosiyani

Ftalosiyani lerle 14 veya 15 üyeli tetraaza halkaları ftalosiyani ne eklendiğinde N-tosil halinde oldukça iyi çözünen ürünler ele geçmiştir [95,96]. Tosillerin koparılması ve başka geçiş metallerinin tetraaza halkası ile kompleks oluşturma sonucunda suda çözünen pentanükleer komplekslere ulaşılmıştır. Suda PH'ya bağlı olmaksızın daha iyi

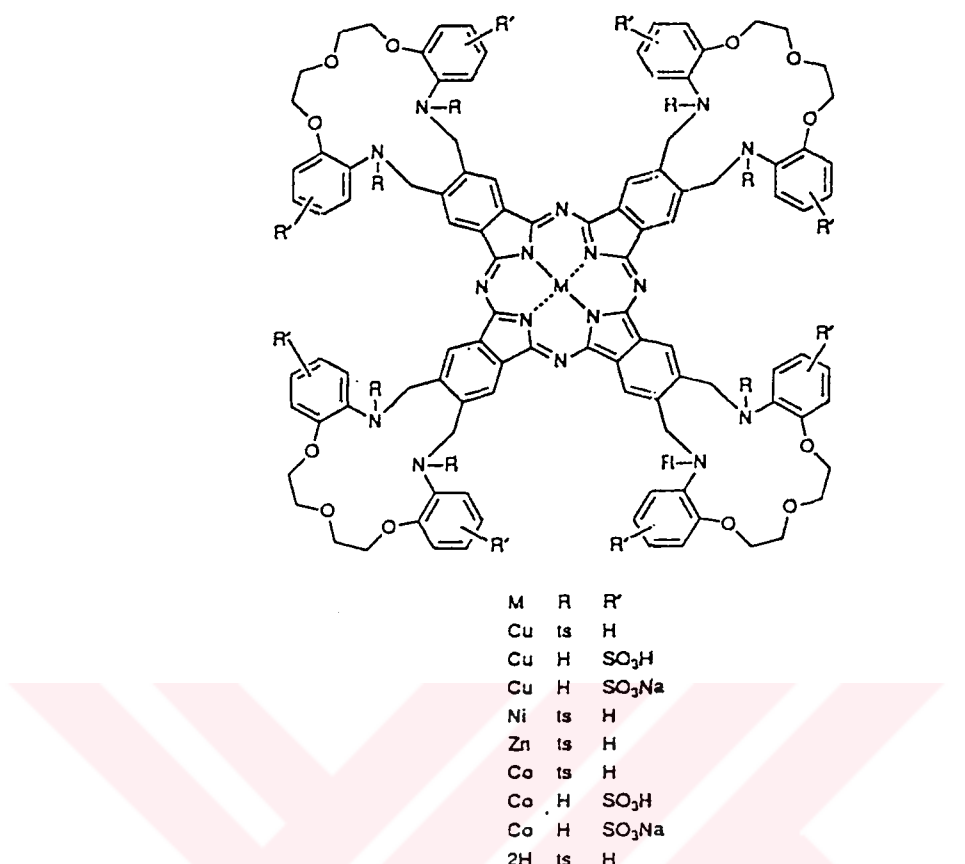
çözünen bir ürün, aza fonksiyonlarının kuaternerleştirilmesi ile elde edilmiştir (Şekil 2.50).



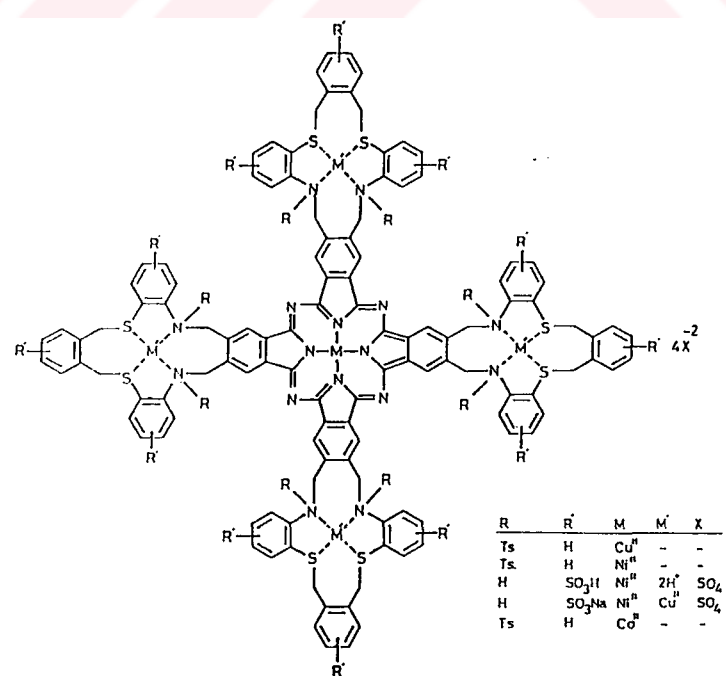
Şekil 2.50 15 Üyeli, tetraaza-makrohalkaları ile sübstitüe Cu(II) ftalosiyanyan ve kompleksleri

İki farklı donör grubu içeren 17 üyeli trioksadiaza makrohalkalarının ftalosiyanyan oluşumu üzerindeki etkisini incelemek üzere yeni bir ftalosiyanyan sentezlenmiştir [97]. Bu tip ftalosiyanyanlarda çözünürlüğün belli bir değere kadar arttığı fakat alkali veya geçiş metal iyonları ile kompleks oluşturmadığı görülmüştür (Şekil 2.51).

Ayrıca, dört adet periferal olarak 16 üyeli diazaditiya makro halkaları içeren mononükleer ve pentanükleer merkezli metal ftalosiyanyanlar sentezlenmiştir. Makrosiklik halka üzerindeki azot gruplarına bağlı tosil gruplarının konsentre sülfirik asitle kesilmesiyle, hem makrosiklik halkadaki benzen gruplarına 12 adet sülfo gruplarının bağlanması, hem de pentanükleer kompleks sentezi sağlanmıştır. Bu şekilde elde edilen mononükleer merkezli bakır ve kobalt ftalosiyanyanları diklorometan kloroform gibi polar olmayan çözücülerde iyi çözünürken, pentanükleer kompleksler de su gibi polar çözücülerde iyi çözünmektedir (Şekil 2.52) [98].

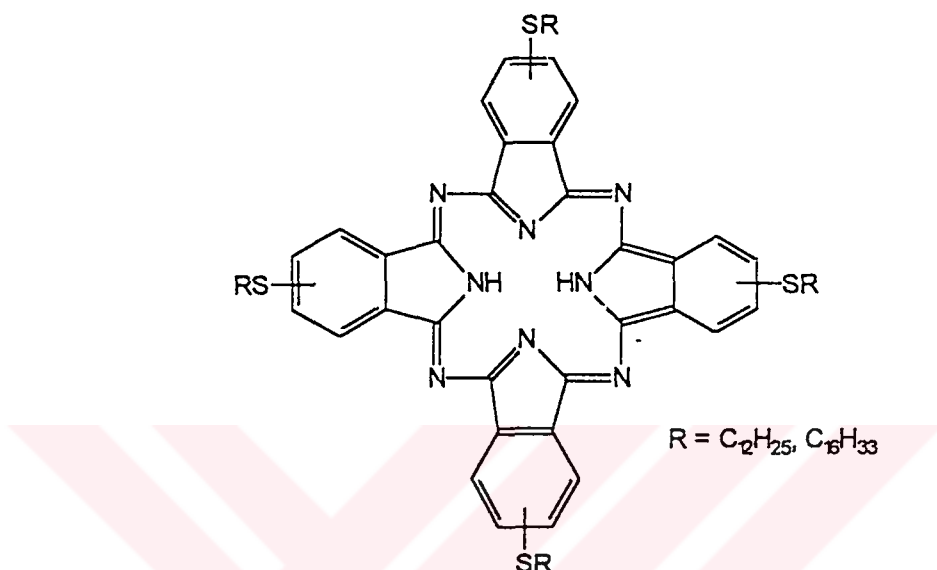


Şekil 2.51 Diazatrioqua halkaları ile sübstitüe ftalosiyaniinler



Şekil 2.52 16 Üyeli diazaditiya-makrohalkalı içeren ftalosiyaniinler

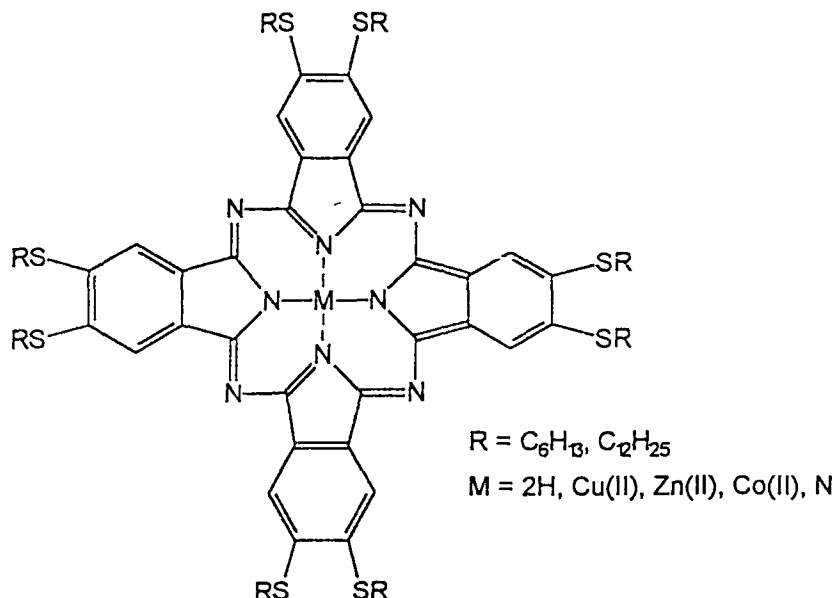
S donör grupları içeren bir çalışmada; ilk olarak dört adet alkiltiyoeter zinciri içeren metalsiz ve Ni(II) ftalosiyaniner ile bunların tiyo-donör grupları üzerinden Ag(I) ve Pd(II) iyonları ile olan kompleksleri sentezlenmiştir (Şekil 2.53) [99].



Şekil 2.53 Tetraalkiltiyo sübstüte ftalosiyinin

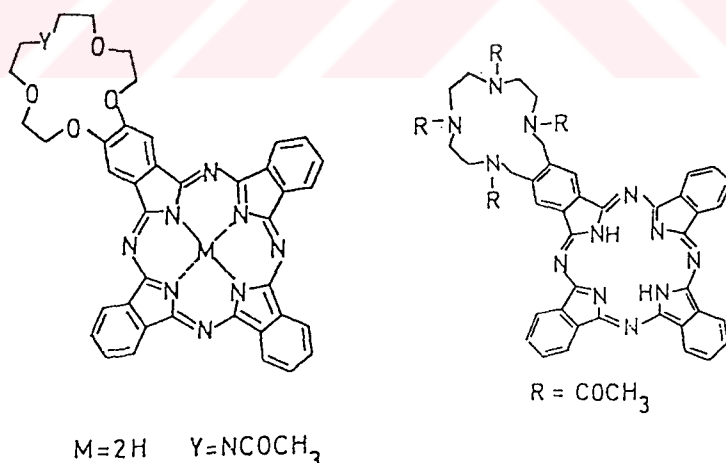
4-pozisyonu üzerinden substitüe olmuş ftalonitrillerden elde edilen tetrasubstitüe ftalosiyaniner üç izomerin karışımı halindeyken, 4,5-disubstitüe başlangıç maddeleri tek bir ürün verir. o-Bis(tiyoeter)lerin metal iyonları ile etkileşiminin monotürevlerinkinden doğal olarak farklı olması beklenmektedir. Bu amaçla diğer bir çalışmada ise, sekiz adet periferal alkiltiyoeter substituentleri içeren ftalosiyaniner sentezlenmiş ve bunların Ag(I), Pd(II) iyonları ile olan komplekslerinin yapısı incelenmiştir (Şekil 2.54) [100].

Asimetrik ftalosiyaninerin non-lineer optik, fotodinamik terapi gibi alanlarda kullanımı, bu tip ftalosiyaninerin son yıllarda önem kazanmasına ve üzerinde yoğun araştırmalar yapılmasına neden olmuştur. Asimetrik ftalosiyaniner iki veya daha fazla, farklı ftalonitripl türevlerinin kondenzasyonu ile izomer karışımı halinde elde edilir. Ancak bu izomerleri birbirinden ayırmak güçtür. En çok tercih edilen metod, üç ftalonitripl molelülünün BCl_3 ile oluşturduğu bor kompleksinin (subftalosiyinin), farklı sübstüte iminoisoindolinler ile kondenzasyonundan asimetrik ftalosiyinin eldesidir.



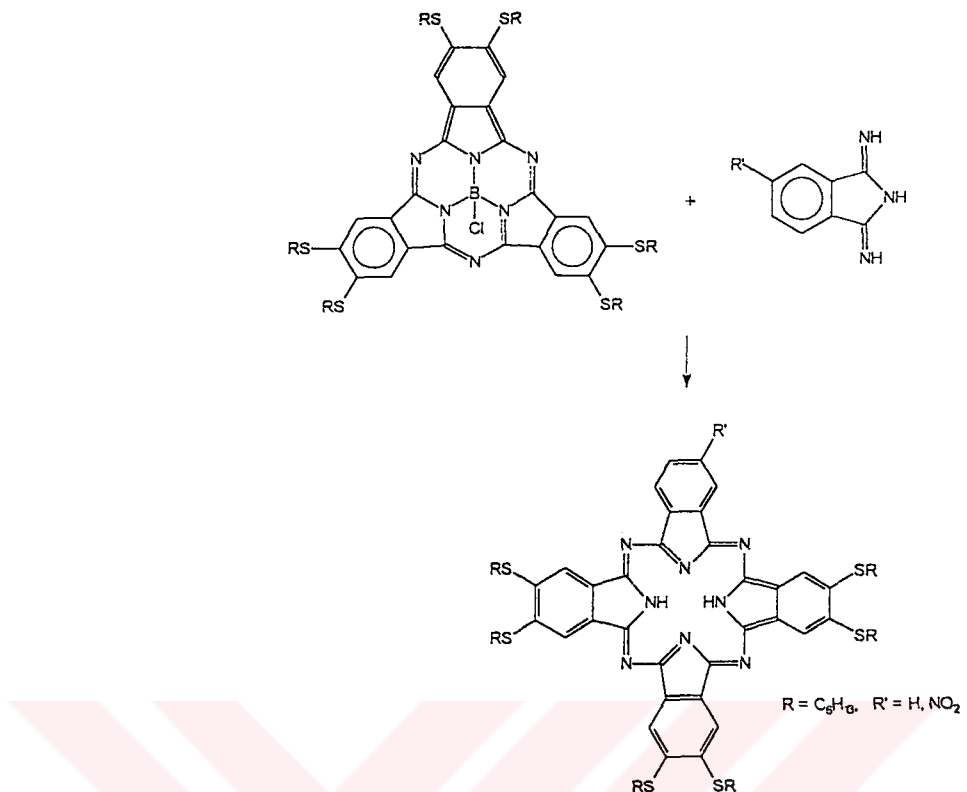
Şekil 2.54 Oktaalkiltiyo sübstítüe ftalosiyaniñ

Taç eter ve aza-eter grupları içeren asimetrikftalosiyaniñler, bu eter gruplarını içeren diiminoisoindolin bileşigiyle bor kompleksinin 1-klor naftalen ve dimetilsulfoksit (DMSO) karışımındaki reaksiyonu sonucu sentezlenmiştir (Şekil 2.55) [69].



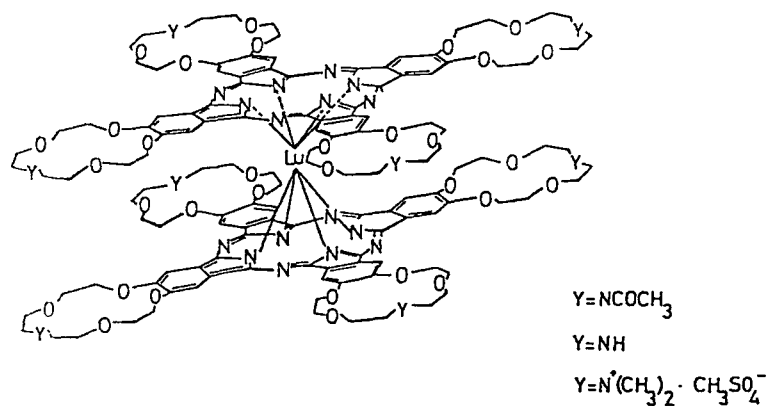
Şekil 2.55 Taç eter ve aza-makrohalkaları içeren asimetrik ftalosiyaniñler

Asimetrik ftalosiyaniñlerle ilgili diğer bir çalışmada, heksakis (heksilitiya) sübstítüe subftalosiyaniñin, iki farklı iminoisoindolin bileşigiyle reaksiyonu sonucu, organik solventlerde çok iyi çözünen asimetrik ftalosiyaniñler elde edilmiştir (Şekil 2.56) [72].



Şekil 2.56 Heksakis(alkiltiyo) sübstitüe asimetrik ftalosiyaniinlerin sentezi

Sandviç yapısındaki Lutesyum bisftalosiyaniinlerin, intrinsik elektriksel iletkenliği çok iyi kanıtlanmış bir özellikleir. Lutesyum bisftalosiyaniinlerle ilgili bu çalışmada elde edilen N-asetil LuPc₂'nin organik çözücülerde, N-kuaternize LuPc₂'nin sudaki çözünürlüğü çözelti halinde elektrokimyasal incelemelerin yapılabilmesine olanak vermiş ve elektrokimyasal özellikleri siklik voltametri ölçümleri ile incelenmiştir (Şekil 2.57) [100, 102].



Şekil 2.57 N-asetil LuPc₂ ve N-kuaternize LuPc₂

2.2 ÇALIŞMANIN AMACI

1893 yılında Alfred Werner tarafından temeli atılan Koordinasyon Kimyası Anorganik Kimyanın en hızlı gelişen bilim dalıdır ve günümüzde supramoleküler kimya gibi ileri teknolojinin getirdiği bilim dalları içinde yer alarak bu gelişmesini sürdürmektedir.

Ftalosiyaniner ve metal kompleksleri üzerinde uzun yillardır ayrıntılı bir şekilde araştırma ve incelemeler yapılmaktadır. Önceleri boyar madde ve pigment olarak kullanılan ftalosiyanin ve türevlerinin uygulamadaki ilginç özellikleri günümüzde ftalosiyanin kimyasının canlanması neden olmuştur. Periyodik tablodaki 70'den fazla metal iyonu ile yüksek verim ve saflikta kolaylıkla sentezlenebilen Metallo ftalosiyaniner yüksek termal stabiliteye sahiptir.

Ftalosiyaninerin periferal pozisyonlarına hacimli sübitüentler, polar gruplar veya makrohalkalar gibi farklı fonksiyonel grupların eklenmesiyle ve farklı merkez iyonlarının kullanımıyla, yeni sentezlenen ftalosiyaninlere benzersiz pekçok özellik kazandırılmaktadır. Ancak uygulamada işlemsel kolaylığın sağlanabilmesi için, bu grupların maddenin çözünürlüğünü üzerinde olumlu etkiler yapması da beklenmektedir.

Geniş bir uygulama alanında güncellliğini hergün yeni bir adımla sürdürün çalışmalar ftalosiyanin kimyasındaki önemli bir hedef olan çözünür ürünler elde etmek amacıyla yeni tip ftalosiyanin sentezlerine gereksinimi artırmaktadır.

Bu amaçla grubumuz tarafından yapılan birçok çalışmada çeşitli fonksiyonel gruplar ya da makro halkalar içeren ftalosiyaniner ve metal komplekslerinin sentezi gerçekleştirilmiştir. Taç eterler [86], aza-taç eterler [94], diazatrioksa [97] tetraaza [95,96], tetratia [103] makro halkaları gibi N, S, O donör gruplar içeren ftalosiyaniner ve asimetrik ftalosiyaninler [69, 72] yayınlanmış birçok çalışmanın bazalarıdır.

Substitüe olmayan ya da N ve O donör atomlarıyla substitüe olmuş ftalosiyaninlere göre S donör atomlu substitüe gruplar içeren ftalosiyanin türevlerinin Q-bandı absorbsiyonlarının daha düşük enerji bölgesine kaydığını (kırmızıya kayma)

görülmektedir. [91, 104, 105, 106]. Bu kaymanın ftalosiyanyanın çekirdeğinde yer alan benzen halkaları üzerindeki tioeter gruplarından dolayı olduğu tespit edilmiştir [107].

Ftalosiyanyanınlardeki çözünürlük probleminin aşılması, diğer alanlardaki çalışmalarla birlikte yüksek stabilité, şiddetli renk, redoks aktivitesi, elektrokromizm ve kendiliğinden yarı iletkenlik özellikleri çok iyi kanıtlanmış lutesyum ftalosiyanyanınların çözelti halinde elektrokimyasal incelemelerinin yapılabilmesine olanak vermiştir. Grubumuz tarafından yapılan taç eter sübstittüe bis(ftalosiyanyanato) lutesyum türevi bu konudaki araştırmalar için bir başlangıç noktası olmuştur [43, 101].

Bu amaçla başlangıç maddesi olarak, bir aldehit (piridin-2-karboksaldehit) ve bir ketonun (2-asetilpiridin), 2-aminotiofenol ile kondenzasyonu sonucu elde edilmiş olan benzotiazolinler (**2a** ve **2b**) kullanılmıştır. **2a**'nın literatürde yapılmış indirgenmesine benzer şekilde, **2b**'nin NaBH₄'ün aşırısıyla gerçekleştirilen indirgeme işlemi sonucunda tiol ligandları (**3a** ve **3b**) sentezlenmiştir [108]. Sentezlenen tiol ligandları, 4,5-dikloro-1,2-disiyanobenzen ile K₂CO₃ fazlaşısı içeren THF çözeltisi içerisinde baz katalizliğinde yürüyen nükleofilik aromatik yer değiştirme reaksiyonıyla, daha önce yapılmış bazı bis(alkiltio) ve bis(alkoksi) disiyanobenzen türevlerinin sentezine benzer şekilde, reaksiyona sokulmuştur [109, 110]. Ede edilen dinitril türevlerinin (**4a** ve **4b**) 2-(dimetilamino)etanol'de siklotramerizasyonyla metalsiz ftalosiyanyanınlar (**5a** ve **5b**), susuz metal tuzları [Zn(OAc)₂ ve NiCl₂] kullanılarak metallo ftalosiyanyanınlar (**6a**, **6b** ve **7a**, **7b**) sentezlenmiştir.

4a, 1-hekzanol içerisinde kuvvetli bir baz olan DBU varlığında susuz Lu(OAc)₃ ile reaksiyona sokulmuştur. Kolon kromatografisiyle yapılan saflaştırma işleminden sonra ana ürün olarak, lutesyum kompleksleri içinde daha sık rastlanan [44, 101] lutesyum bis(ftalosiyanyan) (**8a**) % 40 verimle elde edilmiştir. Elde edilen ürün kloroform, diklorometan, aseton, THF, DMF ve DMSO gibi bilinen organik çözücülerin çoğunda iyi bir çözünürlüğe sahiptir.

Ftalosiyanyanınlar ve ara ürünlerin önerilen yapıları, elementel analiz, IR, ¹H-NMR, UV/Vis, ESR, kütle spektrumları ve atomik absorbsiyon ölçümleri yardımıyla tespit edilmiştir.

BÖLÜM 3

KULLANILAN MADDE VE ALETLER

3.1 MADDELER

4,5-Dikloro-1,2-benzendikarboksilik asit, asetik asit, asetik anhidrit, 40-60 °C petrol eteri, dietileter, formamid, amonyum hidroksit (% 25), etil alkol, metil alkol, tiyonil klorür, dimetilformamid, piridin-2-karboksaldehit, 2-asetilpiridin, 2- aminotiofenol, sodyumborhidrür, glasiyal asetik asit, diklormetan, kloroform, sodyum sülfat, dimetil sülfoksit, tetrahidrofuran, potasyum karbonat, aseton, n-hekzan, 2-(dimetilamino)etanol, etil asetat, piridin, kinolin, 1-hekzanol, çinko(II) asetat, nikel(II) klorür, lutesyum(III) asetat, 1,8-diazabisiklo[5,4,0]-undek-7-ene (DBU), Merck, Fluka ve Aldrich firmalarının kimyaca saf çözücü ve kimyasal maddeleridir.

3.2 ALETLER

Infrared spektrofometresi	: ATI Unicam Mattson 1000 FTIR
Ultraviole-visible spektrofotometresi	: ATI Unicam UV/Vis Spectrometer
Elementel Analiz	: Carlo-Elba 1106
NMR spektrometresi	: Bruker AC-200 MHz
Atomik absorbsiyon spektrofotometresi	: 180-80 Hitachi
Kütle Spektrometresi	: VG ZAB Spec
Elektron spin rezonans spektrometresi	: Bruker 380 EMX

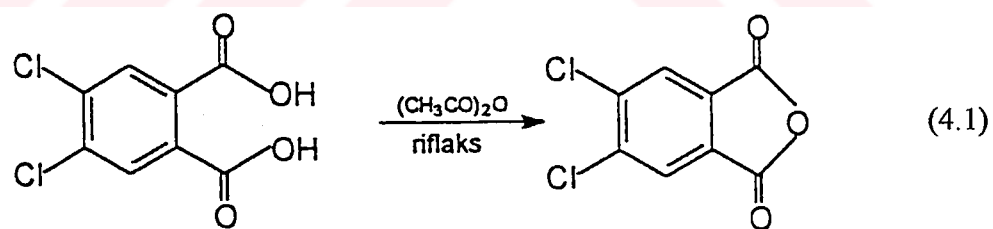
BÖLÜM 4

DENEYSEL KISIM

4.1 BAŞLANGIÇ MADDELERİNİN VE YENİ MADDELERİN SENTEZİ

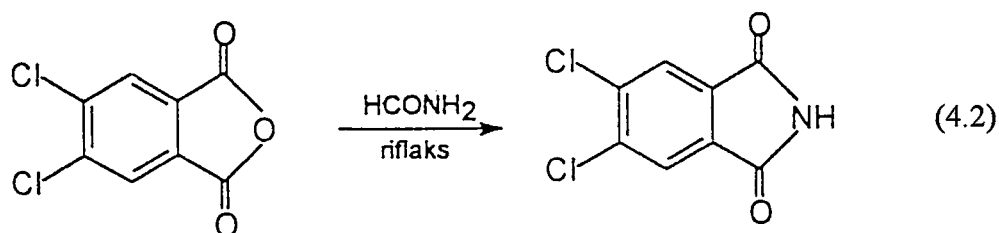
4.1.1 5,6-Dikloro-1,3-izobenzofurandion [109]:

30 g (0.127 mol) 4,5-dikloro-1,2-benzendikarboksilik asit, 70 ml asetik anhidrit ile 12 saat süreyle yağ banyosu üzerinde geri soğutucu altında kaynatılır ve oluşan asetik asit yavaş olarak kuruluğa yakın olacak şekilde distillenir. Geriye kalan açık beyaz renkli çökelti soğutulur ve önce petrol eteri ile daha sonra dietil eterle yıkanır. Beyaz renkli ürün 100 °C'de vakumda kurutulur. Verim: 25.7 g (% 93), E.N. 184-186 °C, C₈H₂Cl₂O₃.



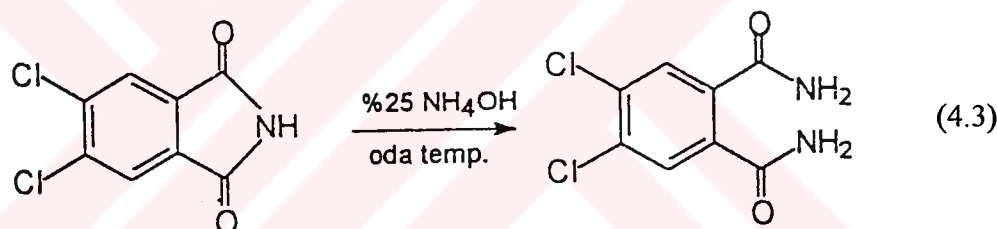
4.1.2 5,6-Dikloro-1H-izoindol-1,3(2H)-dion [109]:

22 g (0.1 mol) 5,6-Dikloro-1,3-izobenzofurandion 30 ml formamid içerisinde 6 saat süreyle geri soğutucu altında kaynatılır. Karışım soğutulunca oluşan çökelti bol bol suyla yıkanır. Elde edilen beyaz renkli ürün 100 °C'de P₂O₅ üzerinden kurutulur. Verim: 21.2 g (% 98), E.N. 193-195 °C, C₈H₃Cl₂NO₂.



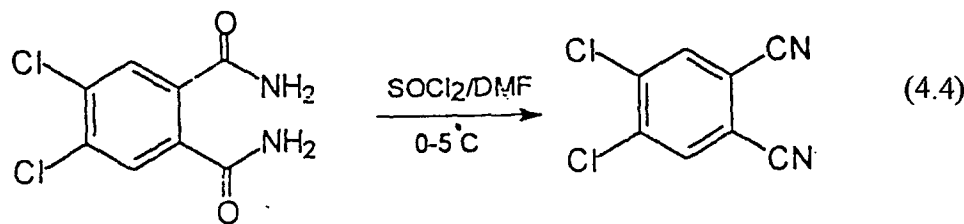
4.1.3 4,5-Dikloro-1,2-benzendikarboksamid [109]:

22 g (0.1 mol) 5,6-Dikloro-1H-izoindol-1,3(2H)- dion, 350 ml % 25'lik amonyum hidroksit içinde oda temperatüründe 48 saat süreyle karıştırılır. Oluşan çok açık sarı renkli çökelti süzülür ve nötralleşene kadar saf suyla yıkanır. Çözelti etanolde çözülüp kristallendirilir. Beyaz renkli kristalize madde 100 °C'de vakumda kurutulur. Verim: 18 g (% 77), E.N. 245-247 °C, C₈H₆Cl₂N₂O₂.



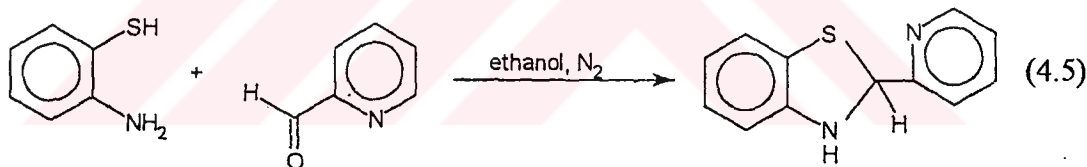
4.1.4 4,5-Dikloro-1,2-disiyanoibenzen (1) [109]:

70 ml tiyonil klorür (SOCl₂), 0 °C'ye soğutulmuş susuz dimetilformamid içine ilave edilir ve sistem tümüyle argon atmosferinde tutulur. Daha sonra bu karışımı 20 g (0.086 mol) 4,5-dikloro-1,2-benzendikarboksamid 2 saat sürede ilave edilir. Karışım 5 saat 0-5 °C arasında, daha sonra 12 saat süreyle de oda sıcaklığında karıştırılır. İçinde sarı renkli çökeltiler bulunan reaksiyon karışımı 700 ml buzlu-su karışımına yavaş yavaş ilave edilir. Çökeltiler süzülür, bol bol suyla yıkanır ve metil alkolden kristallendirilir. Beyaz kristalize ürün 100 °C'de vakumda kurutulur. Verim:13 g (% 76), E.N. 182-184°C, C₈H₂Cl₂N₂.



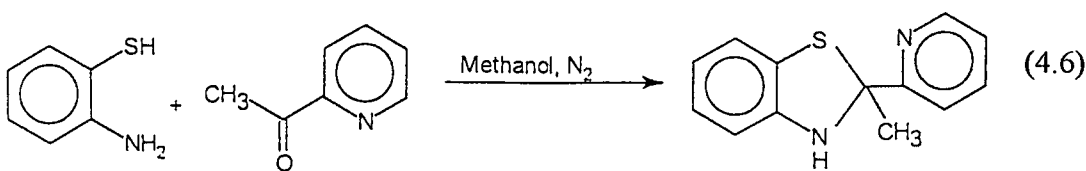
4.1.5. 2-(2'-Piridil)benzotiazolin (2a) [112]:

Azot altında ve oda sıcaklığında, 3.20 g (30 mmol) piridin-2-karboksaldehit, sabit bir hızla karıştırırmak suretiyle 3.75 g (30 mmol) 2-aminotiofenol'e yavaş yavaş ilave edilir. Reaksiyon karışımı ısınmaya ve krem renkli çökelti oluşmaya başlar. Yaklaşık bir buçuk saat karıştırıldıktan sonra, üzerine 30 ml kuru etanol ilave edilir. Çökmenin tamamlanması için iki saat daha karıştırma işlemine devam edildikten sonra, çökelti süzülür, etanolle yıkılır ve vakumda kurutulur. Renksiz kristaller halinde etanolden kristallendirilir. Verim: 3.84 g (% 60), E.N. 94 °C, C₁₂H₁₀N₂S.



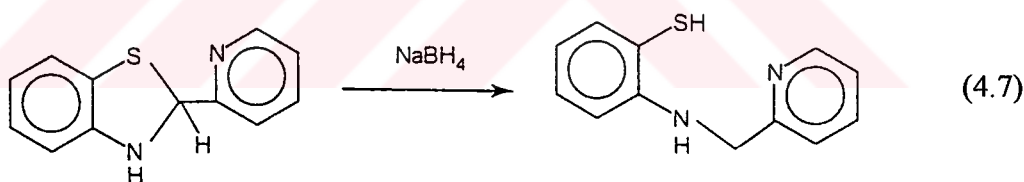
4.1.6 2-Metil-2-(2'-piridil)benzotiazolin (2b) [113]:

4.91 g (39.21 mmol) 2-aminotiofenol'ün 80 ml metanoldeki çözeltisine 4.75g (39.2 mmol) 2-asetilpiridin ilave edilip azot altında iki saat geri soğutucu altında kaynatıldıktan sonra, çözelti 0 °C'ye soğutulur. Ürün sarı bir yağ olarak ayrılır. Havada çabuk bozunan yağ katı olarak elde edilemediği ve birçok organik solventte kristallendirilmesi mümkün olmadığı için direk olarak **3b**'nin sentezinde kullanılır.



4.1.7 2-[N-(2-pikolil)amino]fenilmerkaptan (3a) [108]:

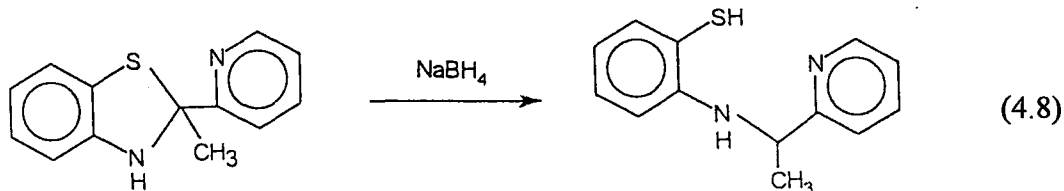
5 g (23.3 mmol) 1a'nın 200 ml metanoldeki çözeltisine 8.84g (233 mmol) NaBH₄ küçük porsiyonlar halinde karıştırılarak ilave edilir. Kuvvetli egzotermik reaksiyon tamamlandıktan sonra karışım oda sıcaklığına soğutulur ve çözüçünün tamamı döner buharlaştırıcıda uzaklaştırılır. Geriye kalan turuncu renkli katı 250 ml. buzlu-su içinde süspansiyon haline getirilir ve bu süspansiyon glasikal asetik asit ile dikkatlice nötralleştirilir. Yeşilimsi-sarı emülsiyon dört kez diklormetan (50 ml) ile ekstrakte edilir. Toplanan diklormetan fazı 50 ml su ile yıkılır ve Na₂SO₄ üzerinden kurutulur. Çözücü kuruluğa kadar buharlaştırıldıktan sonra 5 saat vakumda 30°C'de kurutulur. Madde yeşilimsi-sarı bir viskoz yağ halinde ve saf olarak elde edilir. Verim: 4.76g (%94), C₁₂H₁₂N₂S.



4.1.8 2-{N-[1-(2'-piridil)ethyl]amino}fenilmerkaptan (3b):

2b'nin aynı oranlarda başlangıç maddelerinden elde edilen yağın 40 ml metanoldeki çözeltisine oda sıcaklığında ve karıştırılarak 14.8 g (390 mmol) NaBH₄ küçük porsiyonlar halinde ilave edilir. 3a'nın sentezinde uygulanan metoda göre elde edilen ham ürün petroleteri (b.p. 40-60 °C) ile geri soğutucu altında kaynatılarak çözürülür. Çözelti 0 °C'ye soğutulunca oluşan sarı renkli viskoz yağ petrol eteri dekante edilerek alınır. Madde kloroform, diklormetan, etanol, metanol ve DMSO'da çözünür. Verim: 6.44 g (%71), C₁₃H₁₄N₂S.

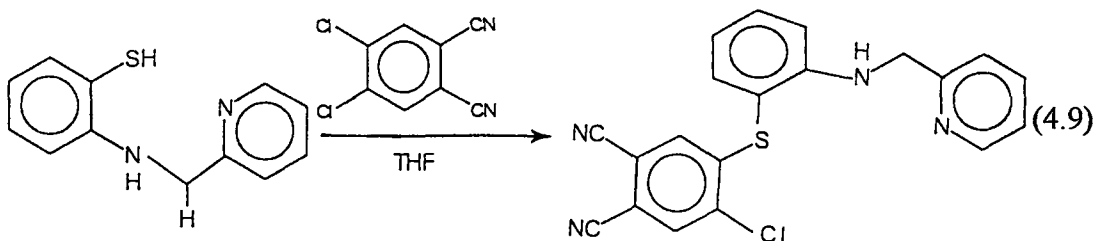
Teorik (%) C 67.83 H 6.09 N 12.17
 Analiz (%) C 67.79 H 6.05 N 12.15



4.1.9 4-[2-{N-(2'-pikolil)amino}fenilsülfanil]-5-kloro-1,2-disiyanobenzen (4a):

1.45 g (6.72 mmol) **3a** ve 0.66 g (3.36 mmol) 4,5-dikloro-1,2 disiyanobenzen, azot altında 150 ml kuru tetrahidrofuranda çözülür. 10 dakika sonra çözeltiye 3.33 g (24.15 mmol) susuz K₂CO₃ bir defada ilave edilir. Reaksiyon karışımı 48 saat azot altında karıştırılarak geri soğutucu altında kaynatılır. Sarı renkli karışım soğutulduktan sonra süzülür. Süzüntü kuruluğa kadar buharlaştırılır. Geriye kalan yağımış maddeye 100 ml dietileter ilave edildiğinde oluşan açık sarı kristalize madde süzülür. Önce birkaç kez su ile, daha sonra etanol ve dietileterle yıkandıktan sonra, 100 °C'de kurutulur. Madde kloroform, diklormetan, aseton, tetrahidrofuran ve DMSO'da çözünür. Verim: 1.00 g (% 40), E.N. 174 °C, C₂₀H₁₃N₄SCl.

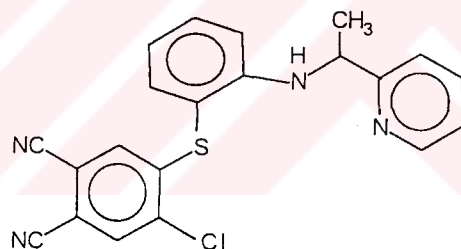
Teorik (%) C 63.74 H 3.45 N 14.87
 Analiz (%) C 63.51 H 3.50 N 14.70



4.1.10 4-[2-{N-[1-(2'-piridil)ethyl]amino}fenilsülfanil]-5-kloro-1,2disiyanobenzen (4b):

1 g (4.62 mmol) **3b**, 0.46 g (2.32 mmol) 4,5-dikloro-1,2-disiyanobenzen ve 1.14 g (8.26 mmol) susuz K₂CO₃'in 120 ml tetrahidrofurandaki çözeltisi alınarak, **4a**'nın sentezine benzer şartlarda yapılan işlemlerden sonra geriye kalan yağimsı madde üç kez n-hekzan (75 ml) ile ekstrakte edilir. Toplanan n-hekzan çözeltisi -30 °C'de, 24 saat bekletildikten sonra beherin cidarlarında oluşan sarı renkli çökelti, n-hekzan soğukken dekante edilerek alınır ve vakumda oda sıcaklığında kurutulur. Madde kloroform, diklormetan, etanol, aseton, dietileter ve DMSO'da çözünür. Verim: 0.36 g (% 20), E.N. 124 °C, C₂₁H₁₅N₄SCl.

Teorik(%)	C64.53	H3.84	N14.34
Analiz (%)	C 64.55	H 3.86	N 14.36



Şekil 4.1 Dinitril türevi **4b**

4.1.11 Metalsız Fталosиyanin (5a):

0.188 g (0.50 mmol) **4a**, 1 ml 2-(dimetilamino)etanolde azot altında 6 saat geri soğutucu altında kaynatılır. Oda sıcaklığına soğutulan koyu yeşil renkli karışım 10 ml etanol ilave edilerek çöktürülür. Çökelti süzüldükten sonra reaksiyona girmemiş organik maddeleri uzaklaştırmak için önce etanolle (5x30 ml), daha sonra kloroformla (3x20 ml) kaynatılarak süzülür. Geriye kalan ham ürüne kolon kromatografisi (silikagel, CH₂Cl₂:n-hekzan/5:2) yapıldıktan sonra, DMF: etilasetat (1:4) karışımından kristallendirilir. Yeşil renkli saf ürün süzülür, dietileter ile

yıkandıktan sonra vakumda 100 °C'de kurutulur. Madde DMF, DMSO ve piridinde çözünür. Verim: 0.039 g (% 21), C₈₀H₅₄N₁₆S₄Cl₄

Teorik(%) C 63.66 H 3.58 N 14.85

Analiz (%) C 63.60 H 3.55 N 14.87

4.1.12 Metalsiz Ftalosiyanyin (5b):

0.200 g (0.50 mmol) **4b**'nin 1 ml 2-(dimetilamino)etanoldeki çözeltisi alınarak **5a**'nın sentezine benzer şartlarda elde edilir. Verim: 0.040 g (% 20), C₈₄H₆₂N₁₆S₄Cl₄.

Teorik (%) C 64.45 H 3.96 N 14.32

Analiz (%) C 64.40 H 3.98 N 14.35

4.4.13 Çinko(II) Ftalosiyanyin (6a):

0.200 g (0.531 mmol) **4a** ve 0.024 g (0.132 mmol) susuz çinko (II) asetat, 0.5 ml kinolinde azot atmosferinde 5 saat süreyle 175 °C'de ısıtılarak karıştırıldıktan sonra reaksiyon durdurulur ve soğutulur. Çözelti üzerine 5 ml etanol ilave edilerek ürün çöktürülür ve süzülür. Koyu yeşil renkli çökelti, su (2x20 ml) ve etanolle (3x20ml) kaynatılıp süzüldükten sonra kolon kromatografisi (Silikagel, metanol: kloroform/1:20) ile saflaştırılır. Madde, DMF, DMSO ve piridinde çözünür. Verim: 0.108 g (% 52), C₈₀H₅₂N₁₆S₄Cl₄Zn.

Teorik (%) C 61.09 H 3.30 N 14.25 Zn 4.16

Analiz (%) C 61.04 H 3.33 N 14.12 Zn 4.10

4.1.14 Çinko(II) Ftalosiyanyin (6b):

0.200 g (0.512 mmol) **4b**, 0.023 g (0.128 mmol) susuz çinko(II) asetat ve 0.5 ml kuru kinolin kullanılarak, **6a** reaksiyon şartlarına göre yapılmış ve saflaştırılmıştır. Verim: 0.094 g (% 45), C₈₄H₆₀N₁₆S₄Cl₄Zn.

Teorik (%)	C 61.94	H 3.68	N 13.76	Zn 4.02
Analiz (%)	C 61.89	H 3.72	N 13.72	Zn 3.97

4.1.15 Nikel(II) Ftalosiyanın (7a):

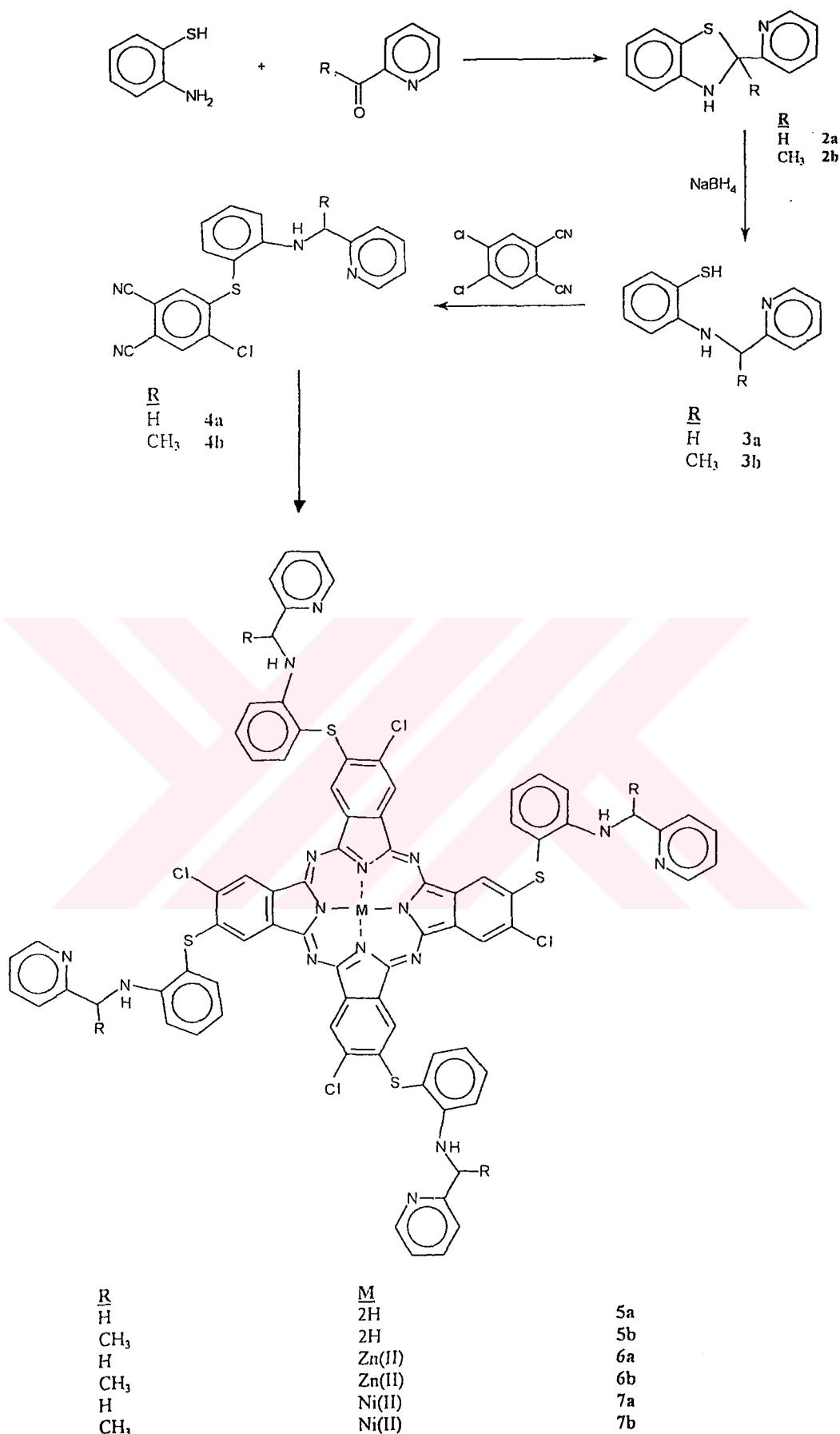
0.200 g (0.531 mmol) **4a** ve 0.017 g (0.133 mmol) susuz nikel(II) klorür, 0.5 ml kuru kinolinde azot atmosferinde 175 °C'de 5 saat ısıtılarak karıştırılır. Reaksiyon tamamlandıktan sonra oda sıcaklığına soğutulan çözelti 5 ml etanol ile seyreltilir, oluşan çökeltiler süzülür reaksiyona girmemiş olan maddeleri uzaklaştırmak için önce su, etanol, kloroform ve asetonla defalarca kaynatılarak süzülür. Daha sonra çökelti sırasıyla dimetilformamid (3x20ml) ve dimetilsülfoksit (3x20 ml) ile 60°C'ye ısıtılp süzülür. Koyu yeşil renkli ürün sıcak etanol ve dietileterle yıkanıp vakumda 100 °C'de kurutulur. Madde derişik H₂SO₄'te iyi çözünür. Verim: 0.060 g (% 29), C₈₀H₅₂N₁₆S₄Cl₄Ni.

Teorik (%)	C 61.37	H 3.35	N 14.31	Ni 3.75
Analiz (%)	C 62.01	H 3.40	N 13.89	Ni 4.01

4.1.16 Ni(II) Ftalosiyanın (7b):

0.200g (0.512 mmol) **4b**, 0.017g (0.128 mmol) susuz Ni(II) klorür ve 0.5 ml kuru kinolin kullanılarak **7a** reaksiyon şartlarında yapılmıştır. Verim: 0.039 g (% 19), C₈₄H₆₀N₁₆S₄Cl₄Ni.

Teorik (%)	C 62.19	H 3.70	N 13.82	Ni 3.62
Analiz (%)	C 61.57	H 3.48	N 13.01	Ni 3.98

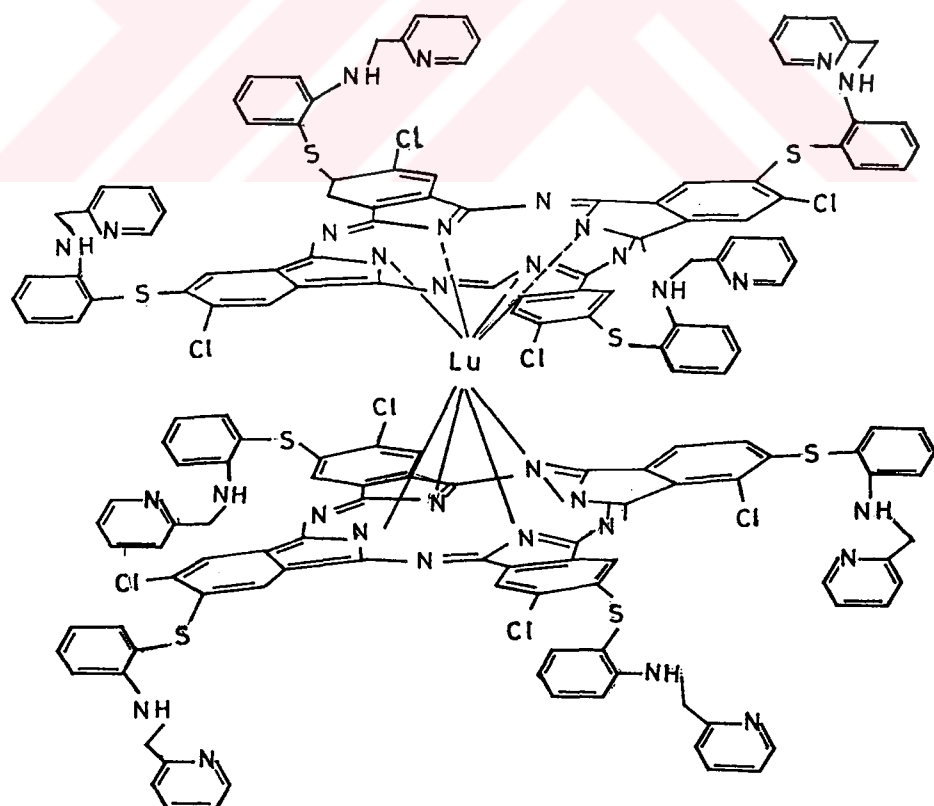


Sekil 4.2 Metalsiz ve metallo ftalosiyanlerin sentezi

4.1.17 Lutesyum Bis(ftalosiyanan) (8a):

0.200 g (0.531 mmol) **4a**, 0.023 g (0.066 mol) susuz lutesyum(III) asetat, 0.032 ml (0.264 mmol) 1,8-diazabisiklo[5,4,0]-undek-7-ene(DBU) ve 1.5 ml 1-hekzanol karışımı azot altında 20 saat geri soğutucu altında kaynatılır. Çözelti soğutulduktan sonra 5 ml etanol ile çöktürülür. Koyu yeşil renkli çökelti etanol (5x20ml) ile kaynatılarak süzülür. Elde edilen ham ürün kloroform (5x20) ile kaynatılıp çözünmeyen kısım süzülüp ayrıldıktan sonra, yeşil renkli süzüntü döner buharlaştırıcıda 5ml'ye kadar buharlaştırılır ve kolon kromatografisi (silikagel, metanol:kloroform/1:20) ile saflaştırılır Elde edilen yeşil renkli saf ürün kloroform, diklormetan, aseton, tetrahidrofuran, DMF ve DMSO'da çözünür. Verim: 0.085 g (% 40), $C_{160}H_{104}N_{32}O_8S_8Cl_8Lu$.

Analiz (%) C 59.97 H 3.30 N 13.89



Şekil 4.3 Lutesyum(III) ftalosiyyanın sentezi

BÖLÜM 5

SONUÇLAR VE YORUMLAR

Bu çalışmada öncelikle, aldehit olarak piridin-2-karboksaldehit, keton olarak 2-asetil piridin kullanılarak 2-aminotiofenolle kondenzasyon reaksiyonu yoluyla ve literatürde yapılmış metoda göre benzotiazolinler elde edilmiştir (**2a** ve **2b**) [112, 114]. Benzotiazolinlerle yapılan çalışmaların bazlarında, benzotiazolin halkasının açılması geçiş metalleri (özellikle rutenyum ve çinko) ile verdiği kararlı Şiff bazı kompleksleri şeklinde gerçekleşirken [113, 115], bazlarında ise aşırı miktarda NaBH₄ kullanılmak suretiyle halka açılmış ve direk indirgeme reaksiyonuyla tiol ligandlarına geçilmiştir [108]. Bu çalışmada kullanılan, direk üç dişli amin-tiol ligandlarının (**3a** ve **3b**) sentezlenmesinde uygun olan ikinci yoldur.

İkinci aşamada, baz katalizliğinde yürüyen nükleofilik aromatik yer değiştirmeye reaksiyonuyla iki farklı dinitril türevi elde etmek üzere başlangıç maddesi olarak 4,5 dikloro-1,2-disiyanobenzen kullanılmıştır. Susuz ortamda ve azot altında, disübstitüte ftalonitril: tiol ligandı / (1:2) mol oranlarında yapılan bu tip reaksiyonlarda, 4,5 dikloro-1,2-disiyanobenzenin her iki klor grubu üzerinden sübstansiyon gerçekleşmektedir [109].

Daha önce bu tip nükleofilik yer değiştirmeye reaksiyonlarıyla ilgili grubumuzca yapılan bir çalışmada, farklı bir şekilde, baz olarak K₂CO₃ ve Cs₂CO₃ kullanıldığından tekli sübstansiyon, Na₂CO₃ takdirinde ise, her iki klor grubu üzerinden sübstansiyon gerçekleşmiş ve bu farklı ürünlerin Na⁺, K⁺ Cs⁺ iyonlarının template etkilerinden kaynaklanmış olabileceği düşünülmüştü [91,104].

Bu çalışmada aynı mol oranlarından (dikloroftalonitril:tiol/1:2) çıkışarak yapılan dinitril türevlerinin (**4a** ve **4b**) sentezinde, gerek Na₂CO₃, gerekse K₂CO₃ takdirinde

aynı ürünler elde edilmiş ve bu ana ürünlerin nükleofilik sübtitüsyonun tek klor üzerinden gerçekleşmesi yoluyla elde edildiği görülmüştür.

Elde edilen dinitril türevleri, nadiren görülen tekli sübstitüsyonun grubumuzca yapılan çalışmalardaki ikinci bir örneğini teşkil etmektedir. Bu dinitril türevlerinin siklotetramerizasyonu yoluyla metalsiz ftalosiyanın ve ortamda uygun metal tuzu varlığında mononükleer metallo ftalosiyanın ($M=Zn, Ni$) sentezleri gerçekleştirilmiştir.

Çalışmanın son aşamasında ise, **4a**'nın DBU gibi kuvvetli bir organik baz varlığında lutesyum(III)asetat tuzu ile reaksiyonu yoluyla lutesyum bis(ftalosiyan) sentezlenmiştir.

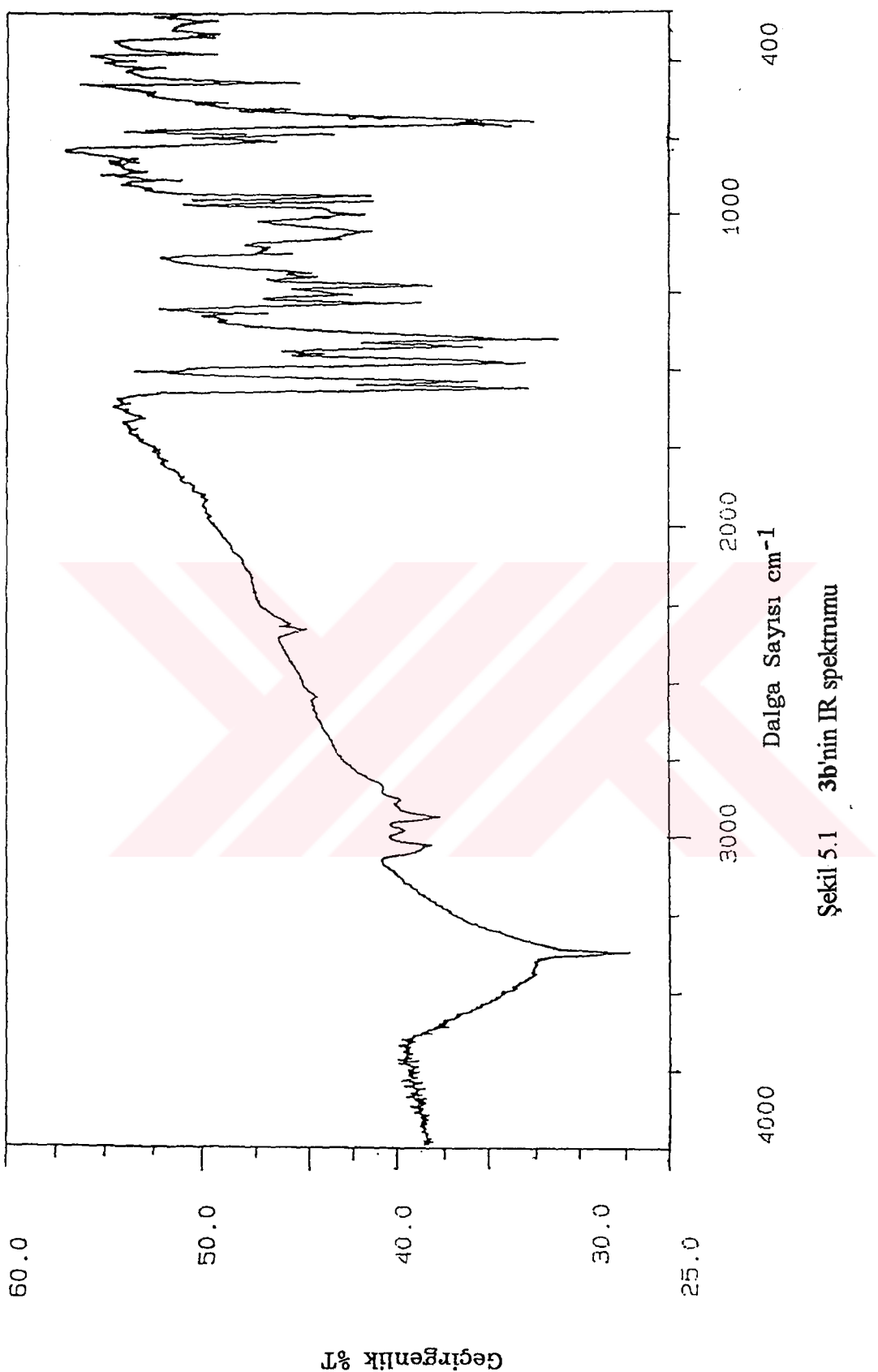
Sentezi gerçekleştirilen maddelerin yapıları IR, elementel analiz, NMR, UV/VIS, ESR ve kütle spektrometresi ile aydınlatılmıştır.

5.1 2-{N-[1-(2'-PİRİDİL)ETİL]AMİNO}FENİLMERKAPTAN (3b)

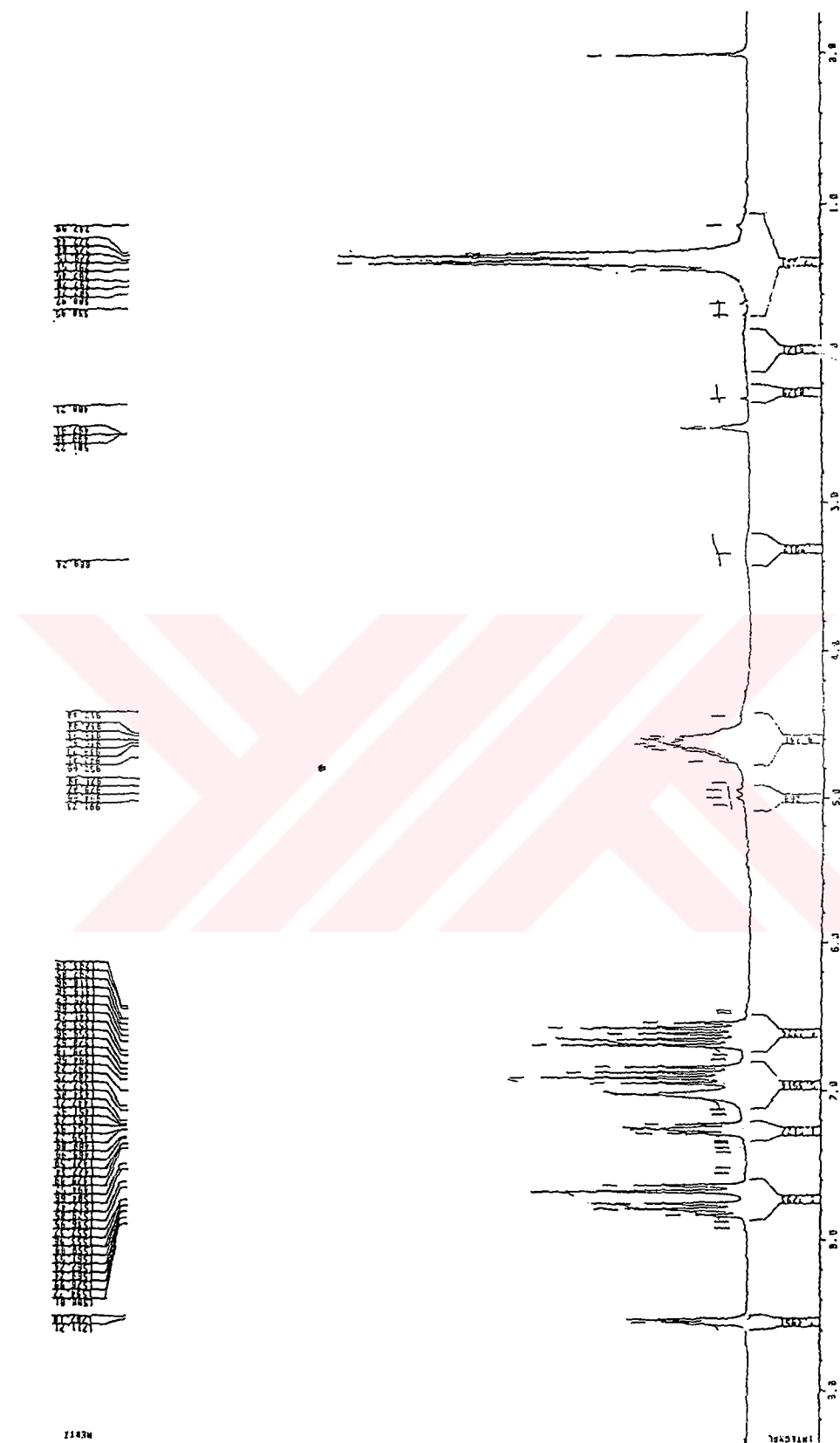
Bu maddenin sentezi, **3a**'nın literatürde verilen sentezine benzer şekilde, metanolde benzotiazolinin 10 katı $NaBH_4$ kullanılmak suretiyle ve oldukça şiddetli bir ekzotermik reaksiyon sonucunda gerçekleştirilmiştir.

Maddenin IR spektrumunda sekonder amin grubuna ait gerilme bandı 3390 cm^{-1} de, aromatik CH gerilme bandları $3058-3010\text{ cm}^{-1}$ de; alifatik CH gerilme bandları $2924-2850\text{ cm}^{-1}$ de zayıf bir band halinde görürken, piridin halkasına ait titreşim bandları $1588-1568\text{ cm}^{-1}$ de ortaya çıkmaktadır.

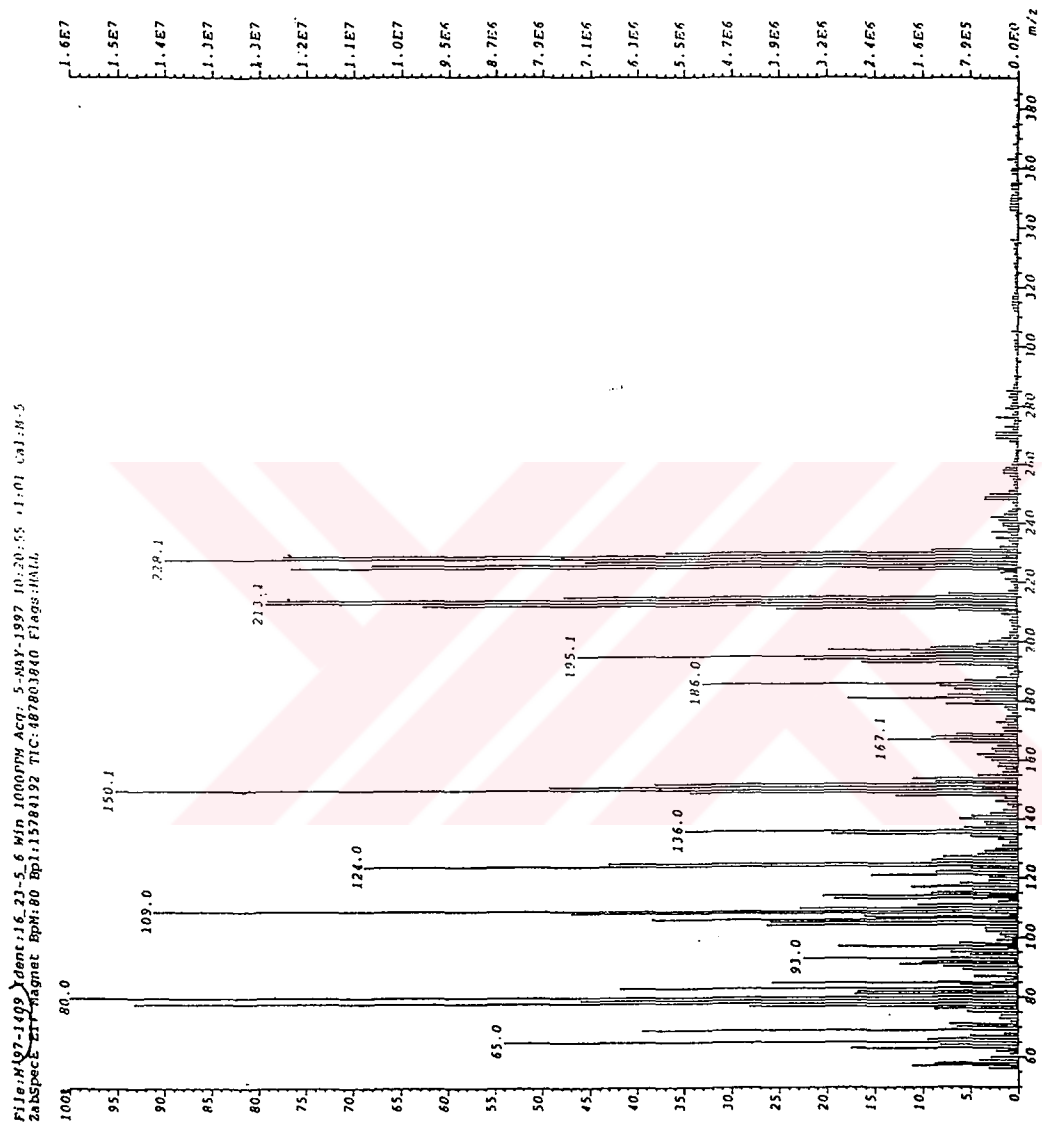
Maddenin d_6 -DMSO içinde alınan 1H -NMR spektrumunda, piridin α -hidrojeni 8.53 ppm'de dublet olarak, piridin ve fenil grubuna ait aromatik protonlar ise 6.73-7.79 ppm arasında multiplet olarak gözlenmektedir. Amin grubuna ait proton 7.02 ppm'de görülmekte ve bu pik D_2O ile kaybolmaktadır. Alifatik CH protonları 4.63 ppm'de pentet olarak, alifatik CH_3 protonları ise 1.40 ppm'de dublet olarak ortaya çıkmaktadır.



Şekil 5.1 3b'nin IR spektrumu



Sekil 5.2 3b'nin ^1H -NMR spektrumu



Sekil 5.3 3b'nin kütle spektrumu

Maddenin EI yöntemiyle elde edilen kütle spektrumunda $228 [M-2]^+$, $229 [M-1]^+$ ve $230 [M]^+$ mol pikleri sırasıyla % 89, % 77 ve % 36 şiddette çıkmıştır. Ayrıca metil ve piridin gruplarının kopuşlarına karşı gelen fragment iyonlarına ait pikler de tespit edilmiştir.

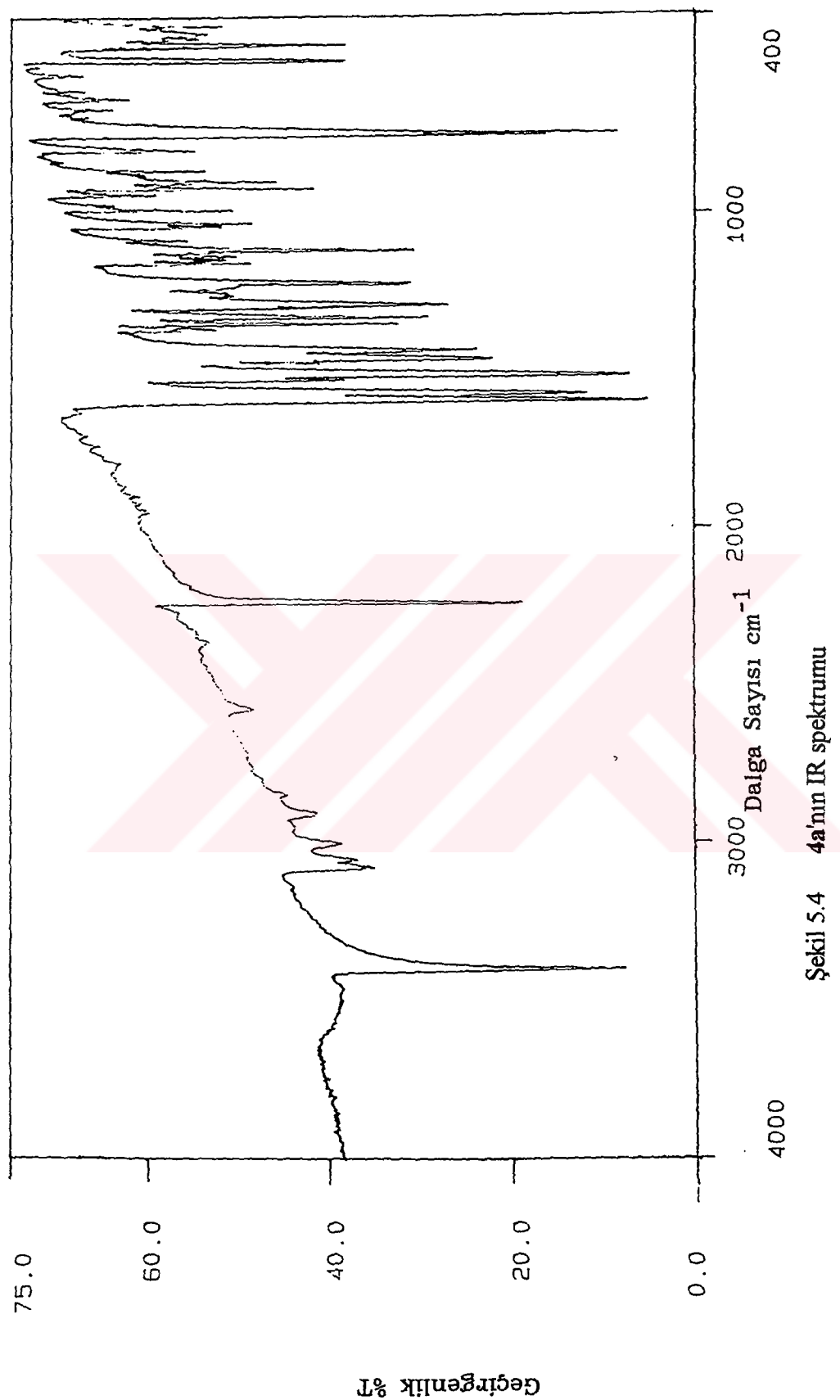
5.2 DİNİTRİL TÜREVLERİ (4a ve 4b)

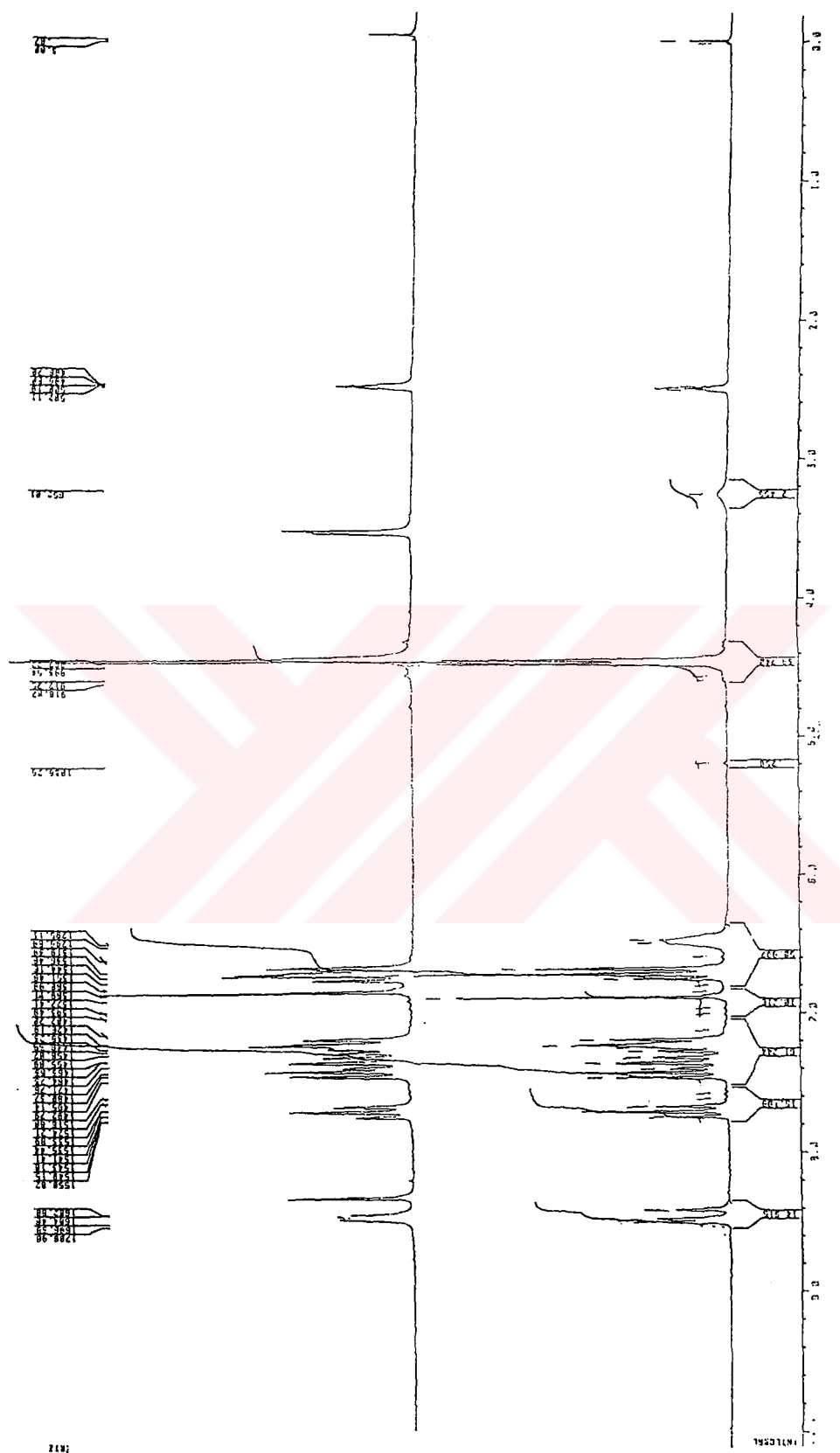
Her iki dinitril türevinin sentezinde, baz olarak K_2CO_3 'in fazlaşısı, solvent olarak tetrahidrofuran kullanılmış ve reaksiyon kaynama sıcaklığında gerçekleştirilmiştir. Reaksiyon şartlarının (solvent, baz ve mol oranları) değiştirilmesi, oluşan ana üründe bir farklılığa sebep olmamıştır. Reaksiyon ortamında oldukça fazla yan ürün oluşumu nedeniyle, 4a ve 4b, sırasıyla % 40 ve % 20 verimlerle elde edilmiştir.

4a ve 4b'nin IR spektrumunda, $C\equiv N$ gruplarına karşı gelen keskin absorbsiyon bandı 2225cm^{-1} de, piridin halkasına ait titreşim bandları 1589 ve 1568 cm^{-1} de gözlenmiştir. Sekonder amin gruplarına ait gerilme titreşimleri; 4a için 3390 cm^{-1} de şiddetli tek bir band, 4b için ise 3395 ve 3390 cm^{-1} de ikiye yarılmış bir band şeklinde görülmüştür. Her iki maddenin spektrumunda 2519 cm^{-1} de gözlenen SH titreşimlerine ait band dinitril oluşumuyla birlikte kaybolmuştur.

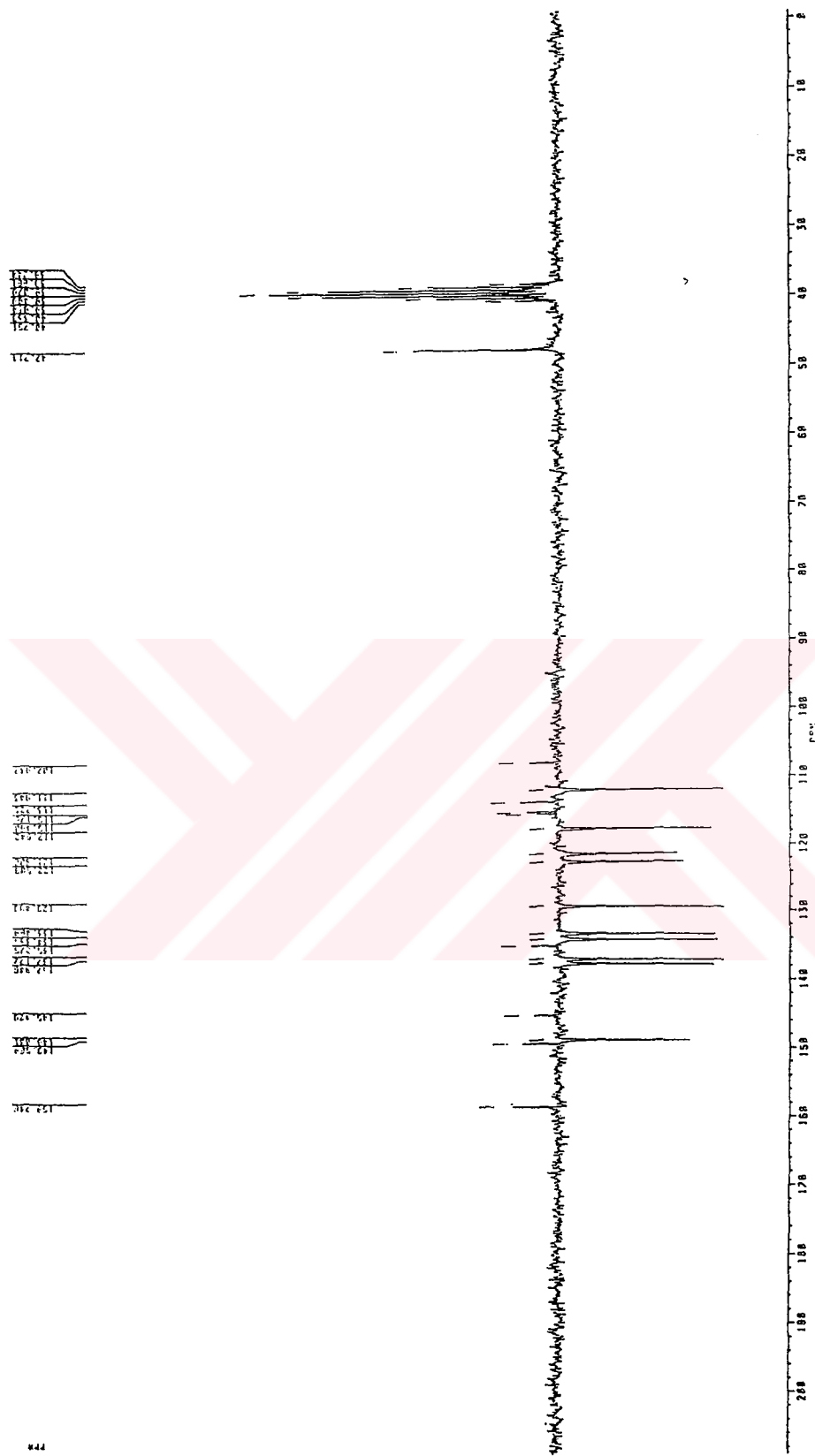
Maddelerin d_6 -DMSO içinde alınan 1H ve ^{13}C -APT spektrum değerleri önerilen yapıya uygundur. 1H -NMR spektrumunda karakteristik piridin α -hidrojeni 4a için 8.47 ppm'de dubletin dubleti, 4b için 8.41 ppm'de dublet olarak görülmüştür. Her iki madde için, piridin ve fenil gruplarına ait aromatik protonlar 6.67-7.71 ppm arasında multiplet olarak gözlenmiştir. Sekonder amin grubuna ait pikler 4a için, 6.47 ppm'de singlet, 4b için, 5.88 ppm'de dublet olarak görülmekte ve bu piklerin D_2O ile kaybolduğu gözlenmektedir. 4a'ya ait spektrumda alifatik CH_2 protonları 4.45 ppm'de dublet, 4b'ye ait spektrumda ise alifatik CH protonları 4.76 ppm'de pentet ve alifatik CH_3 protonları 1.40 ppm'de dublet olarak ortaya çıkmaktadır.

Her iki maddenin ^{13}C -APT spektrumunda piridin ve fenil gruplarına ait 10 adet doymamış, aromatik karbon atomu 110 ppm ile 160 ppm arasında beklenildiği gibi 10 adet pik şeklinde görülmektedir, bu ise önerilen tek klor grubu üzerinden

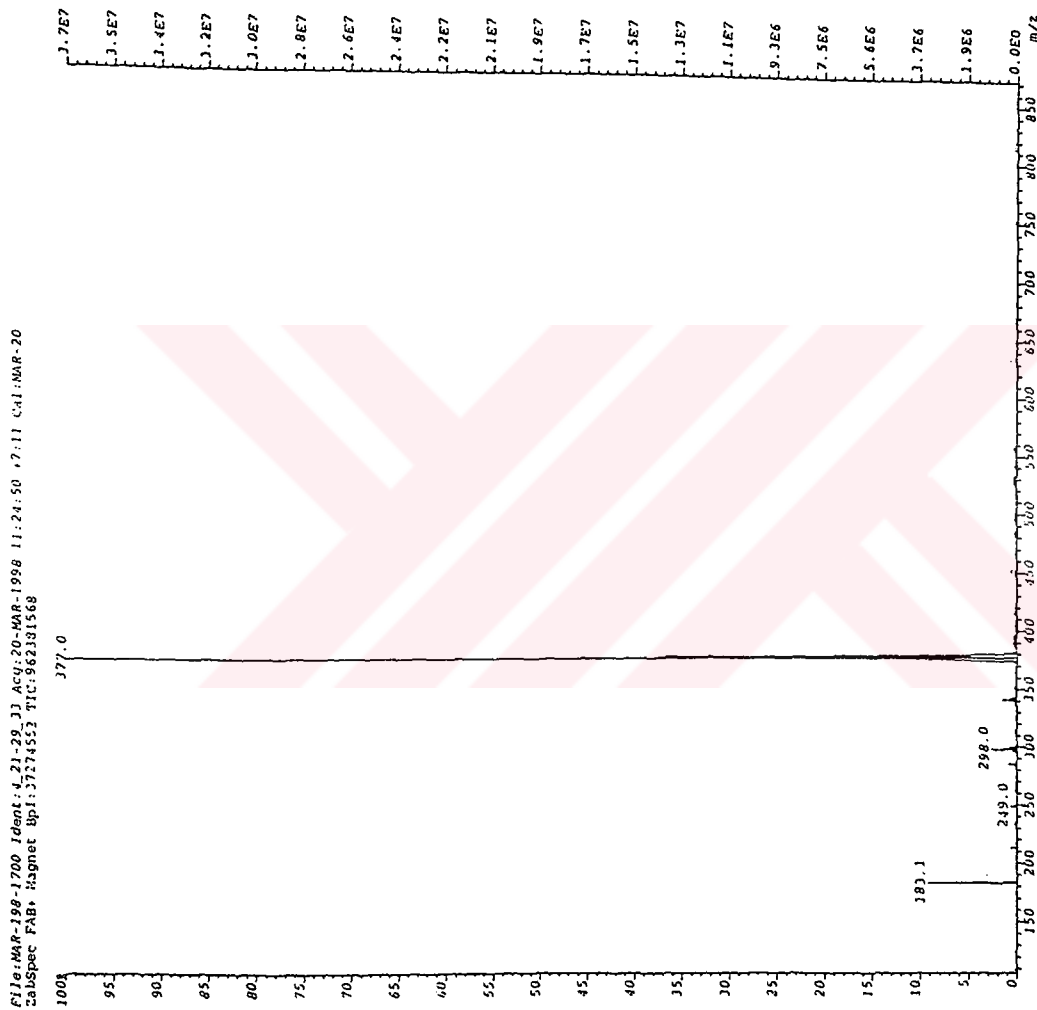




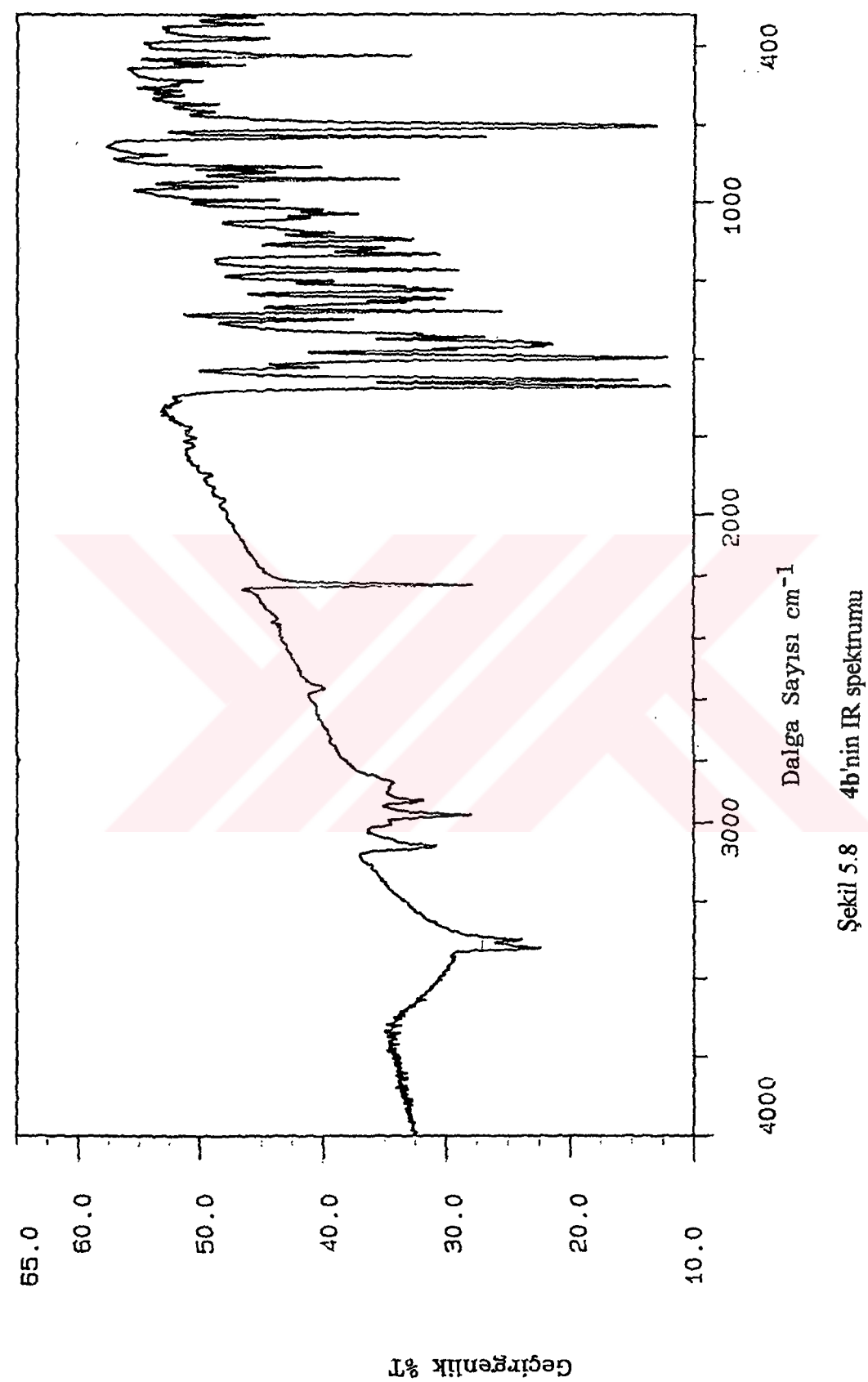
Sekil 5.5 $4\text{a}'\text{mm}$ ${}^1\text{H}$ -NMR spektrumu

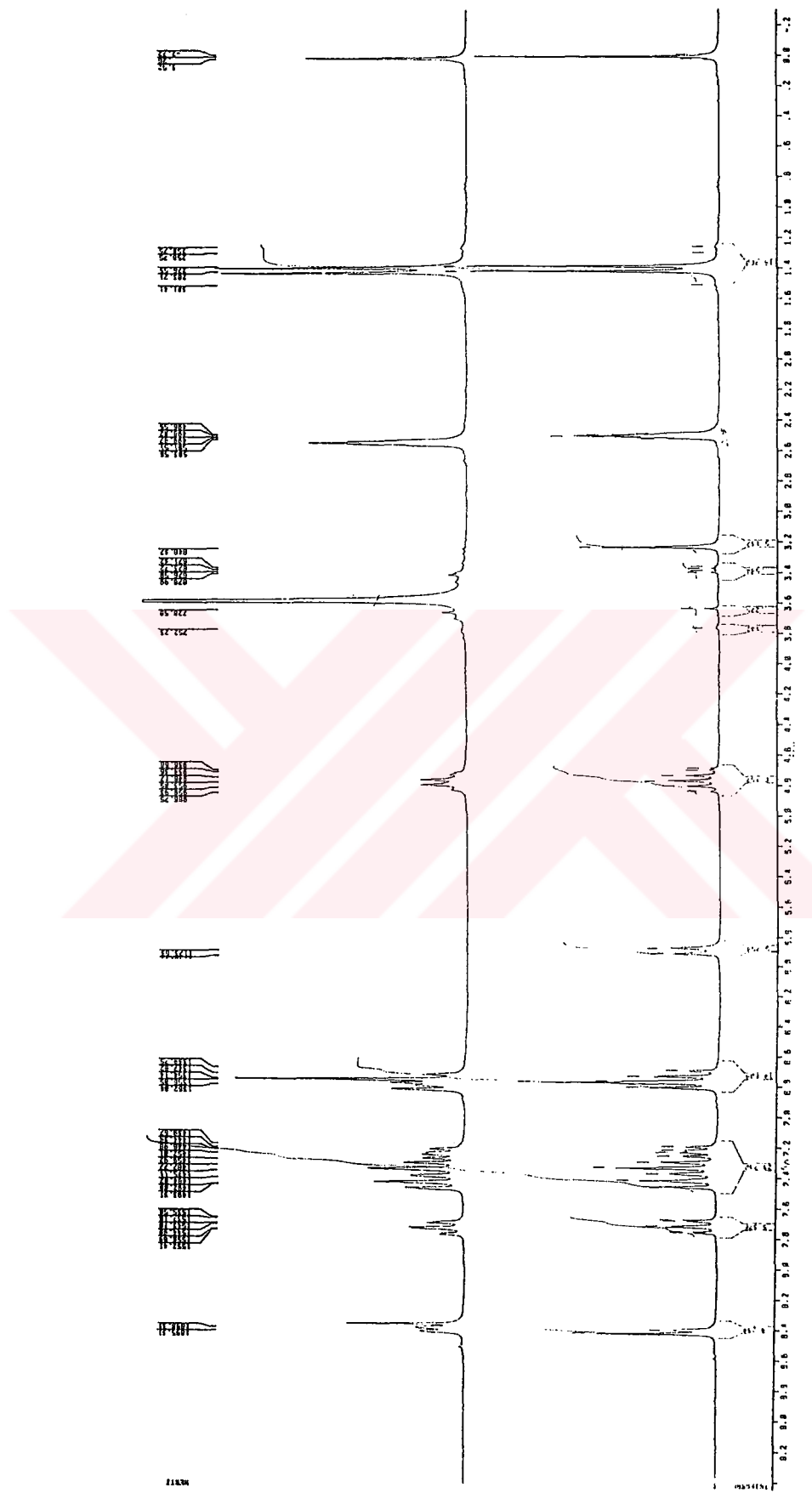


Sekil 5.6 $4\text{a}'$ in ^{13}C -NMR spektrumu

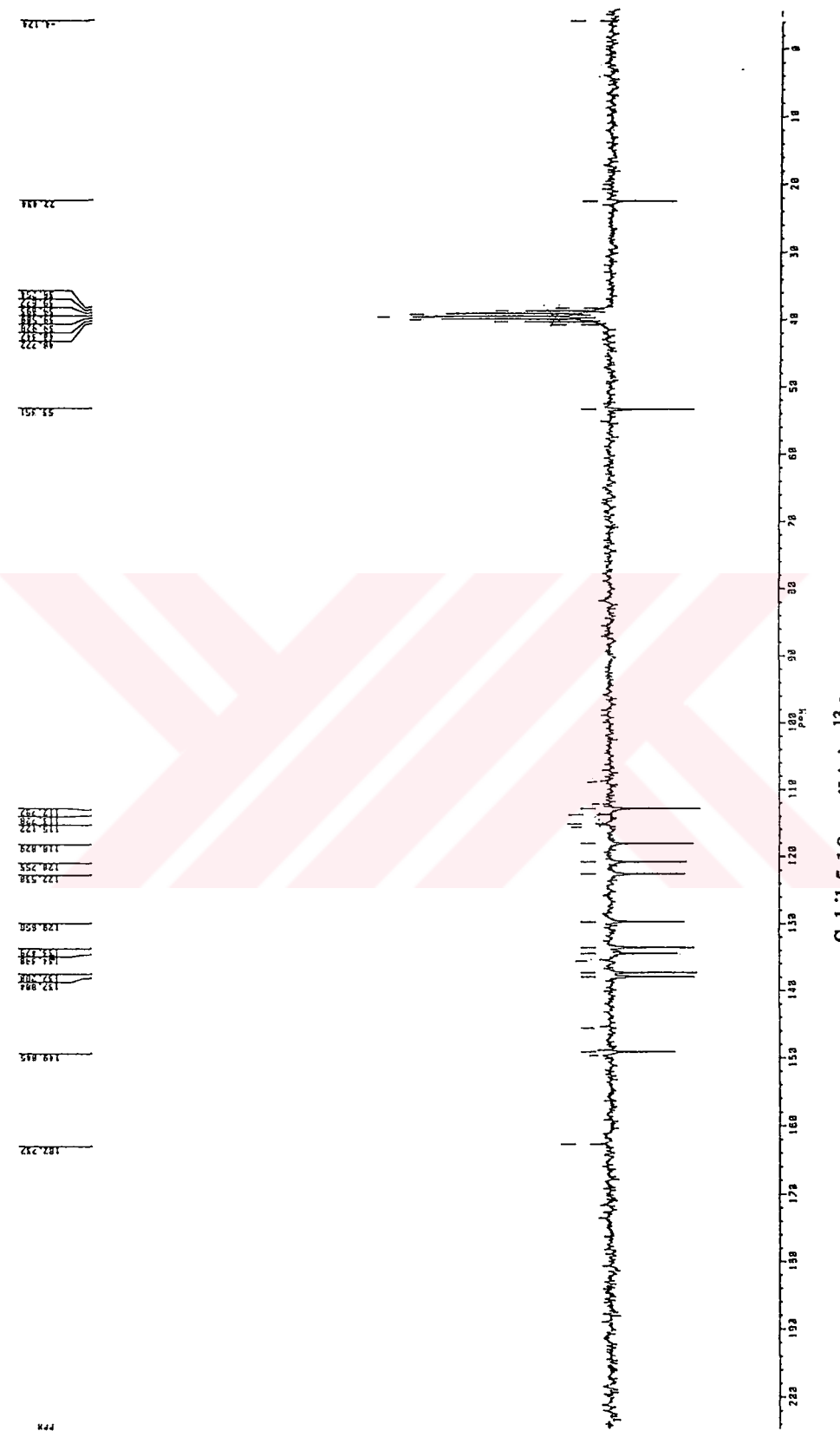


Sekil 5.7 4a'nm kütle spektrumu

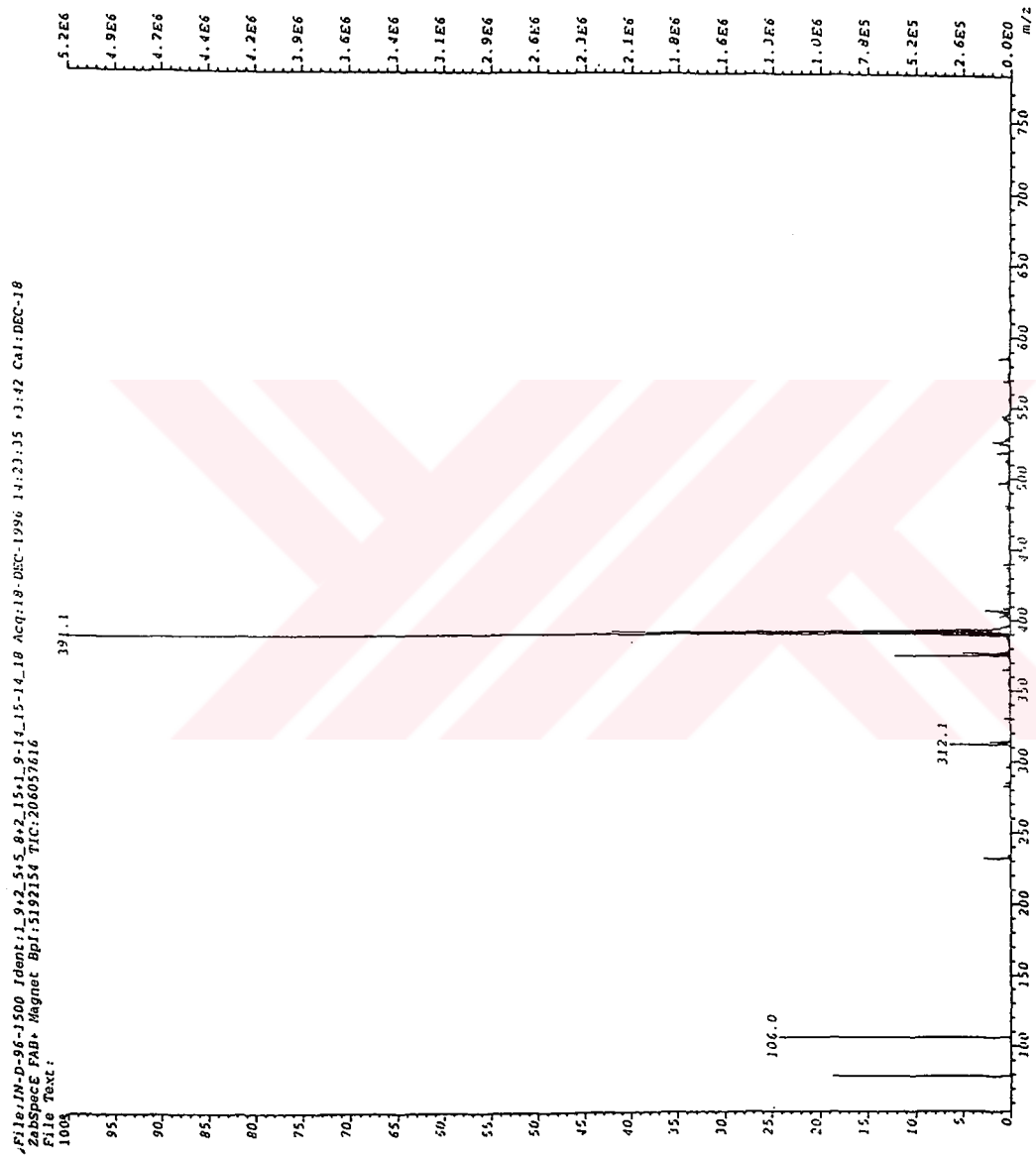




Sekil 5.9 4b'nin ^1H -NMR spektrumu



Sekil 5.10 $4\mathbf{b}$ 'nin ^{13}C -NMR spektrumu



Şekil 5.11 $4b'$ nin kütle spektrumu

sübstiyonun gerçekleştiği yapıyı doğrulamaktadır. Piridine ait karakteristik kuaterner karbon atomu **4a** için 158.7 ppm, **4b** için ise 162.7 ppm'de görülmektedir. C≡N gruplarına ait karbon atomları 115.48 ve 115.17 ppm'de 2 ayrı pik halinde ortaya çıkmaktadır. **4a** için alifatik CH₂ karbon atomu 47.7 ppm'de, **4b** için ise alifatik CH karbon atomu 53.3 ppm, CH₃ karbon atomu ise 22.4 ppm'de gözlenmektedir.

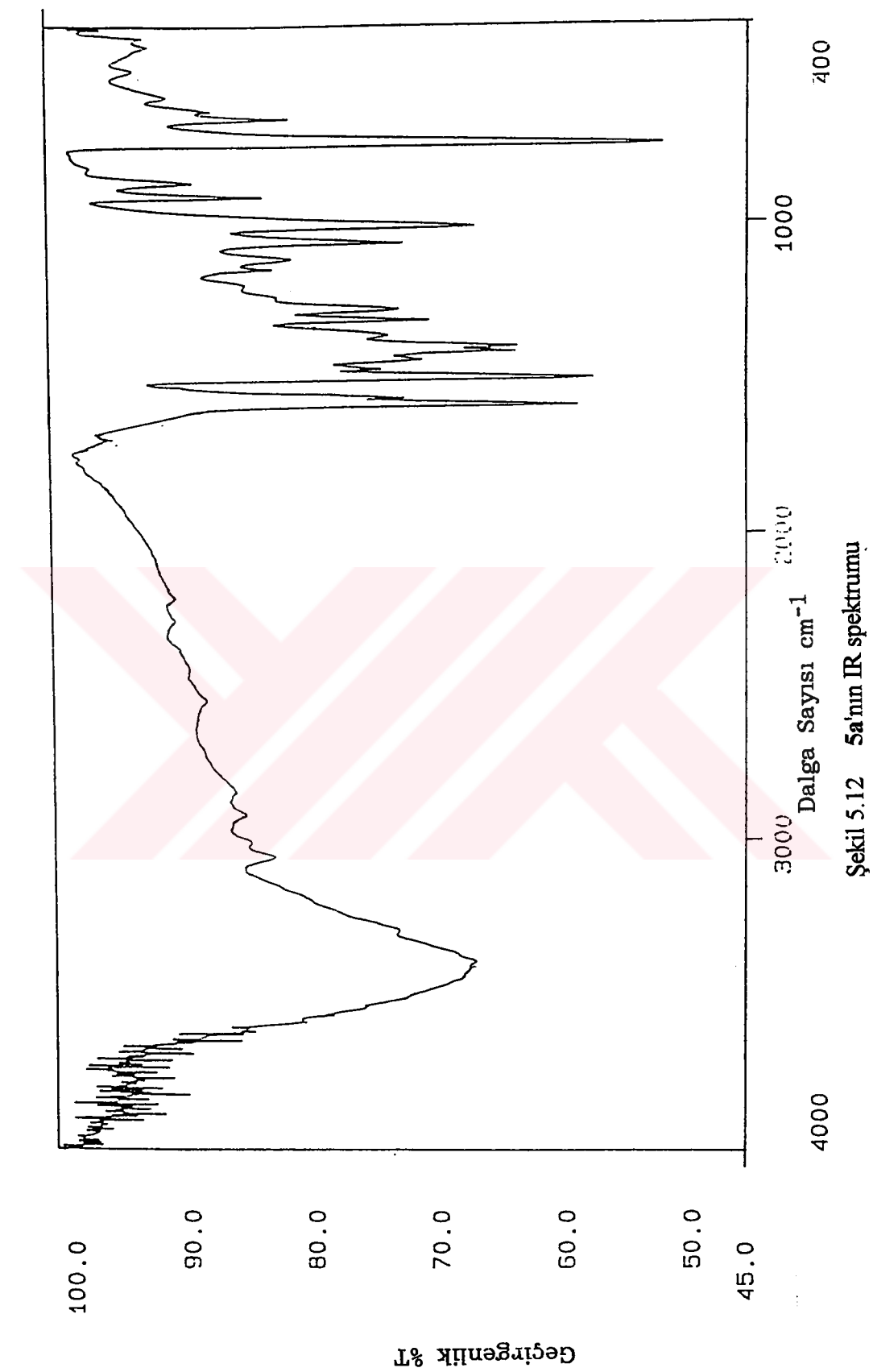
Maddelerin FAB yöntemiyle elde edilen kütle spektrumlarında, **4a** için 377 [M]⁺ ve **4b** için 391 [M]⁺ mol pikleri % 100 şiddette çıkmıştır. Her iki dinitril türevinde mol piklerinin yanında piridin gruplarının kopuşuna karşı gelen fragment iyonlarının [M-79]⁺ pikleri tespit edilmiştir.

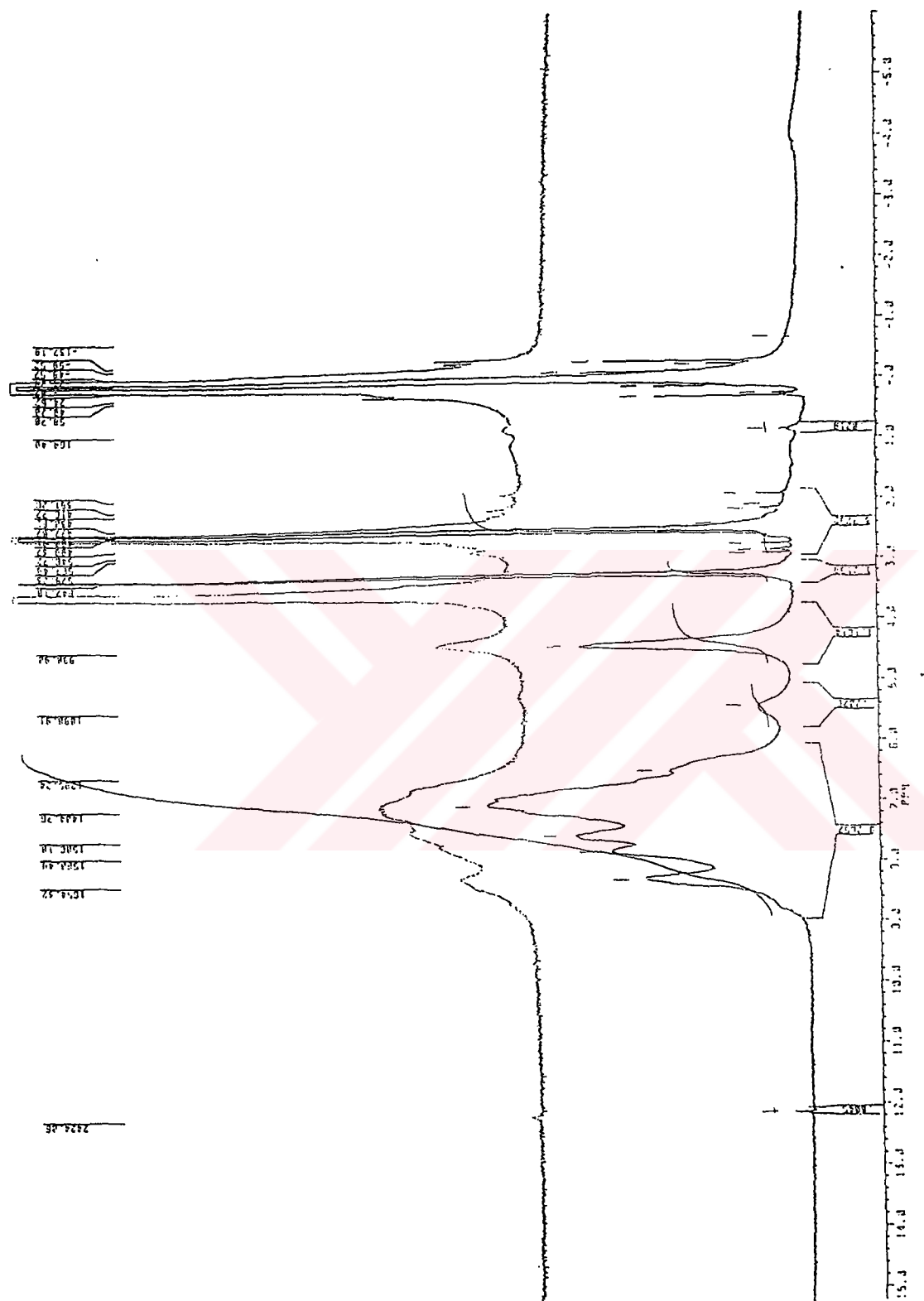
5.3 METALSİZ FTALOSİYANİNLER (**5a** ve **5b**)

Metalsız ftalosiyaniner **4a** ve **4b**'nin azot atmosferinde, kuru 2-(dimetilamino)etanol içerisinde geri soğutucu altında 6 saat süreyle kaynatılmasıyla elde edilmiştir. Sentezlenen ürünler yeşil renkte olup, DMF, DMSO ve piridinde çözünmektedir. Elde edilen ham ürünler sıcak etanolle yıkandıktan sonra kromatografik metodla silikagel üzerinden geçirilmiş ve DMF:Etilasetat/(1:4) karışımından kristallendirilmek suretiyle saf olarak izole edilmiştir.

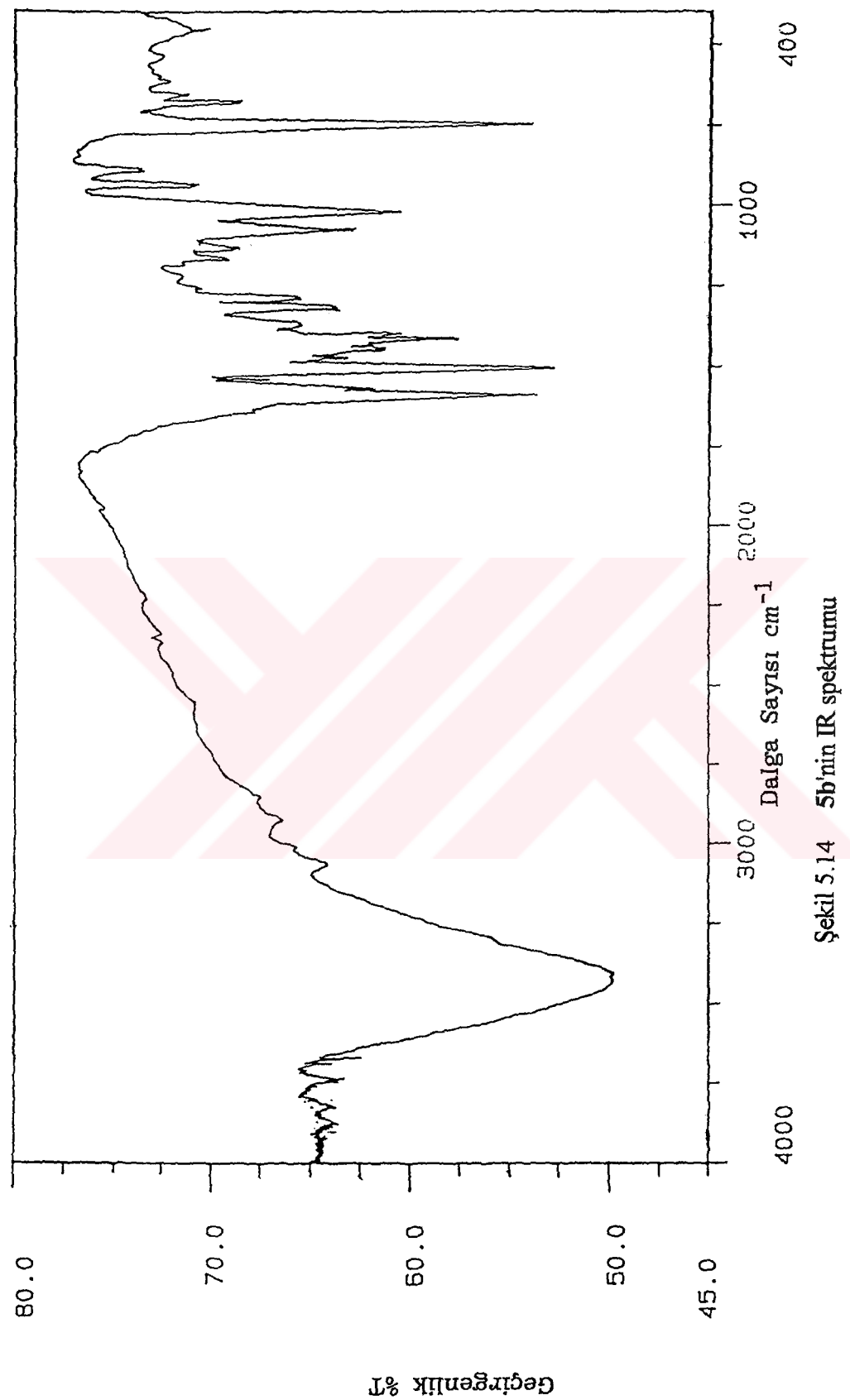
5a ve **5b**'nin IR spektrumunda ftalosiyanın olusumuyla C≡N gruplarına ait absorbsiyon bandının kaybolduğu ve oluşan metalsız ftalosiyanın iç çekirdeğindeki NH gruplarının 3285 cm⁻¹'de ortaya çıktığı görülmektedir. Sekonder amin, aromatik CH, alifatik CH ve piridin halkasına ait titreşim bandları **4a** ve **4b**'deki değerler ile benzerlik göstermektedir.

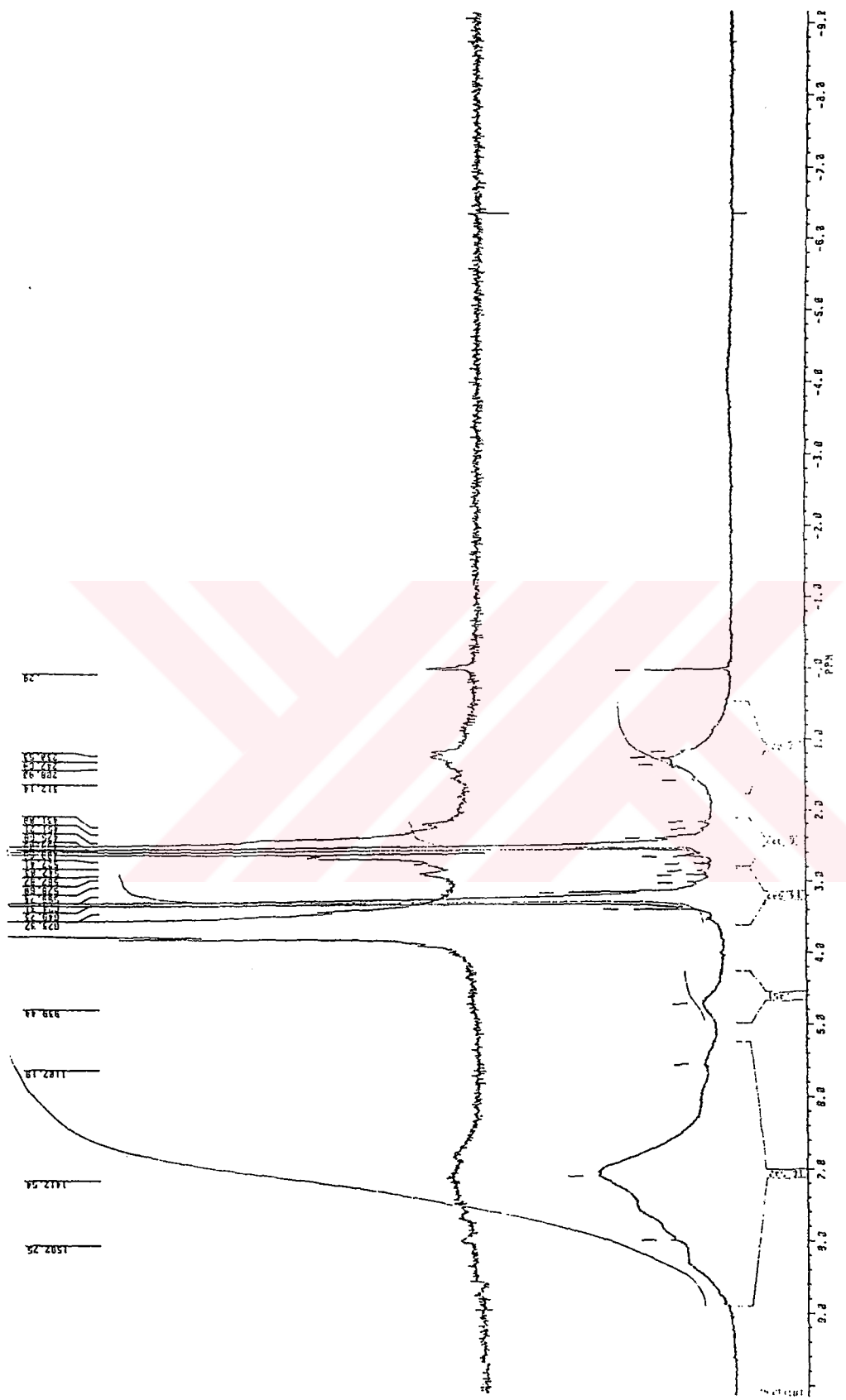
5a ve **5b**'nin ¹H-NMR spektrumları d₆-DMSO içinde alınmıştır. Her iki metalsız ftalosiyanının internal NH piki yüksek alanda, -4.29 ppm'de, sekonder amin grubuna ait NH piki ise 5.40 ppm'de görülmüş ve bu piklerin D₂O ile kaybolduğu gözlenmiştir. **5a** için; aromatik protonlar 6.47-8.26 ppm arasında multiplet olarak, alifatik CH₂ protonları ise 4.40 ppm'de ortaya çıkarken; **5b** için aromatik protonlar 6.42-8.23 ppm arasında, alifatik CH protonu 4.78 ppm, CH₃ protonları ise 1.36



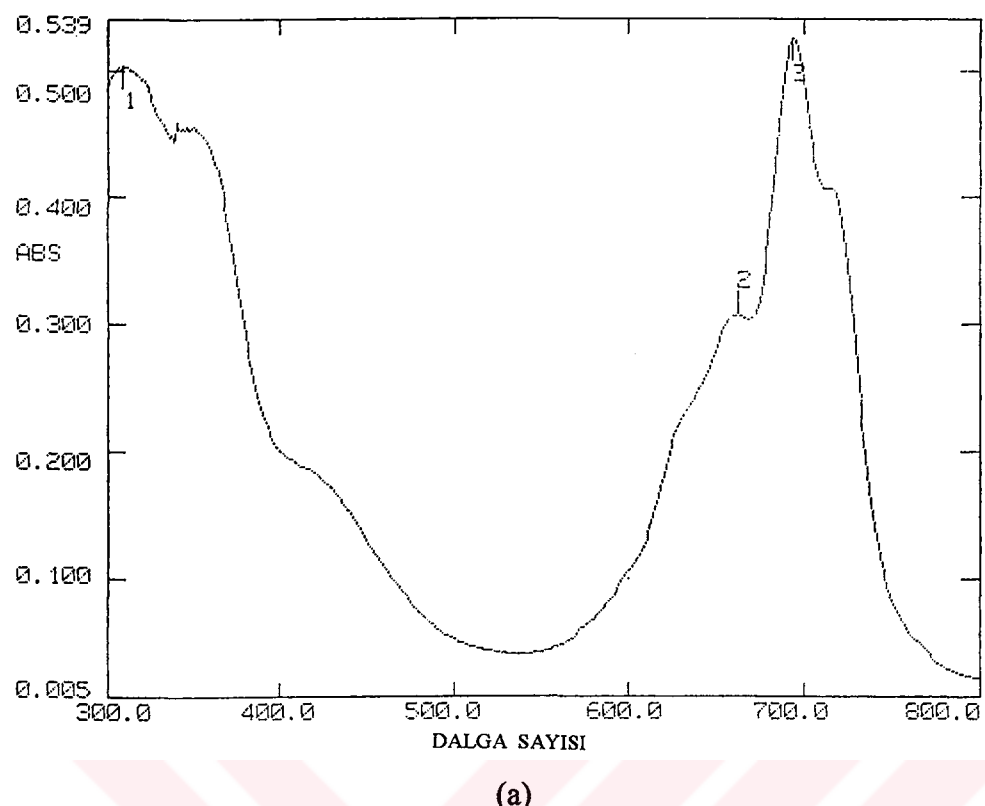


Şekil 5.13 5a'nın ¹H-NMR spektrumu

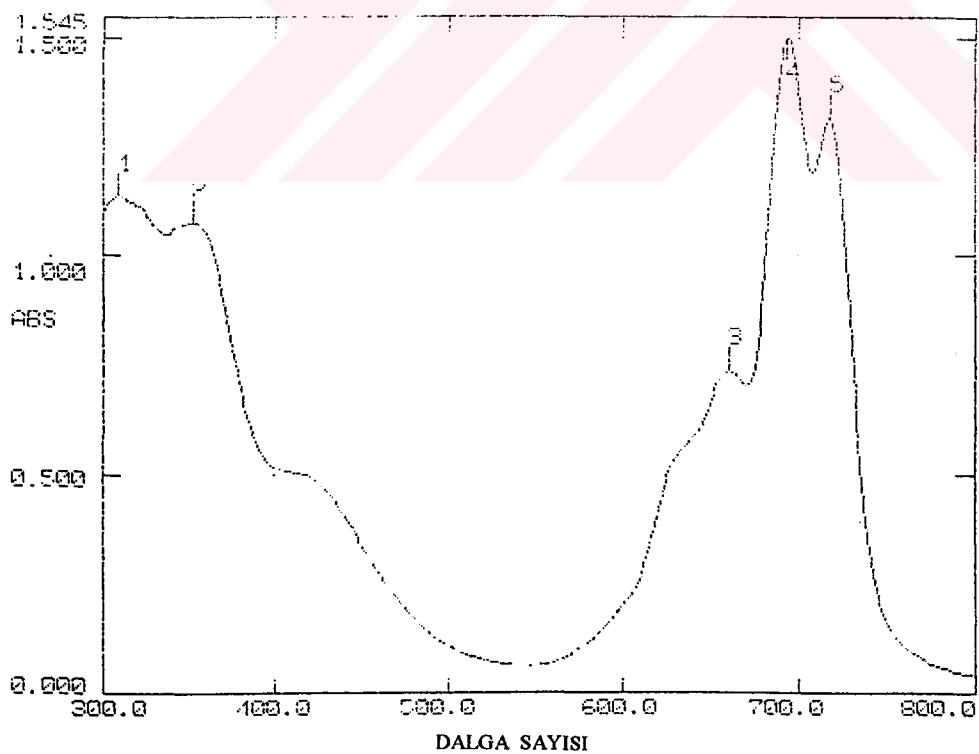




Sekil 5.15 5b'nin $^1\text{H-NMR}$ spektrumu



(a)



(b)

Şekil 5.16 5a (a), 5b (b)'nin UV/Vis spektrumları

ppm'de gözlenmiştir. Elde edilen ürünlerin, birer izomer karışımı olmaları ve agregasyon oluşması nedeniyle yarılmalar görülememiş, alifatik ve aromatik protonlar geniş çıkışlılardır.

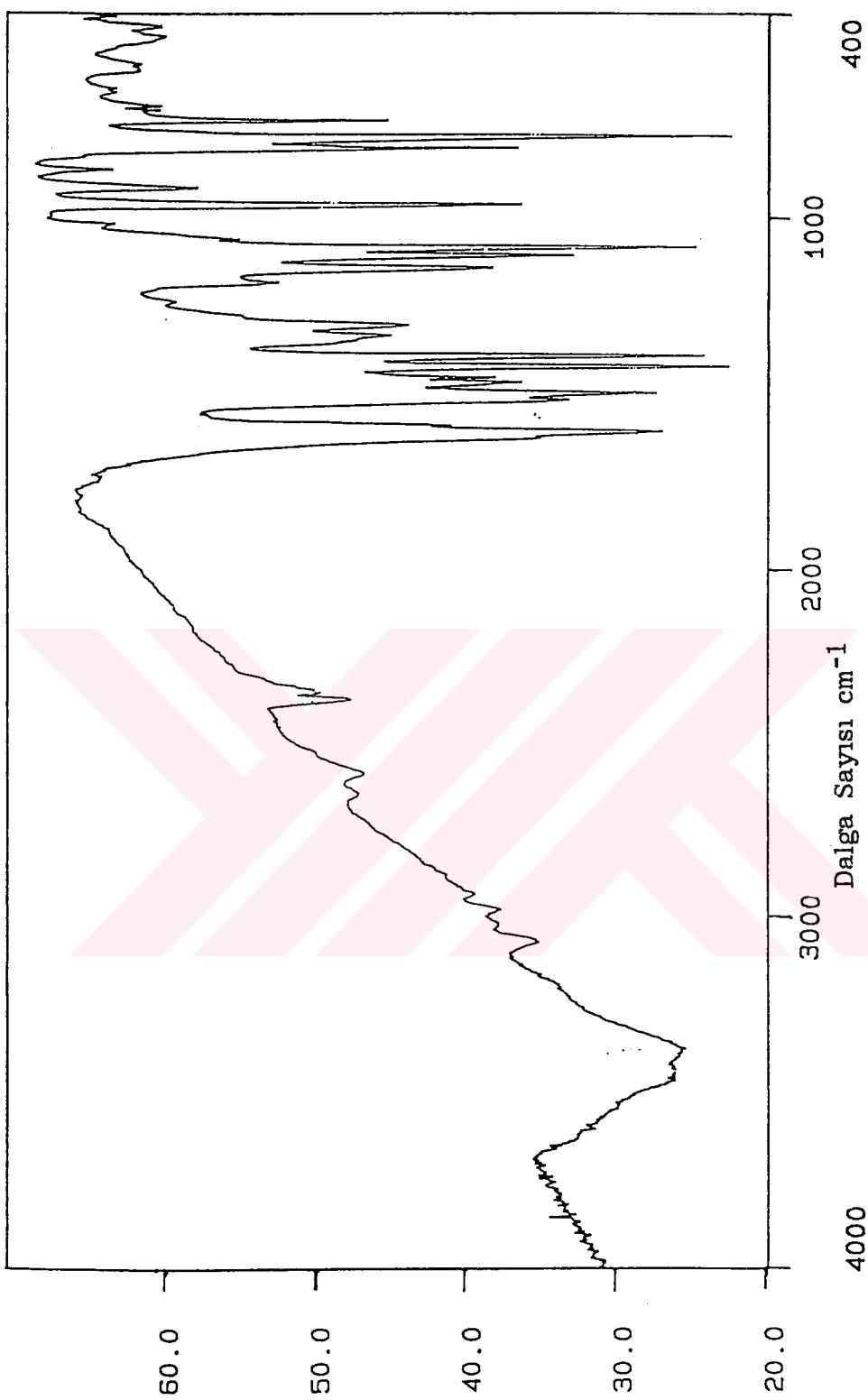
π -elektronlarında, zengin olan ftalosiyaniner, iki tip absorbsyon piki verirler. Bunlardan $\pi-\pi^*$ geçişleri 500-720 nm dalga boyu aralığında olup Q bandlarına karşılık gelirken, daha düşük enerji seviyesindeki π orbitalinden π^* orbitaline geçişe karşılık gelen $\pi-\pi^*$ geçişleri 320-420 nm aralığında olup B (soret) bandlarıdır. **5a** ve **5b**'nin dimetilformamidde alınan UV/Vis spektrumlarında sırasıyla, 695 nm ve 719 nm'de omuz şeklinde ile 694 nm ve 718 nm'de metalsiz ftalosiyaninerin tipik çift bandı gözlenmiştir. Sübstitüe olmayan veya N ve O donör atomlarıyla sübstitüe olmuş ftalosiyaninlere göre, bu çalışmada elde edilen metalsiz ftalosiyaninlere ait Q bandı daha uzun dalga boyunda görülmektedir. Bu durum ftalosiyanin iç çekirdeğinde yer alan benzen halkaları üzerindeki tioeter gruplarından dolayı Q bandının yakın IR bölgesine kaymasından ileri gelmektedir.

5.4 ÇINKO(II) FTALOSİYANİNLER (**6a** ve **6b**)

Çinko(II) ftalosiyaniner (**6a** ve **6b**), **4a** ve **4b** ile susuz çinko(II) asetat ve kuru kinolinin azot atmosferinde 175 °C'de ısıtımasıyla elde edilmiştir. Yeşil renkli ürünler, DMF, DMSO ve piridinde kolaylıkla çözünmektedir.

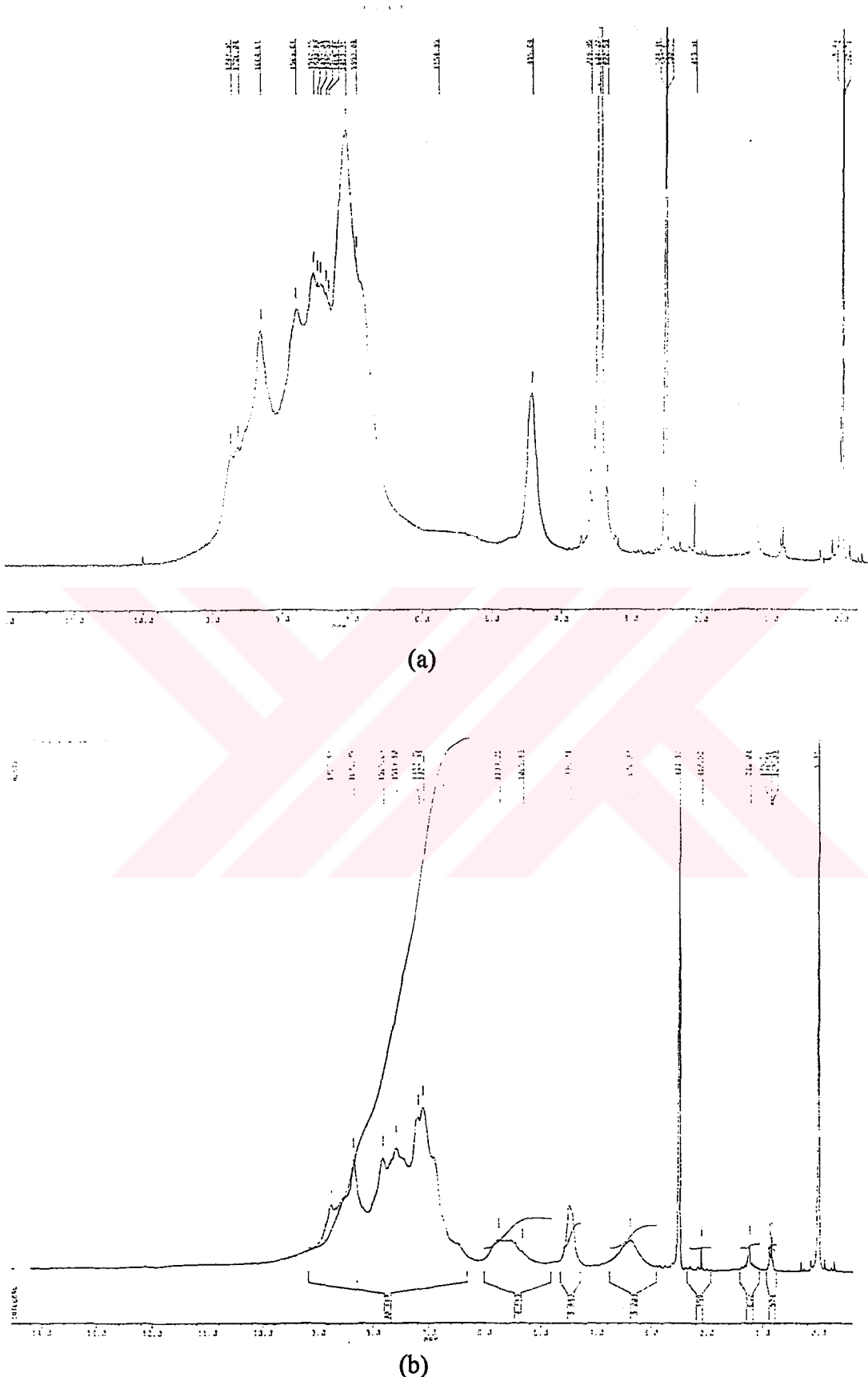
6a ve **6b**'nin IR spektrumunda, dinitril türevinin siklotetramerizasyonu sonucu C≡N bandının yok olduğu görülmekte, 3285 cm⁻¹deki internal NH titreşimi haricindeki pikler metalsiz ftalosiyaninerin IR spektrumu ile benzerlik göstermektedir. Internal azotlara bağlı hidrojenlerin yerini metal iyonu aldığından NH titreşimi kaybolmuştur.

6a ve **6b**'nin d_6 -DMSO'da alınan ¹H-NMR spektrumlarında, metalsiz ftalosiyaninerde olduğu gibi, ürünlerin birer izomer karışımı olmaları nedeniyle yarılmalar tam olarak görülemezken, piklerin genişlediği gözlenmiştir. Her iki ftalosiyanine ait spektrumda D₂O ile kaybolan sekonder amin grubuna ait NH piki 5.54 ppm'de gözlenmiştir.

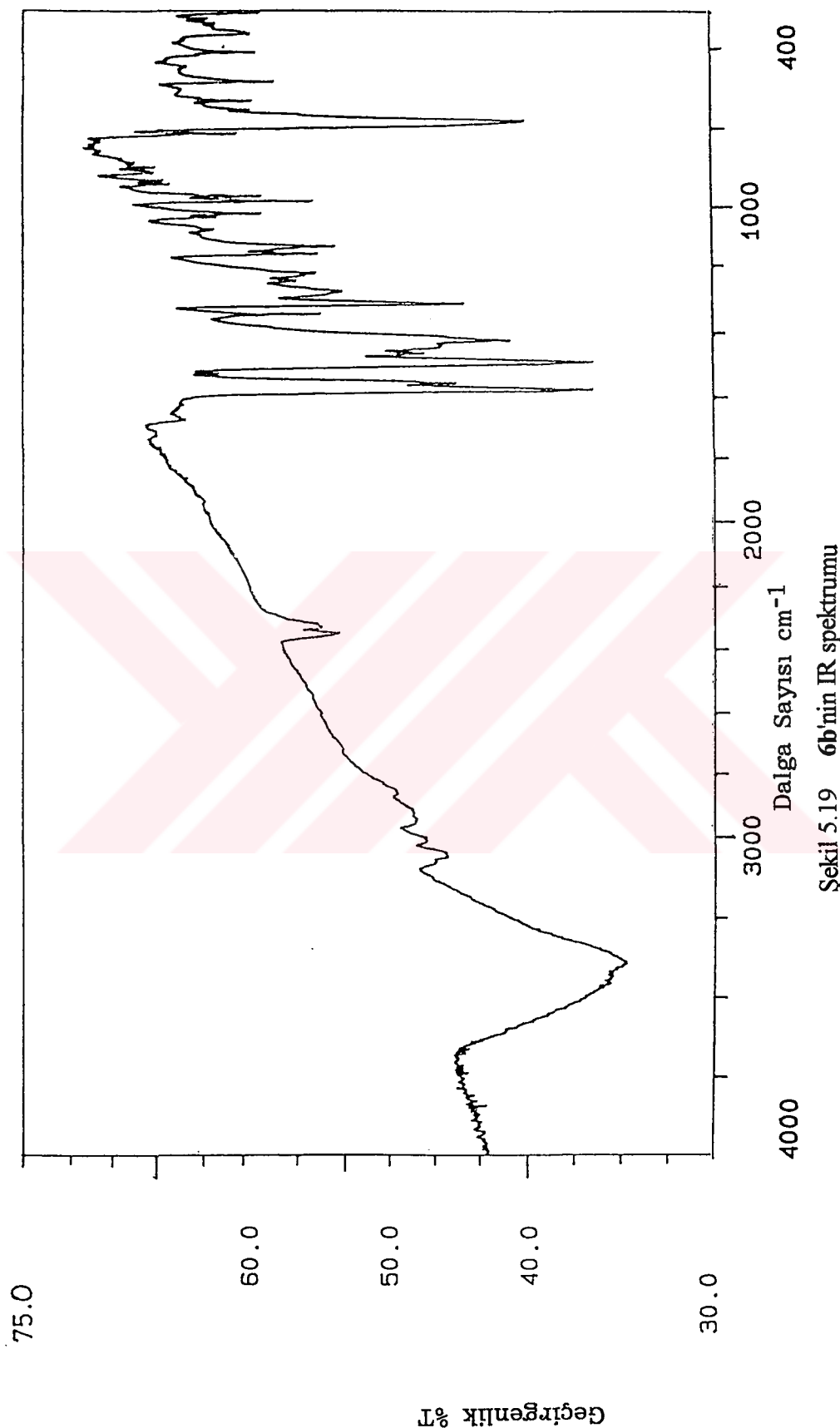


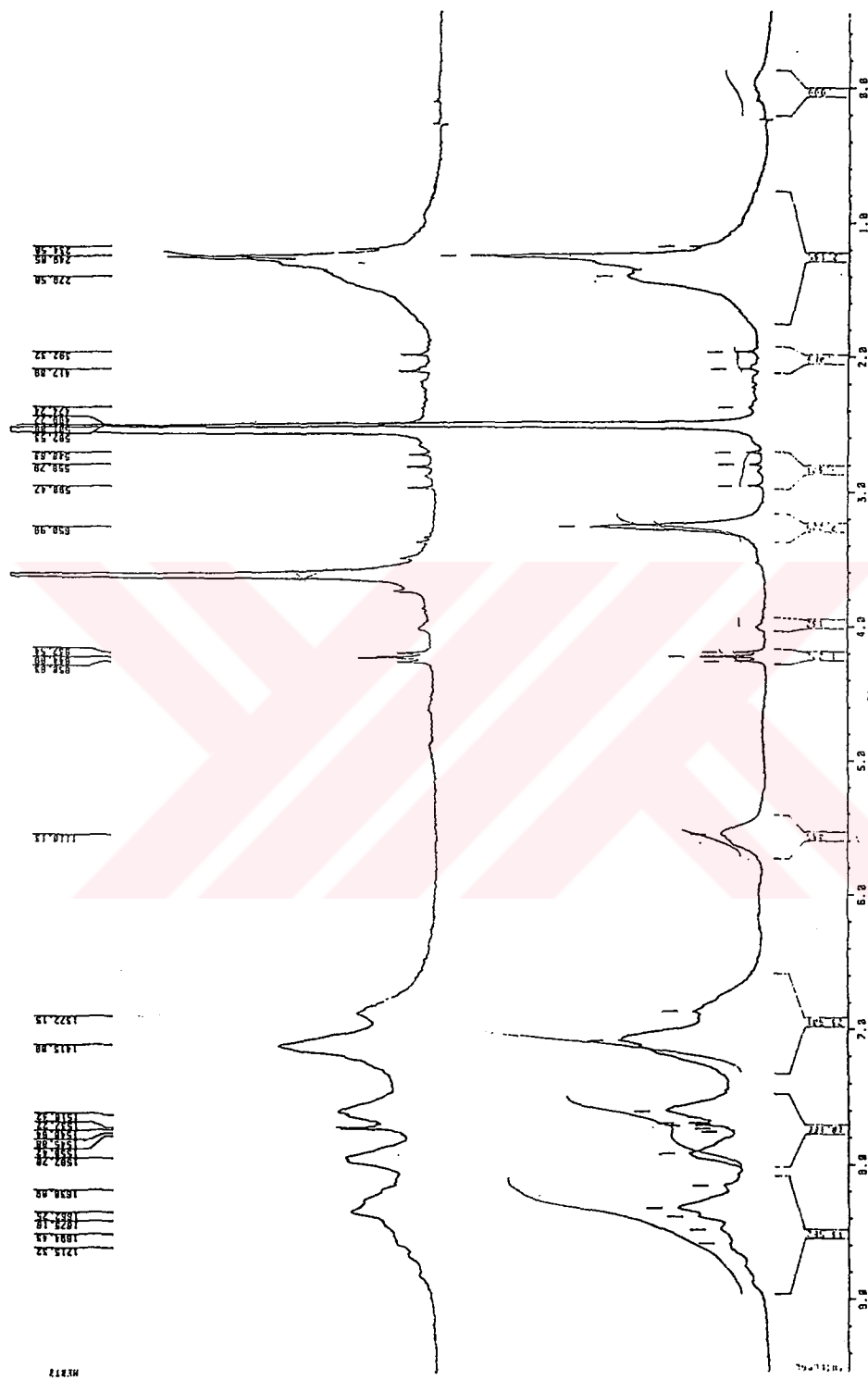
Şekil 5.17 6a'nın IR spektrumu

Geçirgenlik %

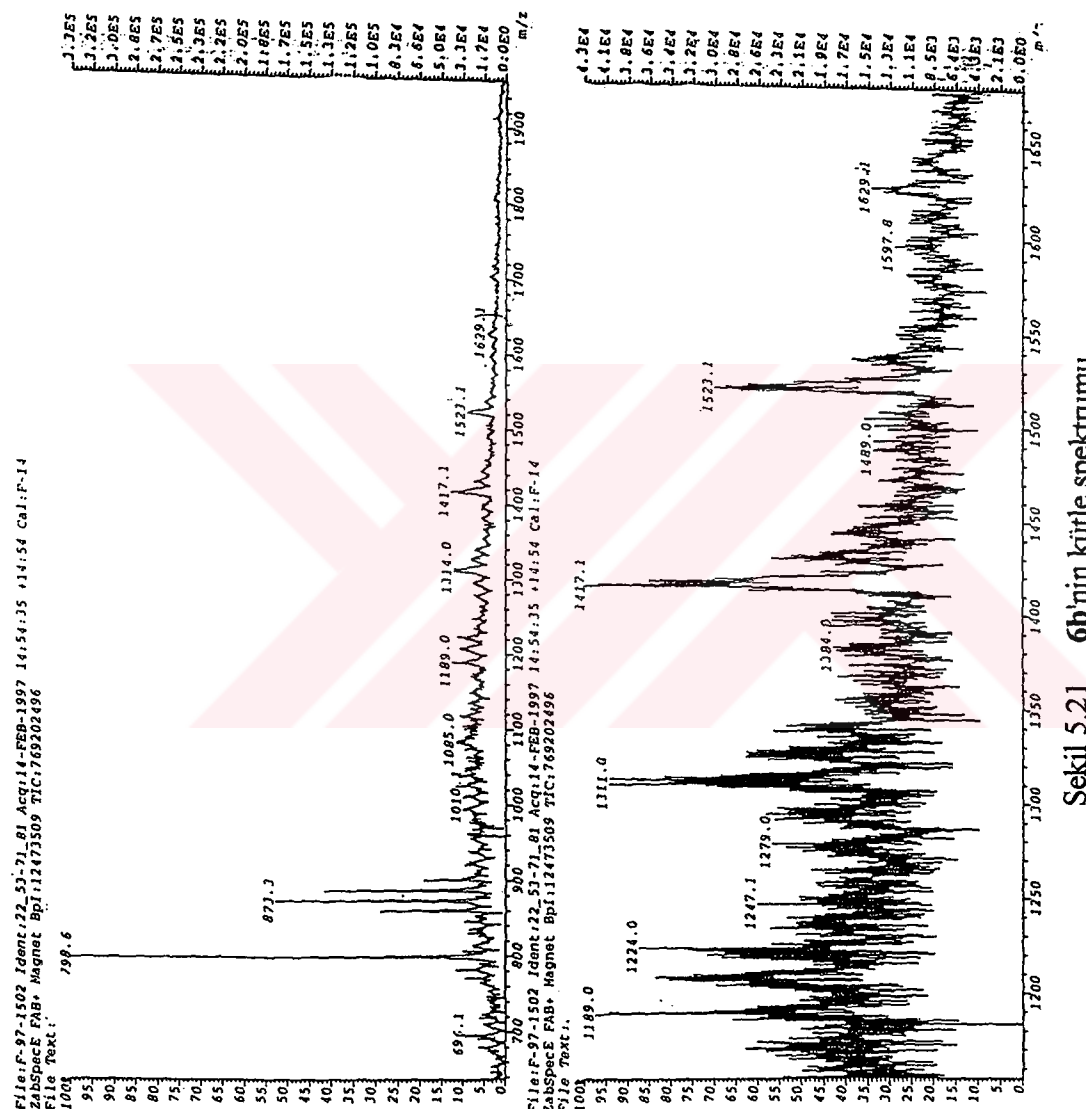


Şekil 5.18 6a'nın DMSO içinde alınan ^1H -NMR spektrumu (a), D_2O ilavesiyle gözlenen değişim(b)

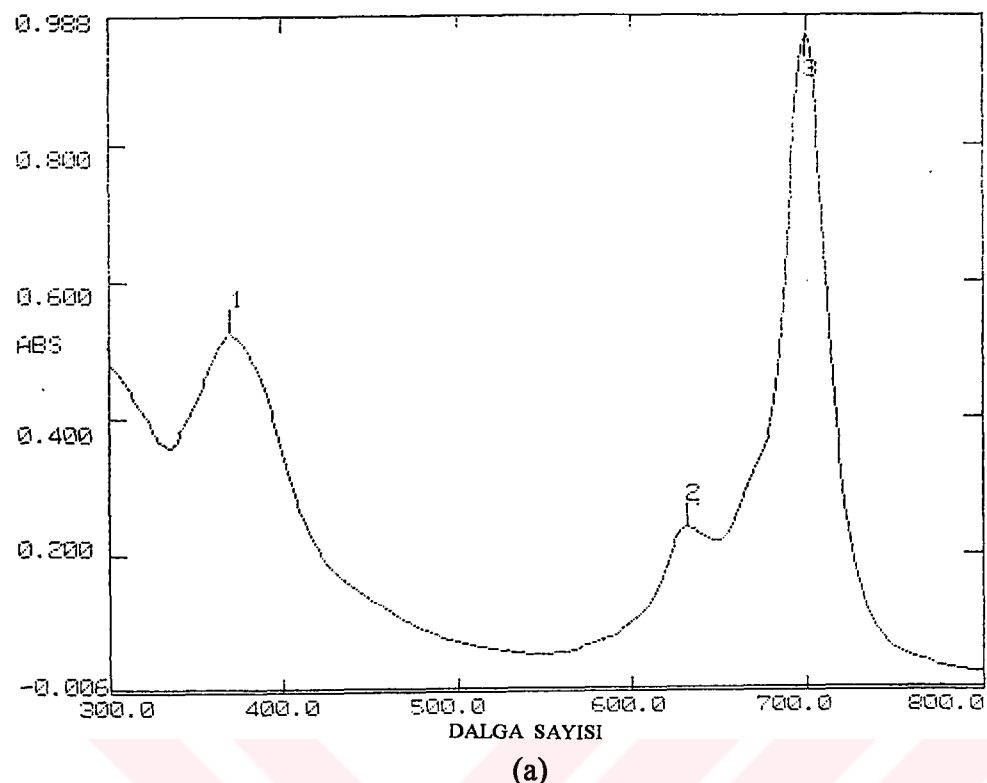




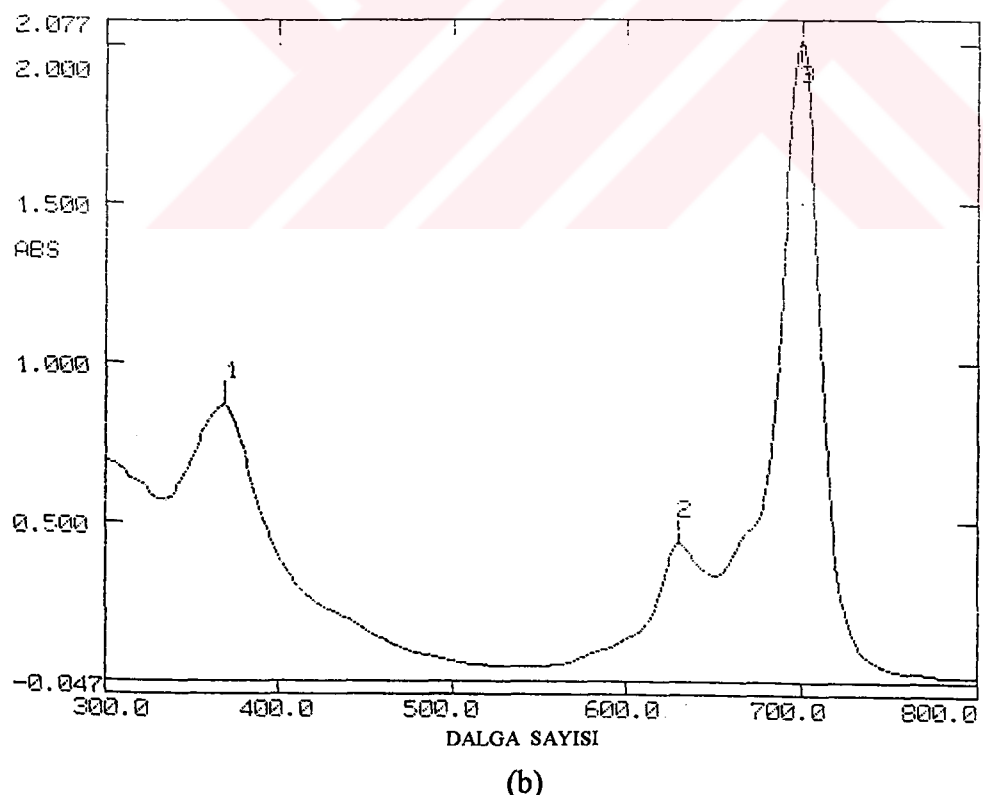
Sekil 5.20 6b'nin ^1H -NMR spektrumu



Sekil 5.21 6b'nin kütte spektrumu



(a)



(b)

Şekil 5.22 6a (a) ve 6b (b)'nin UV/Vis spektrumları

6a için alifatik CH_2 piki 4.48 ppm'de, fenil ve piridin gruplarına ait aromatik protonlar 7.10-8.75 ppm arasında görülürken, **6b** için alifatik CH_3 piki 1.24 ppm'de dublet, alifatik CH piki 4.21 ppm'de triplet şeklinde **6a**'ya nazaran yarılmalar gözlemlenmiş, aromatik protonlar ise 6.82-8.57 ppm arasında geniş multiplet şeklinde çıkmıştır.

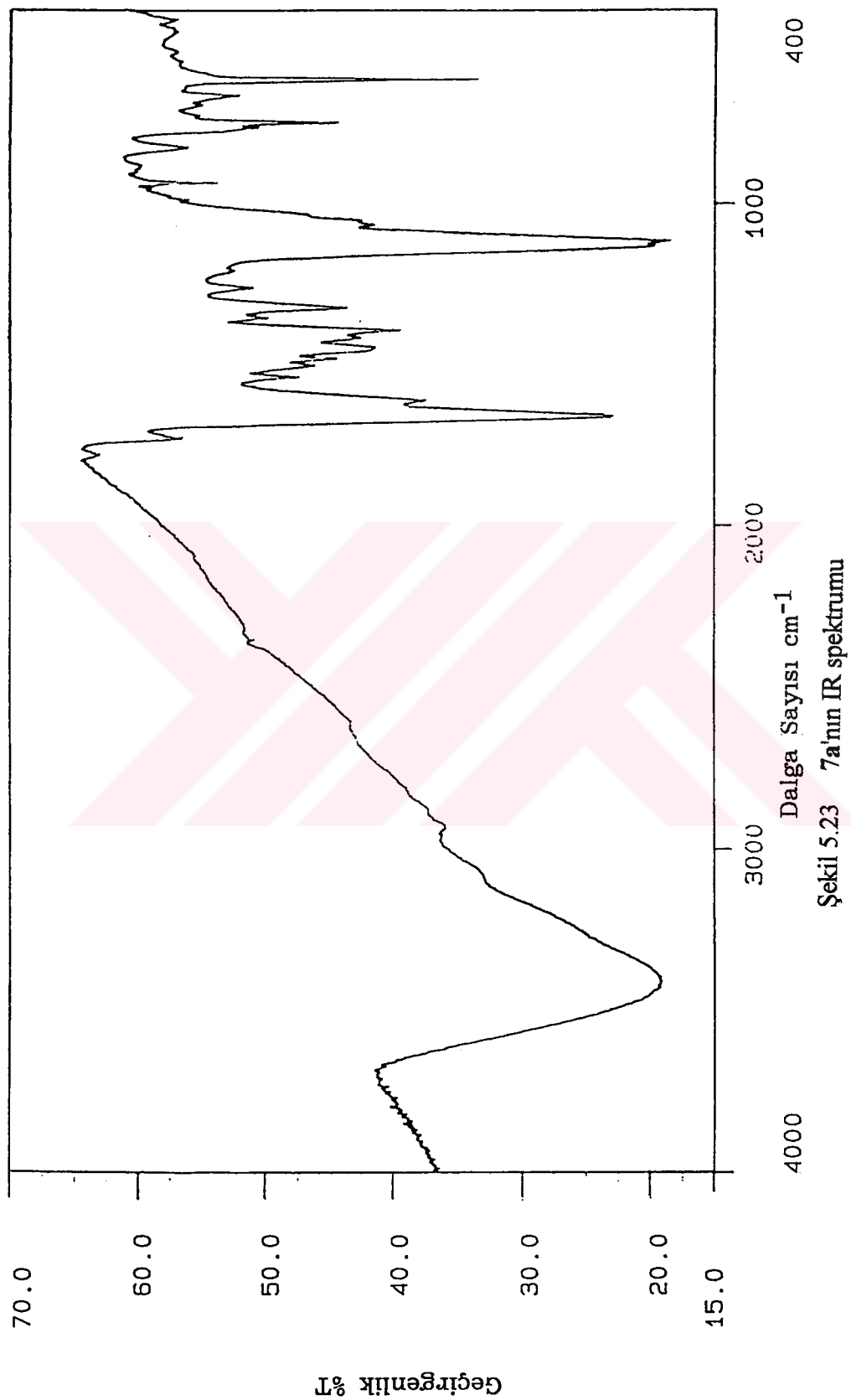
6b'nin FAB yöntemiyle alınan kütle spektrumunda 1629 [M+2]^+ mol piki gözlenmiştir.

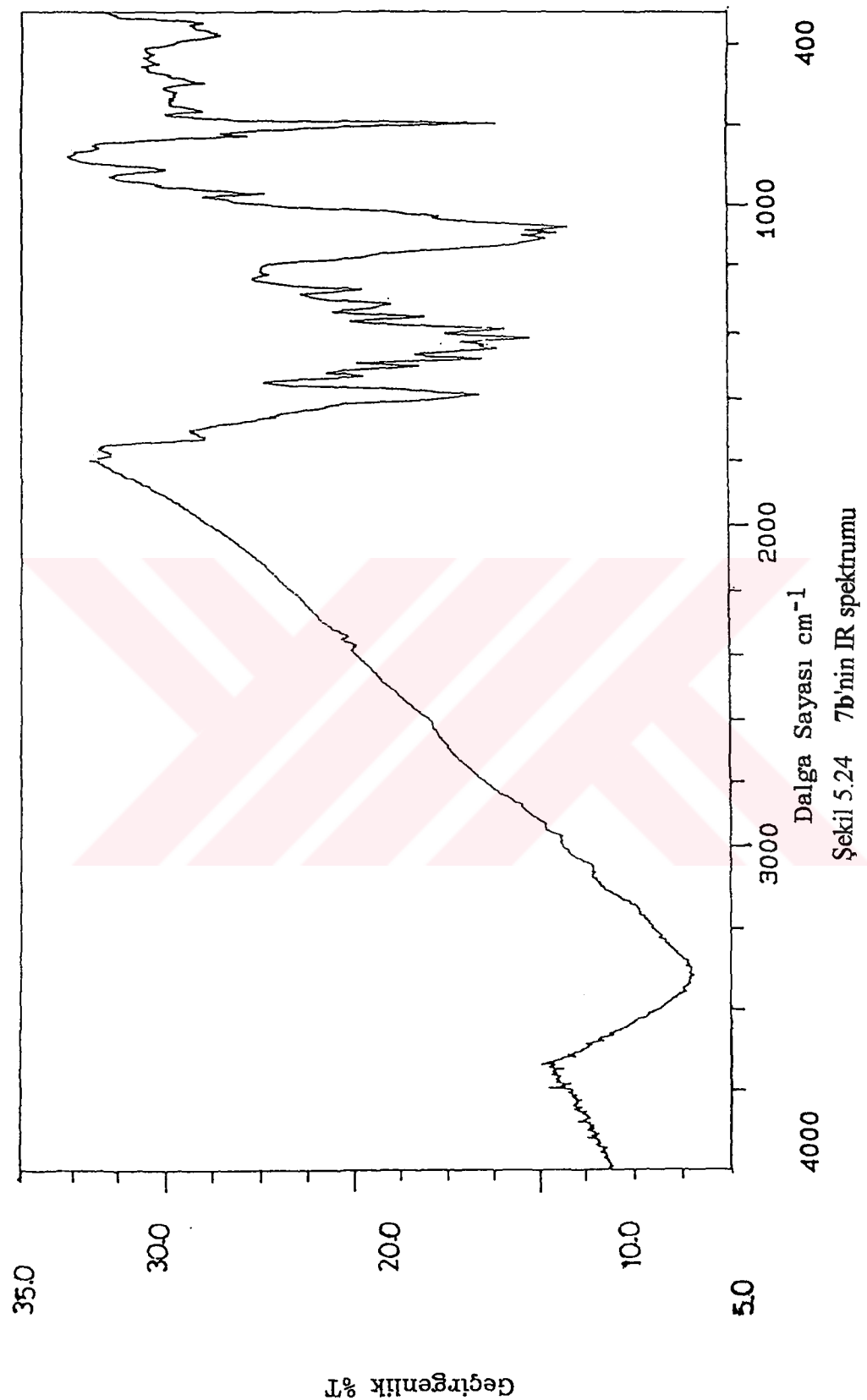
Her iki Zn(II) ftalosiyaninin dimetilformamidde alınan UV/Vis spektrumunda, Q bandı bölgesinde 699 nm'de tek band gözlenmiştir, bu da D_{4h} simetrisine sahip metallo ftalosiyaninlerin karakteristik spektrumları ile uygunluk göstermektedir. Spektrumlar üzerinde **6a** ve **6b** için, daha yüksek enerji bölgesinde omuz şeklinde sırasıyla, 632 nm ve 629 nm'de absorbsiyon bandları yer almaktadır.

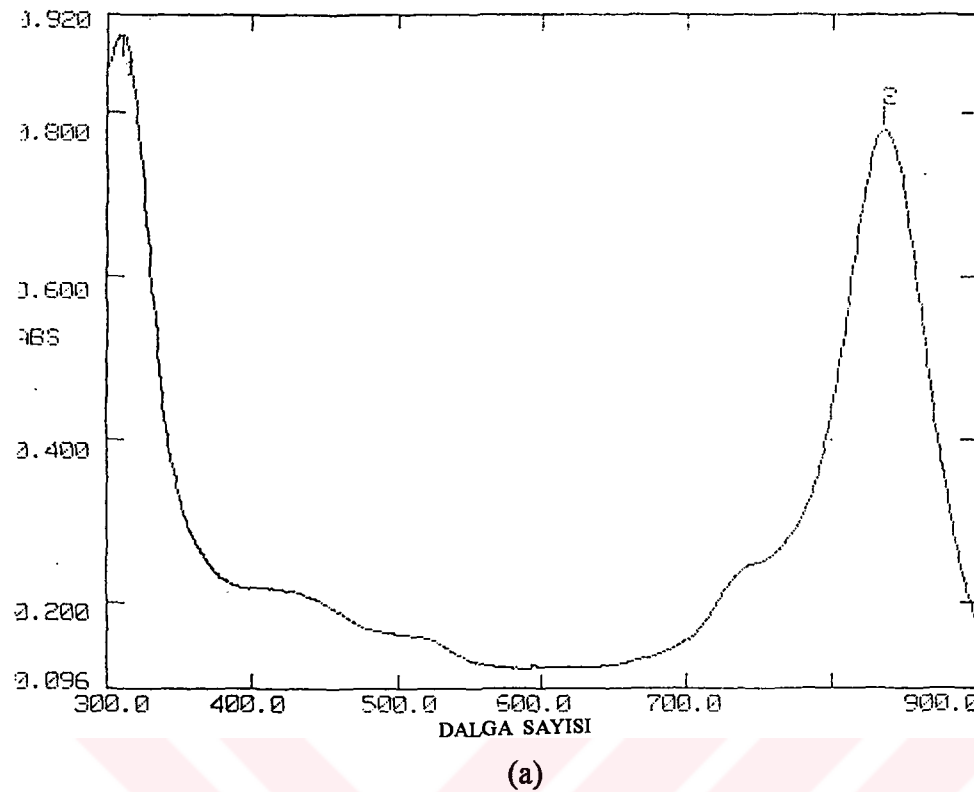
5.5 NİKEL(II) FTALOSİYANİNLER (**7a** ve **7b**)

Nikel(II) ftalosiyaninler (**7a** ve **7b**) dinitril türevlerinin (**4a** ve **4b**), susuz nikel(II) klorür ve kinolinle 175 °C'de ısıtılmasıyla elde edilmiştir. Azot atmosferinde ve susuz ortamda sentezlenen koyu yeşil renkli bu ftalosiyanin bileşiklerinin çeşitli organik solventlerde çözünürlüğü yoktur. Bu nedenle ftalosiyaninler kloroform, etanol, aseton gibi solventlerle kaynama sıcaklığına, DMF ve DMSO ile 60 °C'ye kadar tekrar, tekrar ısıtılp süzülerek temizlenmiştir. Maddelerin çözünürlüğü olmadığından NMR spektrumları alınamamıştır. Yapılar elementel analiz ve IR spektrumlarıyla aydınlatılmıştır. **7a** ve **7b**'nin IR spektrumu çinko(II) ftalosiyaninlerinki ile hemen, hemen benzer olup, ftalosiyanin oluşumuyla $\text{C}\equiv\text{N}$ bandının yok olduğu görülmektedir.

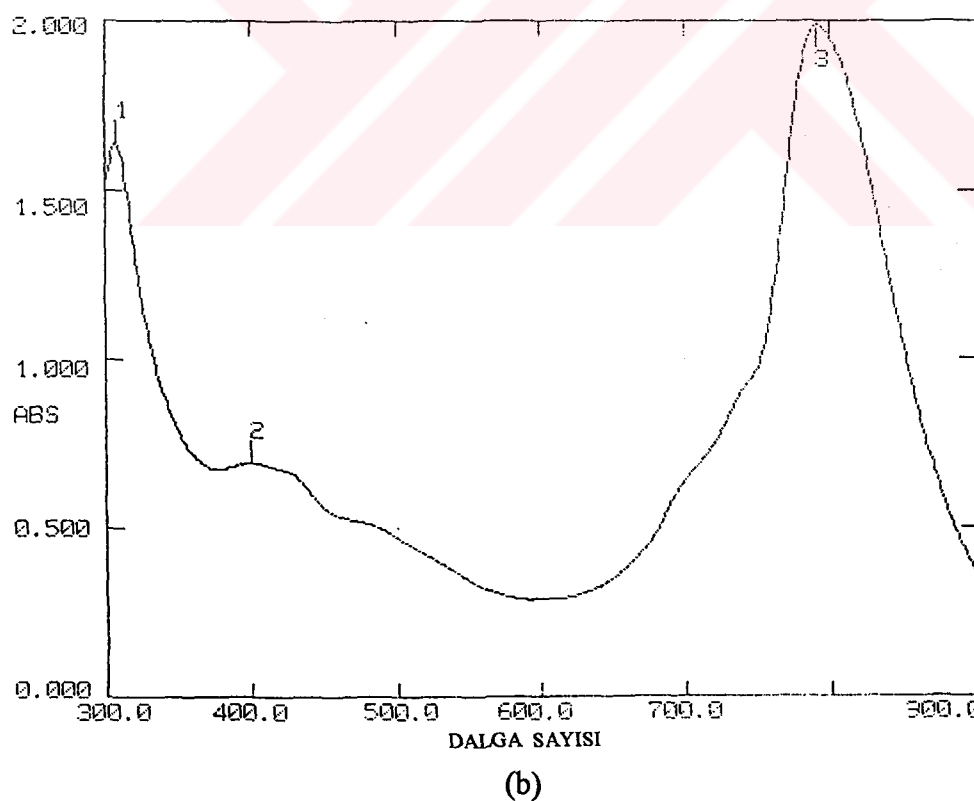
Nikel(II) ftalosiyaninlerin derişik H_2SO_4 'te çözünürlüğünün olması nedeniyle, derişik H_2SO_4 'te alınan UV/Vis spektrumlarında karakteristik Q bandı, **7a**'nınkinde 835 nm, **7b**'nınkinde 790 nm'de görülmüştür. Solvent etkisi ve S-sübstansiyon etkisi, Q bandının daha düşük enerji bölgesine kaymasına neden olmuştur. Ayrıca solvent etkisi ile Q bandının genişlediği ve şiddetinin azaldığı görülmektedir.







(a)



(b)

Şekil 5.25 7a (a) ve 7b (b)'nin UV/Vis spektrumları

5.6 LUTESYUM BİS(FTALOSİYANİN) (8a)

8a'nın sentezi, azot atmosferinde ve susuz ortamda **4a**'nın Lutesyum(III) asetat tuzu ile 1,8-diazabisiklo[5,4,0]undek-7-ene(DBU) gibi kuvvetli bir baz varlığında ve 1-hekzanol içerisinde 20 saat kaynatılmasıyla gerçekleştirilmiştir.

Lutesyum(III) asetat ile dinitril türevlerinin DBU gibi organik bir baz varlığında direk sentezi, yayınlanmış birçok çalışmada genellikle lutesyum bis(ftalosiyanin)'lerin sentezi ile sonuçlanmaktadır [41,42]. Çoğunlukla lutesyum mono-kompleksiyle başlayan reaksiyon süre uzadıkça bis-kompleksine dönüşmektedir [45].

8a'nın öncelikle etanolle tekrar, tekrar kaynatılarak başlayan saflaştırma işleminde; kloroformla yapılan kaynatma ve süzme işlemlerinden sonra kloroformda çözünmeyen maddenin, alınan UV/Vis spektrumu ile yan ürün olarak oluşan yeşil renkli metalsiz ftalosiyanin olduğu görülmüştür. Geri kalan çözelti kolon kromatografisi ile saflaştırılarak, verimi çok düşük olduğu için izole edilemeyen yan ürünlerden ayrılmıştır. % 40 verimle elde edilen yeşil renkli ürünün yapılan analizlerle lutesyum bis(ftalosiyanin), $[LuPc_2]$, olduğu sonucuna varılmıştır. Sentezlenen kompleks bilinen organik çözücülerin çoğunda kolaylıkla çözünmektedir.

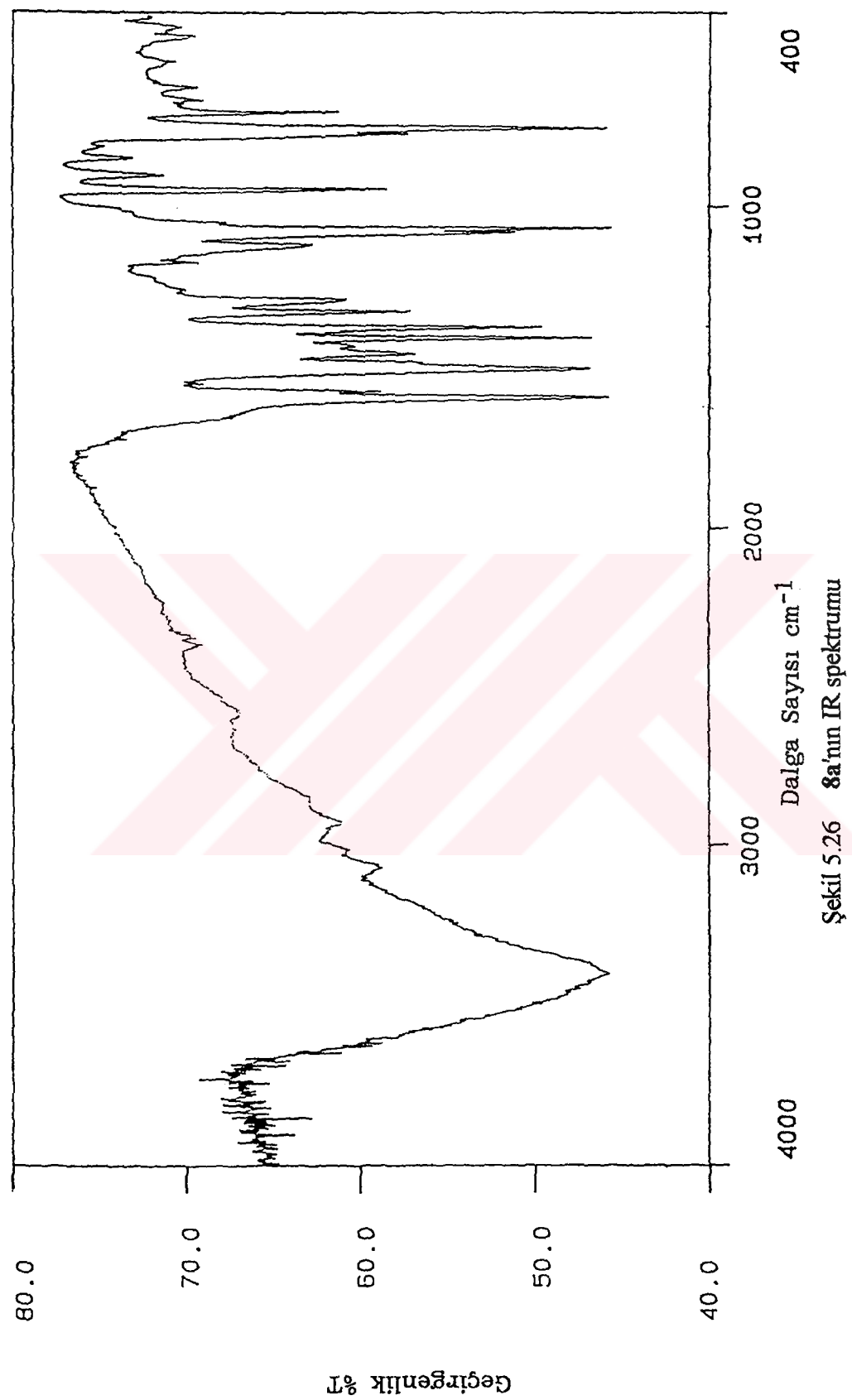
8a'nın IR spektrumu, internal NH piki dışında metalsiz ftalosiyanininki ile benzerlik göstermektedir. Simetrik olmayan sübstidue bis(ftalosiyanin)'lerde $1452\text{-}1472\text{ cm}^{-1}$ bölgesinde çeşitli şiddetlerde görülen karakteristik band **8a** için 1472 cm^{-1} de gözlenirken, 820 cm^{-1} de görülen band ise genellikle merkez metal iyonu-ligand titreşimlerine karşılık gelmektedir.

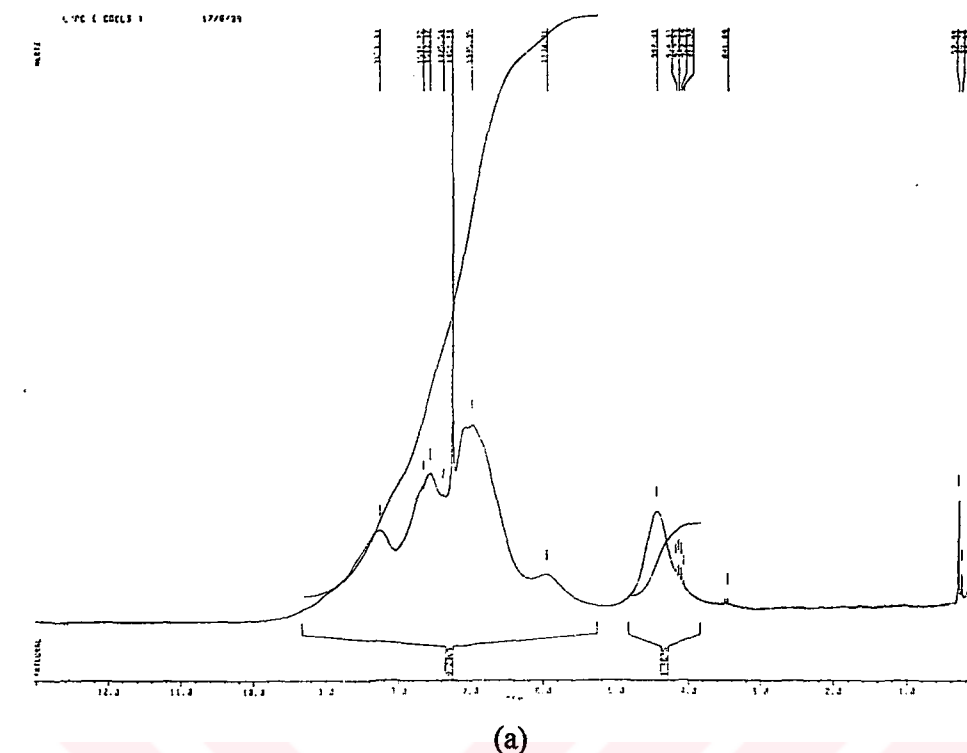
8a, lutesyum bis(ftalosiyanin) türevlerinin yeşil renkli bütün nötral formlarında olduğu gibi, radikalik yapıdan dolayı paramagnetiktir. Dörtöro kloroform içinde alınan $^1\text{H-NMR}$ spektrumunda **8a**'nın paramagnetik özelliğe sahip olması aromatik bölgedeki proton sinyallerinin bozulmasına neden olmaktadır. **6a** ve **6b**'nin spektrumlarına kıyasla daha sade ve bandların çok daha geniş görüldüğü **8a**'nın

spektrumu önerilen radikalik yapıyı doğrulamaktadır. Sekonder amin grubuna ait D₂O ile kaybolan NH piki 5.94 ppm'de, alifatik CH₂ protonları ise 4.43 ppm'de ortaya çıkmaktadır.

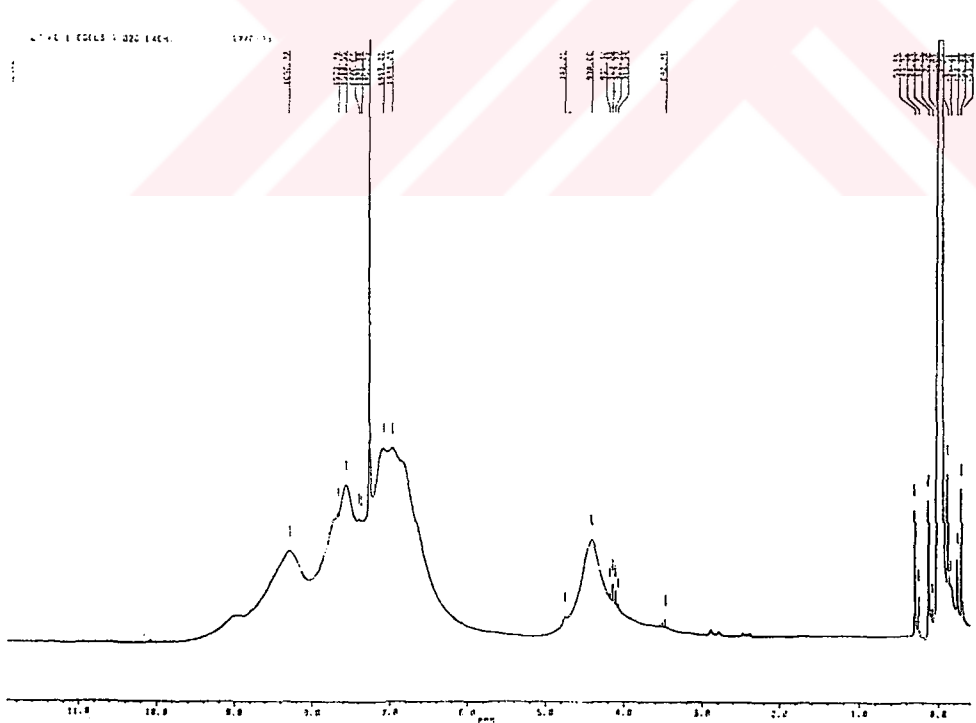
8a'nın kloroformda alınan UV/Vis spektrumunda karakteristik Q bandı geçisi 698 nm'de yüksek şiddette tek bir pik halinde, Soret bandı ise 359 nm'de gözlenirken, tipik serbest radikal bandı 400-500 nm arasında bir omuz şeklinde ortaya çıkmıştır.

Yeşil renkli lutesyum bis(ftalosiyanin) komplekslerinin serbest radikal yapısı elektron spin rezonans spektrumu ile doğrulanır. **8a**'nın oda sıcaklığında alınan X-bandı elektron spin rezonans spektrumunda gözlenen spektroskopik yarıılma faktörü $g = 2.00373$ ve çizgi genişliği $\Delta H = 10$ gauss değerine sahip kuvvetli bir sinyal ftalosiyaninin radikalik yapısını karakterize etmekte ve çiftleşmemiş bir spinin varlığını doğrulamaktadır [116].



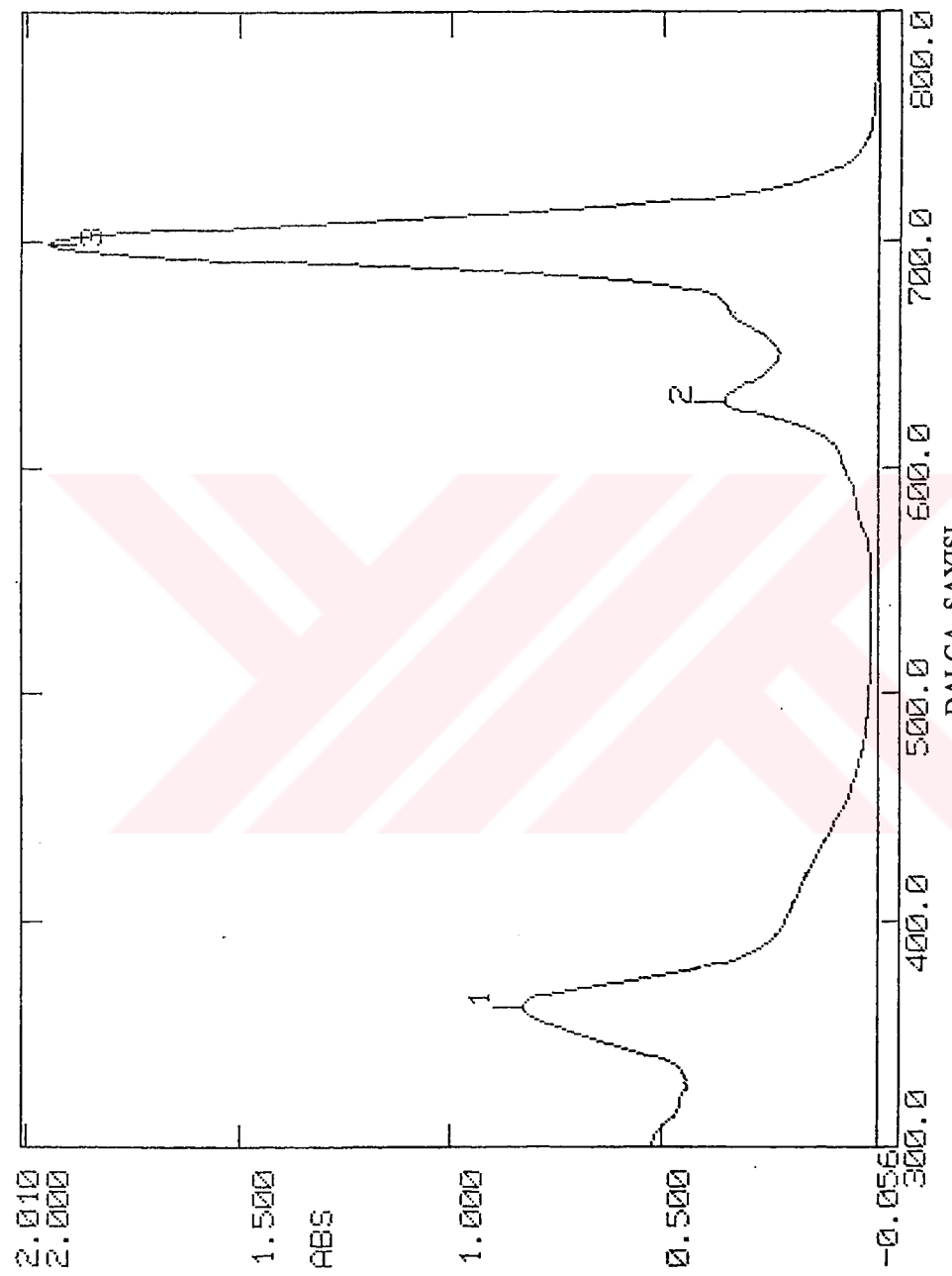


(a)

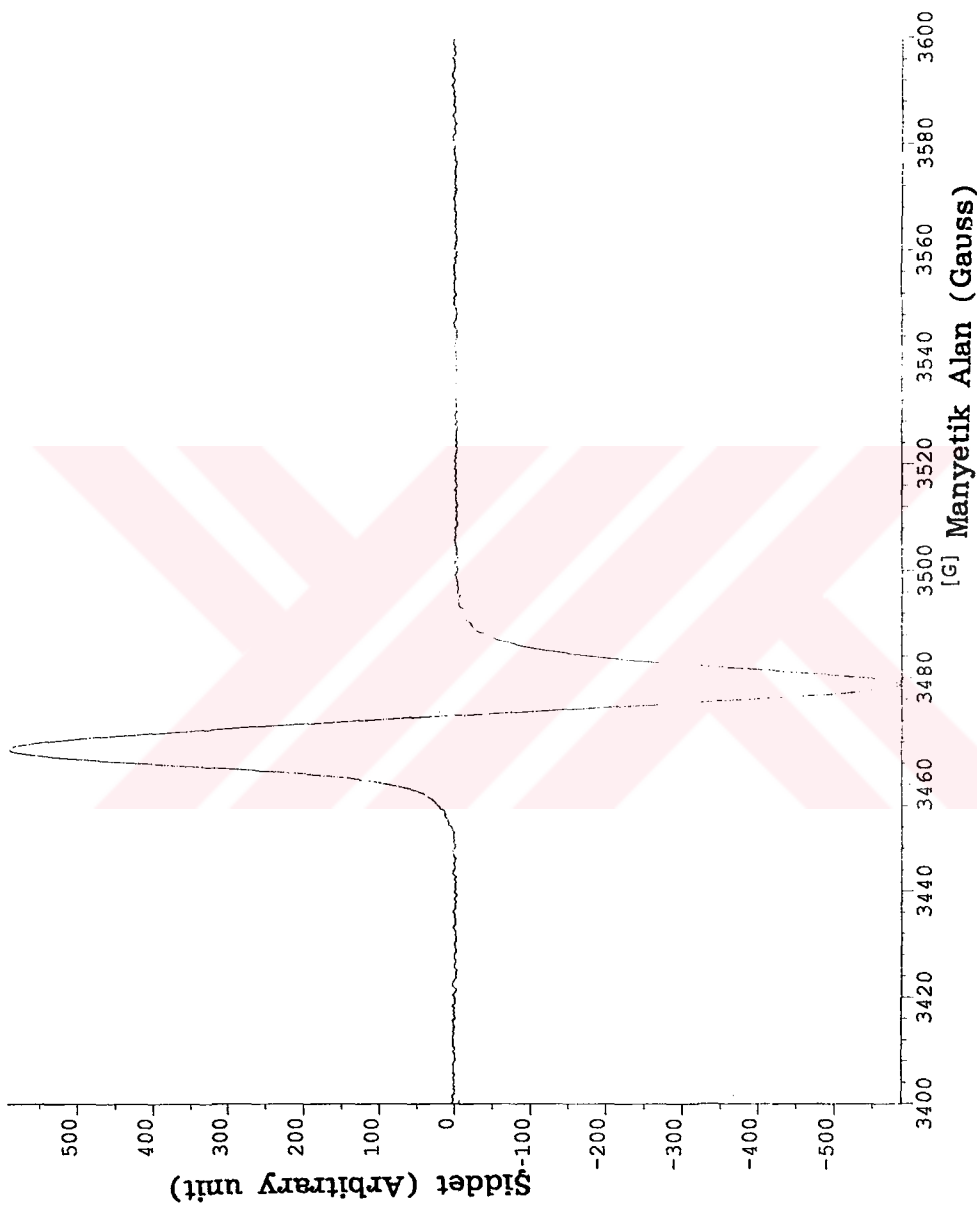


(b)

Şekil 5.27 8a'nın DMSO içinde alınan ^1H -NMR spektrumu (a),
 D_2O ilavesiyle gözlenen değişim (b)



Şekil 5.28 8a'nın UV/Vis spektrumu



Şekil 5.29 8a'ının X-band ESR spektrumu

KAYNAKLAR

- [1] PURCELL, K.F., KOTZ, J.C. Inorganic Chemistry, W.B. Saunders Co. Philadelphia, (1977).
- [2] BEKAROĞLU, Ö. Koordinasyon Kimyası, İ.Ü, Kimya Fakültesi, İstanbul, (1976).
- [3] GRIFFITH, J.S., ORGEL, L.E. Ligand Field Theory, Quant. Revs., Vol. 11, pp. 381-393, (1957).
- [4] GÜNDÜZ T. Koordinasyon Kimyası, A.Ü. Fen Fakültesi, Ankara, (1972).
- [5] JOLLY, L.W. Modern Inorganic Chemistry, 2nd Ed., McGraw-Hill, (1981).
- [6] BRAUN, A, TCHERNIAK, J. Ber.Dtsch. Chem. Ges., Vol. 40, pp. 2709, (1907).
- [7] FOREST, W. Ullmanns Enzyklopädie der Technischen Chemie: Urban & Schwarzenberg, München, Vol. 13, pp. 697, (1962).
- [8] BYRNE, G.T., LINSTEAD, R.P., LOWE, A.R. The Preparation of phthalocyanine and some metallic derivatives from o-cyanobenzamide and phthalimide, J.Chem.Soc., pp. 1017-1022, (1934).
- [9] LINSTEAD, R.P., LOWE, A.R. Preliminary experiments on the preparation of phthalocyanines from phthalonitrile, J.Chem.Soc., pp. 1022-1027, (1934).
- [10] DENT, C.E., LINSTEAD, R.P., LOWE, A.R. The Structure of Phthalocyanines, J.Chem Soc., pp. 3536, (1935).
- [11] ROBERTSON, J.M. An x-ray study of the structure of the phthalocyanine I. The metal free, nickel, copper and platinum complexes, J.Chem.Soc., pp. 615-621, (1935).
- [12] ROBERTSON, J.M. An x-ray study of the phthalocyanines. II. Structure determination of the metal free compound, J.Chem.Soc., pp. 1195-1209, (1936).
- [13] ROBERTSON J.M., WOODWARD, I. An x-ray study of the phthalocyanines. III. Quantitative structure determination of nickelphthalocyanine, J.Chem.Soc., pp. 219-230, (1937).

- [14] **MELSON, G.A.** Coordination Chemistry of Macrocyclic Compounds, Plenum Press, New York, ch. 7, pp. 461-512, (1979).
- [15] **LEZNOFF, C.C., LEVER, A.B.P.** Phthalocyanines Properties and Applications, Vol 1, VCH, Weinheim, (1989).
- [16] **LEZNOFF, C.C., LEVER, A.B.P.** Phthalocyanines Properties and Applications, Vol 2, VCH, Weinheim, (1993).
- [17] **LEZNOFF, C.C., LEVER, A.B.P.** Phthalocyanines Properties and Applications, Vol 3, VCH, Weinheim, (1993).
- [18] **LEZNOFF, C.C., LEVER, A.B.P.** Phthalocyanines Properties and Applications, Vol 4, VCH, Weinheim, (1996).
- [19] **BEREZIN, B.D.** Coordination Compounds of Porphyrins and Phthalocyanines, Newyork, (1978).
- [20] **HAOYUN, A.N.** Bis and oligo (benzocrowneter)s, Chem.Rev, Vol. 94, pp. 939-991, (1994).
- [21] **STUZHIN, P.A., KHELEVINA, O.G.** Azaporphirins: strukture of the reaction centre and reactions of complex formation, Coord. Chem.Rev., Vol. 147, pp. 41-86, (1996).
- [22] **MOSER, F.H.** The Phthalocyanines, Properties. CRC. Boca Raton, Florida, pp. 1-20, (1983).
- [23] **DIESBACH, H., VON der WEID, E.** Derivatives of cumidinic and pyromellitic acids, Helv. Chim.Acta., Vol. 10, pp. 886, (1927).
- [24] **SOPPOK, R.** Ullmans Enzyclöpedia der technischen Chemie, Urban & Schwarzenberg, München, Bd. 18, pp. 501, (1979).
- [25] **LINSTEAD, R.P.** Phthalocyanines, J.Chem.Soc., pp. 1016-1031, (1934).
- [26] **MOSER, F.H., THOMAS, A.L.** The Phthalocyanines, Manufacture and Applications., CRC, Boca Raton, Florida, Vol. 11, (1983).
- [27] **LINSTEAD, R.P.** Br. Assoc. Adv. Sci. Rep., pp. 465-466, (1933).
- [28] **LEVER, A.B.D.** Adv.Inorg, Chem. Rodio Chem., Vol. 11, pp. 1578, (1972).
- [29] **LAWTON, E.A.** Thermal Stability of copper phthalocyanine, J.Phys.Chem., Vol. 62, pp. 384, (1958).
- [30] **LUK'YANETS, E.A.** Phthalocyanines and their analogues in new fields of technology, Mol.Mat., Vol. 1, pp. 209-216, (1992).

- [31] **WOHRLE,D., KANEKO, M.** J. Org. Synth. Jap., Vol. 45, pp. 837, (1987).
- [32] **HANACK, M., FAY, R.** Recl. Trav. Chim. Pays-Bas., Vol. 105, pp. 427, (1986).
- [33] **WOHRLE, D., MEYER, G., WAHL, B.** Makromol. Chem., Vol. 181, 2177, (1980).
- [34] **OKSENHENDLER, I.G., KONDRAHENKO, N.V., LUK'YANETS, E.A., YAGUPOLSKY, L.M.** Zh.Org.Khim., Vol. 13, pp. 2234, 1554 (1977); Vol. 14, pp. 1046, (1978).
- [35] **NEGRIMOVSKY, V.M., DERKACHEVA, V.M., LUK'YANETS, E.A.** Zh. Obshch. Khim., Vol. 59, pp. 1688, (1989).
- [36] **MIKHALENKO, S.A., DERKACHEVA, V.M., LUK'YANETS, E.A.** Zh. Obshch. Khim., Vol. 52, pp. 90, (1982).
- [37] **DERKACHEVA, V.M., LUK'YANETS, E.A.** Zh. Obshch. Khim., Vol. 50. pp. 2313, (1980).
- [38] **COOK, J.M., DUNN, A.J., HOWE, S.D., THOMSON, A.J., HARRISON, K.J.** J.Chem.Soc., Pr. I, pp. 2453, (1988).
- [39] **LUK'YANETS E.A.** (Ed), The electronic spectra of phthalocyanines and related compounds; Catalog, Cherkassy., (1989).
- [40] **SCHAFER, F.P.** Angew.Chem., Intern.Ed.Engl., Vol. 9, pp. 9, (1970).
- [41] **MOUSSAVI, M., DECIAN, A., FISHER, J., WEISS, R.** Synthesis, Vol. Structure, and spectroscopic properties of the reduced and reduced protonated forms of Lutetium Diphthalocyanine, Inorg.Chem., 27, pp. 1287, (1988).
- [42] **SUBBOTIN, N.B., TOMILOVA, L.G., KOSTROMINA, N.A., LUK'YANETS, E.A.** Synthesis and spectral-electrochemical investigation of monophthalocyanines of rare-earth elements, Zhurnal Obshchey Khimii., Vol. 56, (2), pp. 397-400, (1986).
- [43] **BARDIN, M., BERTOUNESQUE, E., PLICHON, SIMON, J., V., AHSEN V., BEKAROĞLU, Ö.** J. Electroanal. Chem., Vol. 271, pp. 173, (1989).
- [44] **TOUPANCE, T., AHSEN, V., SIMON, J.** Ionoelectronics. cation-induced nonlinear complexation: crown-ether-and poly(ethyleneoxide)- substituted lutetium bisphthalocyanines, J.Am. Chem. Soc., Vol. 116, pp. 5352, (1994).

- [45] **BATTISTI, D., TOMILOVA, L., AROCA, R.** Spectroscopic characterization of rare-earth octa-tert-butylbisphthalocyanine complexes, *Chem. Mater.*, Vol. 4, No. 6, pp. 1323-1328, (1992).
- [46] **KOMATSU, T., OHTA, K., FUJIMOTO, T., YAMAMOTO, I.** Chromic Materials. Part 1.-Liquid-crystalline behaviour and electrochromism in bis (octakis-n-alkylphthalocyaninato) lutetium (III) complexes *J.Mater. Chem.*, Vol. 4, No. 4, pp 533-536, (1994).
- [47] **NAKAZUMI, H.** *J. Soc. Dyers. Colour.*, Vol. 104, pp. 121, (1988).
- [48] **GASPARD, S., VERDAGUER, M., VIOVY, R.** *J.Chim. Phys.*, Vol. 69, pp. 1740, (1972).
- [49] **HANACK, M., BECK, A., LEHMANN, H.** *Synthesis.*, pp. 703, (1987).
- [50] **SIMON, J., SIRLIN, C.** *Pure Appl. Chem.*, Vol. 61, pp. 1625, (1989).
- [51] **COOK, M.J., DUNN, A.J., GOLD, A.A., THOMSON, A.J., DANIEL, M.F.** *J.Chem.Soc., Dalton Trans.*, pp. 1583, (1988).
- [52] **PETTY, M., LOVETT, D.R., O'CONNOR, J.M., SILVER, J.** *Thin Solid Films.*, Vol. 179, pp. 387, (1989).
- [53] **ROBERTS, G.G., PETTY, M.C., BAKER, S., FOWLER, M.T., THOMAS, N.J.** *Thin Solid Films.*, Vol. 132, pp. 113, (1985).
- [54] **STEINBACH, F., MULLER, H.** *Chem.-Ing.- Tech.*, Vol. 60, pp. 901, (1988).
- [55] **MEYERS, R.A. (Ed)**, *Handbook of Petroleum Processes.*, McGraw-Hill, N.Y., (1986).
- [56] **ENIKOLOPYAN, N.S., BOGDANOVA, K.A., KARMILOVA, L.V., ASKAROV, K.A.** *Usp. Khim.*, Col. 54, pp. 369, (1985).
- [57] **TOSHIYUKI, O.** Phthalocyanines for food preservation *Jap. 62. 146. 177* (1987), *Chem. Abstr.*, Vol. 107, 153159m, (1987).
- [58] **HENDERSON, B.W., Van LIER, J.E., WILSON, B.D., MARCUS, S.L., DOUGHERTY, T.J.** in *Cancer Therapy into the Twenty-First Century.*, ed. HUBER, B.S., Burroughs Wellcome Co.
- [59] **ROSENTHAL,** Phthalocyanines as photodynamic sensitizers. I., *Photochem. Photobiol.*, Vol. 53, No. 6, pp. 853-879, (1991).
- [60] **DARWENT, J.R., DOUGLAS, P., HARRIMAN, A., PORTER, G., RICHOUX, M.C.** Metal Phthalocyanines and prophyrins as

photosensitizers for reduction of water to hydrojen, *Coord. Chem. Rev.*, Vol. 44, (1), pp. 83-126, (1982).

- [61] ALİ, H., LANGLOIS, R., WAGNER, J.R., BRASSEUR, N., PAQVETTE, B., Van LIER, J.E. Biological Activities of phthalocyanines. X. Synthesis and analysis of sulfonated phthalocyanines, *Photochem. Photobiol.*, Vol. 47, No. 5, pp. 713-171, (1988).
- [62] CHARLESWORTH, P., TRUSCOTT, T.G., BROOKS, R.C., WILSON, B.C. The photophysical properties of a ruthenium-substituted phthalocyanines, *J. of Photochem and Photobiol.*, B 26 (3), pp. 277, (1994).
- [63] ABRAMS, M.J. *Platinum Metals Rev.*, Vol. 39, No. 1, pp. 14-18, (1995).
- [64] BRECHBIEL, M.W., GANSOW, O.A., ATCHER, R.W., SCHLOM, J., ESTEBAN, J., SIMPSON, D.E., COLCHER, D. Synthesis of 1-(p-isothiocyanatobenzyl) Derivatives of DDPA and EDTA. Antibody Labelling and Tumor Imaging Studies, *Inorg. Chem.*, Vol. 25, pp. 2772-2781, (1986).
- [65] LIU, Y., ZHU, D., WADA, T., YAMADA, A., SASABE, H. Electrohydrodynamic lubrication with Q/W emulsions, *J. Heterocyclic Chem.*, Vol. 31, pp. 1017, (1994).
- [66] LEZNOFF, C.C., HALL, T.W. The synthesis of a soluble, unsymmetrical phthalocyanine on a polymer support, *Tetrahedron Lett.*, Vol. 23 No. 30, pp. 3023-3026, (1982).
- [67] MELLER, A., OSSKA, A. Phthalocyaninartige Bor-Komplexe, *Monatsh. Chem.*, Vol. 103, pp. 150-155, (1972).
- [68] KOBAYASHI, N., KONDO, R., OSA, T. New route to unsymmetrical phthalocyanine analogues by the use of structurally distorted subphthalocyanines, *J. Am. Chem. Soc.*, Vol. 112, pp. 9640, (1990).
- [69] MUSLUOĞLU, E., GÜREK, A., AHSEN, V., GÜL, A., BEKAROĞLU, Ö. Unsymmetrical phthalocyanines with a single macrocyclic substituent, *Chem.Ber.*, Vol. 125, pp. 2337-2339, (1992).
- [70] KASUGA, K., IDEHARA, T., HANNA, M., ISA, K. Preparation of unsymmetrical phthalocyanine by means of a ring expansion of subphthalocyanine, *Inorg. Chim. Acta.*, Vol. 196, pp. 127, (1992).
- [71] KOBAYASHI, N., KONDO, R., ASHIDA, T., NAKAJIMA, S., OSA, T. *J.Chem.Soc., Chem. Commun.*, pp. 1203, (1991).

- [72] DABAK, S., GÜL, A., BEKAROĞLU, Ö., Hexakis (alkylthio)-Substituted Unsymmetrical Phthalocyanines, Chem. Ber., Vol. 127, pp. 2009-2012, (1994).
- [73] IDELSON, E.M. PPlotation of cement capper, U.S. Pat., 4, 961, 654, (1967); Chem. Abstr., Vol. 71, 171797 m, (1969).
- [74] BAUMANN, F., BIENERT, B., ROSCH, G., VOLLMANN, H., WOLF, W. Isoindolenines as intermediate products of phthalocyanine synthesis, Angew. Chem., Vol. 68, pp. 133-168, (1956).
- [75] TOMODA, H., SAITO, S., HIBIYA, E. Chem. Lett., pp. 1003, (1976).
- [76] SUITO, E., UYEDA, N. Crystal structure of silver, Crystal Structure of silver J. Phys. Chem., Vol. 84, pp. 3223, (1980).
- [77] SUITO, E., UYEDA, N. Anomalous diffraction contrast on face of lamellar single microcrystal of colloidal Au, Kolloid Z.U. Z. Polym., Vol. 193, pp. 7, (1963).
- [78] SHARP, H.J., LARDON, M. Methods of interpretation of tetravalent niobium electroresonans sectra in solution and glasses, J.Phys.Chem., 72, pp. 3230, (1968).
- [79] MARKS, T.J., STOJAKOVIC, D.R., Large Metal Ion-Centered Template Reactions. Chemical and Spectral Studies of the "Superphthalocyanine" Dioxocyclopentakis (1-iminoisoindolinato) uranium (VI) and Its Derivatives, J.Am.Chem. Soc., Vol. 100, No. 6, pp. 4695-1705, (1978).
- [80] WOEHRLE, D., MEYER G. Phthalocyanine system ungewöhnlicher Structur und Eigensc-haften, Merck Kontakte., Teil 1, (1986).
- [81] SCHMID, G., WITKE, E., SCHLICK, U., KNECHT, S., HANACK, M. J. Mat. Chem., Vol. 5, pp. 855-859, (1995).
- [82] METZ, J., HANACK, M. J.Am.Chem. Soc., Vol. 105, pp. 828-830, (1938).
- [83] TOUPANCE, T., BASSOUL, P., MINEAU, L., SIMON, J. Poly(oxyethylene)-Substituted Copper and lutetium Phthalocyanines, J. Phys. Chem., Vol. 100, pp. 11704-11710, (1996).
- [84] DE CIAN, A., MOUSSAVI, M., FISCHER, J., and WEISS, R. Synthesis, Structure and Spectroscopic and Magnetic Properties of Lutetium (III) Phthalocyanine Derivatives, Inorg.Chem., Vol. 24, pp. 3162-3167, (1985).

- [85] **MONK, Paul M.S., MORTIMER, Roger J., ROSSEINSKY, D.R.**
Electrochromism: Fundamentals and Applications., VCH,
Weinheim, (1995).
- [86] **KORAY, A.R., AHSEN, V., BEKAROĞLU, Ö.** Preparation of a Novel Soluble Copper Phthalocyanine With Crown Ether Moieties., J.Chem.Soc., Chem. Commun., pp. 932-933, (1986).
- [87] **SIRLIN, C., BOSIO, L., SIMON, J., AHSEN, V., YILMAZER, E., BEKAROĞLU, Ö.** Ion channel containing mesophases. Structural characteristics of condensed phases of crown ether substituted phthalocyanines, Chem. Phys. Lett., Vol. 139, pp. 362-364, (1987).
- [88] **AHSEN, V., YILMAZER, E., GÜREK, A., GÜL, A., BEKAROĞLU, Ö.** Synthesis and Characterization of Crown Ether Containing Phthalocyanines With Group-IV-A Elements, Helv. Chim. Acta., Vol. 71, pp. 1616-1621, (1988).
- [89] **AHSEN, V., YILMAZER, E., GÜL, A., BEKAROĞLU, Ö.** Synthesis and Characterization of Germanium Phthalocyanines Containing Crown Ether, J.Chem. Research, (S), pp. 234-235, (1988).
- [90] **AHSEN, V., YILMAZER, E., BEKAROĞLU, Ö.** Synthesis and Properties of (18-Crown-6) Bridged Phthalocyanine Network Polymers, Makromol. Chem., Vol. 189, pp. 2533, (1988).
- [91] **GÜREK, A.G, and BEKAROĞLU, Ö.** Dioxa-dithia Macrocycle-bridged Dimeric with Hexakis (alkylthio) Substituents and Network Polymer Phthalocyanines, Journal of Porphyrins and Phthalocyanines., Vol. 1, 67-76, (1997).
- [92] **SARIGÜL, S., BEKAROĞLU, Ö.** Synthesis and Properties of a Symmetrical Octa-Crown Ether Phthalocyanine, Chem. Ber., pp. 122-291, (1989).
- [93] **MUSLUOĞLU, E., and BEKAROĞLU, Ö.** Phthalocyanines Substituted with Crown Ethers through sulfanyl Bridges, J. Chem. Soc., Chem. Res., (S), pp. 420, (1994); (M), pp. 2364, (1994).
- [94] **AHSEN, V., GÜREK, A., MUSLUOĞLU, E., BEKAROĞLU, Ö.** Novel Phthalocyanines with Aza-Crown Ether Moieties, Chem. Ber., Vol. 122, pp. 1073-1074, (1989).
- [95] **KOÇAK, M., CIHAN, A., OKUR, A.I., BEKAROĞLU, Ö.**, Synthesis and Characterization of Novel Phthalocyanines Substituted with Four Tetraaza Macrocycles, J.Chem. Soc., Chem. Commun., pp. 577-578, (1991).

- [96] GÜREK, A., AHSEN, V., GÜL, A., BEKAROĞLU, Ö. Synthesis and Characterization of a New Copper (II) Phthalocyaninate Substituted with Four 15-membered Tetraazamacrocycles and Its Water-soluble Pentanuclear Complexes, *J.Chem. Soc., Dalton Trans.*, pp. 3367-3371, (1991).
- [97] GÜMÜŞ, G., ÖZTÜRK, Z.Z., AHSEN, V., GÜL, A., BEKAROĞLU, Ö. Synthesis, Characterization and Electrical Properties of Phthalocyanines substituted with 17-membered Trioxadiazamacrocycles, *J.Chem. Soc., Dalton Trans.*, pp. 2485-2489, (1992).
- [98] YILMAZ, I., BEKAROĞLU, Ö. Synthesis and Characterization of Novel Phthalocyanines with Four 16-Membered Diazadithia Macrocycles, *Chem.Ber.*, Vol. 129, pp. 967(1996).
- [99] GÜROL, I., AHSEN, V., BEKAROĞLU, Ö. Synthesis of Tetraalkylthia substituted Phthalocyanines and Their Complexation with Ag(I) and Pd(II), *J. Chem Soc., Dalton Trans.*, pp. 497-500, (1994).
- [100] GÜREK, A., BEKAROĞLU, Ö. Oktakis(alkylthia) substituted Phthalocyanines and Their Interaction with Silver(I) and Palladium(II) Ions, *J.Chem.Soc., Dalton Trans.*, pp. 1419-1423, (1994).
- [101] MUSLUOĞLU, E., AHSEN, V., GÜL, A., BEKAROĞLU, Ö. Water Soluble Phthalocyanines Containing Aza-Crown Ether Substituents, *Chem.Ber.*, Vol. 124, pp. 2531-2536, (1991)
- [102] ÖZKAYA, A.R., MUSLUOĞLU, E., GÜL, A., BEKAROĞLU, Ö. Cyclic Voltammetry of N-Acetylated and N-Quaternized Monoazacrown Ether Substituted Lutetium Bis(phthalocyanines), *J.Chem.Research, (S)*, pp. 450-451; (*M*), pp. 2721-2737, (1995).
- [103] GÜREK, A., BEKAROĞLU, Ö. Synthesis and Characterization of New Phthalocyanines Peripherally Fused to Four 13-Membered Tetrathiamacrocycles, *Helv. Chim. Acta*, Vol. 77 pp. 1616, (1994).
- [104] GÜREK, A.G., BEKAROĞLU, Ö. Tetrathia Macrocycle-Bridged Dimeric with Hexakis(Alkylthio)-Substituents and Network Polymer Phthalocyanines, *J. Porphyrins and Phthalocyanines*, Vol. 1, pp. 227, (1997).
- [105] ALTUNTAŞ, BAYIR, Z., HAMURYUDAN, E., GÜREK, A.G., BEKAROĞLU, Ö., Synthesis and Characterization of Octakis(hydroxyethylthio)-Substituted Phthalocyanines, *J.Porphyrins and Phthalocyanines*, Vol. 1, pp. 349, (1997).

- [106] KANDAZ, M., BEKAROĞLU, Ö. Synthesis and Characterization of Novel Octakis(2'-aminophenoxy and 2'aminophenylsulfanlyl) Substituted Metallophthalocyanines, *Chem.Ber.*, Vol. 130, pp. 1833-1836, (1997).
- [107] MATSUDA, H., OKADA, S., MASAKI, A., NAKANISHI, H., SUDA, Y., SHIGEHARA, K., YAMADA, A. Molecular Structural View on The Large Third Order Nonlinearity of Phthalocyanine Derivatives, *Proc. SPIE-Int.Soc.Opt.Eng.*, Vol. 1337, pp. 105-113, (1990).
- [108] BRAND, U., VAHRENKAMP, H. Zinc Complexes of the N,N,S Ligand (Mercaptophenyl)(Picoly) Amine, *Chem.Ber.*, Vol. 129, pp. 435-440, (1996).
- [109] WOHRLE, D., ESKES, M., SHIGEHARA, K., YAMADA, A. A Simple Synthesis of 4,5-Disubstituted-1,2-dicyanobenzene and 2,3,9,10,16,17,23,24-octasubstituted Phthalocyanines, *Synthesis*, pp. 194-196, (1993).
- [110] SNOW, A.W., JARVIS, N.L. Molecular Association and Monolayer Formation of Soluble Phthalocyanine Compounds, *J.Am.Chem.Soc.*, Vol. 106, pp. 4706, (1984).
- [111] SUBBOTIN, N.B., TOMILOVA, L.G., KOSTROMINA, N.A., LUK'YANETS, E.A. Synthesis and Spectral-Electrochemical Investigation of Monophthalocyanines of Rare-Earth Elements, *Zh. Obshch.Khim.*, Vol. 56, pp. 397-400, (1986).
- [112] KOLEY, A.P., NIRMALA, R., PRASAD, L.S., GHOSH, S., MANOHARAN, P.T. *Inorg.Chem.*, Vol. 31, pp. 1764-1769, (1992).
- [113] HOSSAIN, M., CHATTOPADHYAY, S.K., GHOSH, S. Ruthenium (II) complexes with two N-S donors: 2-(2-pyridyl) benzothiazoline and 2-methyl-2-(2-pyridyl) benzothiazoline: synthesis, reactivity and electrochemistry, *Polyhedron*, Vol. 16, No. 1, pp. 143-152, (1997).
- [114] HOSSAIN, M., GHOSH, S. Synthesis and Characterization of ruthenium (II) complexes of the NNS-donor Schiff-base derived from 2-methyl-2-(2-pyridyl)benzothiazoline, *Transition Met.Chem.*, Vol. 22, pp. 143-152, (1997).
- [115] LINDOY, L.F., BUSCH, D.H. Metal Ion Controlled Syntheses of Novel Five-Coordinate Zinc and Cadmium Complexes Containing a Helical Coordination Geometry and Their Template Reaction to Form Complexes of a Pentadentate Macroyclic Ligand, *Inorg.Chem.*, Vol. 13, No. 10, pp. 2494-2498, (1974).

- [116] PADILLA J. and HATFIELD, W. σ -and π -Interactions of the Pyrrolic Ligand of Sandwich-Like Lanthanide Phthalocyanines Determined from Magnetic Susceptibility and Ligand-field Theory, Inorg. Chim. Acta, Vol. 172, pp. 241-245 (1990).

ÖZGEÇMİŞ

1962 yılında İstanbul'da doğdu. 1979 yılında Erenköy Kız Lisesi'nden mezun oldu. Aynı yıl İstanbul Teknik Üniversitesi, Kimya-Metalurji Fakültesine girdi, 1983 yılında aynı fakülteden Kimya Mühendisi olarak mezun oldu. 1991 yılında İstanbul Teknik Üniversitesi Fen Bilimleri Enstitüsü, Kimya Anabilim Dalı, Kimyagerlik Programında Yüksek Lisans'a başlayıp, 1993 yılında bitirdi. Aynı yıl ve aynı programda, Doktora çalışmasına başladı. Temmuz 1990 tarihinden itibaren, İstanbul Teknik Üniversitesi, Kimya Bölümü, Anorganik Kimya Anabilim Dalında Araştırma Görevlisi olarak görevini sürdürmektedir. Yurtdışında yayınlanmış 1 adet yayını bulunmaktadır. Evli ve 1 çocuk annesidir.

